



รายงานผลการประดิษฐ์
เงินอุดหนุนโครงการตั้งประดิษฐ์

เรื่อง

อุปกรณ์วิเคราะห์ที่แบบหลายช่อง
MULTICHANNEL ANALYZER

สถาบันวิทยบริการ
จุฬาลงกรณ์มหาวิทยาลัย

พ
วศ 15
006309

โดย

วิรุทธ์ มังคะวิรัช
ศุวิทย์ ปุณณรัชชะ



จุฬาลงกรณ์มหาวิทยาลัย

โครงการสิ่งประดิษฐ์



รายงาน

อุปกรณ์วิเคราะห์แบบหลายช่อง

MULTICHANNEL ANALYZER

สถาบันวิทยบริการ

โดย

จุฬาลงกรณ์มหาวิทยาลัย

วิรุฬห์ มังคละวิรัช

สุวิทย์ บุณยชัยยะ

กันยายน 2536

กิตติกรรมประกาศ

งานวิจัยสิ่งประดิษฐ์อุปกรณ์วิเคราะห์แบบหลายช่องสำเร็จลุล่วงลงได้ด้วยการสนับสนุนของฝ่ายวิจัย จุฬาลงกรณ์มหาวิทยาลัย และการให้โอกาสขยายเวลาทำการวิจัยจากคณะกรรมการสิ่งประดิษฐ์ ในระหว่างที่ผู้วิจัยจำเป็นต้องใช้เวลาส่วนหนึ่งไปปฏิบัติภารกิจที่ได้รับมอบหมายจากมหาวิทยาลัย ผู้วิจัยรู้สึกซาบซึ้งและขอขอบคุณเป็นอย่างสูง นอกจากนี้ผู้วิจัยขอขอบคุณภาควิชานิวเคลียร์เทคโนโลยี คณะวิศวกรรมศาสตร์ และศูนย์เครื่องมือวิจัยวิทยาศาสตร์และเทคโนโลยี ที่อนุญาตให้ใช้ห้องปฏิบัติการอิเล็กทรอนิกส์สำหรับการดำเนินการวิจัย รวมทั้งการสนับสนุนจากเพื่อนร่วมงาน โดยเฉพาะอย่างยิ่ง คุณเศรษฐ ทองอร่าม คุณมัณฑนา คุณพนานิช คุณณฤวิทย์ เงินวิจิตร คุณบุญญาถ ภิรมภระโรทก และ คุณหัสสฤกษ์ เนียมอินทร์ ที่ได้ช่วยเหลือในการทดลองวงจรประกอบเครื่องต้นแบบ และเขียนโปรแกรมสนับสนุนการทำงานของระบบ จนกระทั่งงานวิจัยบรรลุเป้าหมาย และขอขอบคุณ คุณอัครา สกฤมมัน ที่ได้ช่วยเหลือจัดพิมพ์รายงานฉบับนี้อย่างดียิ่ง

สถาบันวิทยบริการ
จุฬาลงกรณ์มหาวิทยาลัย

ชื่อโครงการ อุปกรณ์วิเคราะห์แบบหลายช่อง
 ชื่อผู้ดำเนินงาน วิรุฬห์ มังคละวิรัช
 สุวิทย์ บุญชัยยะ
 เดือนและปีที่ทำวิจัยเสร็จ กันยายน 2536

บทคัดย่อ

งานวิจัยนี้ มีวัตถุประสงค์เพื่อพัฒนาระบบวิเคราะห์ความสูงของพัลส์ ที่มีราคาประหยัด ง่าย รักษาง่าย มีความซับซ้อนของวงจรอิเล็กทรอนิกส์น้อย ใช้งานสะดวก และมีอุปกรณ์วัดนิวเคลียร์พร้อมใช้งานกับหัววัดรังสีได้ทันที อุปกรณ์วิเคราะห์แบบหลายช่องที่ออกแบบขึ้นนี้ ใช้ระบบแปลงสัญญาณพัลส์อนาล็อกเป็นสัญญาณเชิงตัวเลขแบบวิลคินสัน (Wilkinson) ซึ่งทำงานด้วยความถี่ฐานเวลา 50 ล้านเฮิรตซ์ มีความละเอียดในการวิเคราะห์ 1024 ช่องวัด และมีความจุแต่ละช่องวัดเท่ากับ $10^{16}-1$ จำนวนนับ โดยข้อมูลเชิงตัวเลขจากระบบแปลงสัญญาณจะส่งผ่านช่องขยายการทำงาน ขนาด 8 บิต บนไมโครคอมพิวเตอร์ IBM PC AT/XT และควบคุมการทำงานจากโปรแกรมที่พัฒนาขึ้นชื่อ MCA-NT01 ขนาด 26773 ไบต์

ผลการพัฒนาพบว่าอุปกรณ์วิเคราะห์แบบหลายช่อง สามารถใช้งานร่วมกับหัววัดรังสีพรอพอร์ชันแนลและหัววัดรังสีรังสีแกมมาโอโรโดต์ (ทลเลียม) ได้ โดยแหล่งจ่ายไฟฟ้าศักดาสูงสามารถปรับค่าได้จาก 0 ถึง 2000 โวลต์ จ่ายกระแสสูงสุด 100 μ A มีศักดาแรงลอคเคลื่อนต่ำกว่า 50 mV ในส่วนของอุปกรณ์ขยายสัญญาณพัลส์สามารถปรับอัตราขยายได้ต่อเนื่อง 100 เท่า และให้สัญญาณพัลส์ทางออกเป็นรูปยูนีโพลานาความกว้าง 4 μ S มีความเป็นเชิงเส้นในช่วงความสูงของพัลส์ 0 ถึง 10 โวลต์ ระบบแปลงสัญญาณพัลส์อนาล็อกเป็นสัญญาณเชิงตัวเลข มีค่าสหสัมพันธ์ของความเป็นเชิงเส้น 0.999 การทำงานของระบบวิเคราะห์นี้ มีขีดความสามารถเพียงพอสำหรับวิเคราะห์สเปกตรัมนิวเคลียร์ในระดับงานการเรียนการสอนและวิจัยขั้นพื้นฐาน

Project Title	MULTICHANNEL ANALYZER
Name of the Investigators	VIRUL MANGCLAVIRAJ SUVIT PUNNACHAIYA
Year	1993

Abstract

A low cost pulse height analyzer with ease of maintenance and less complexity of electronic circuitry and operation together with other nuclear measuring facilities is developed. The multichannel analyzer (MCA) employs the Wilkinson type analog to digital converter (ADC) working at 50 MHz with a conversion gain of 1024 channels and a counting capacity of $10^{16}-1$ counts per memory channel. The digital signals from the ADC are processed through XT slot on microcomputer IBM PC AT/XT under the control of a program called MCA-NT01 of 26773 bytes.

The test result shows that the MCA works well with proportional counters as well as scintillation detectors like NaI(Tl). High voltage supply can be adjusted from 0 to 2000 V with a maximum current of 100 μ A and a ripple voltage less than 50 mV. Pulse amplification can be varied continuously upto 100 times resulting a unipolar pulse of 4 μ s pulse width ranging from 0 to 10 V with a good linearity at the output. The linear correlation of the analog to digital conversion is 0.999. The MCA is capable to analyze nuclear spectrum with a resolution suitable for teaching as well as for basic research.

สารบัญ

	หน้า
กิตติกรรมประกาศ	ii
บทคัดย่อภาษาไทย	iii
บทคัดย่อภาษาอังกฤษ	iv
สารบัญตารางประกอบ	viii
สารบัญภาพประกอบ	viv
รายการคำย่อ	xii
บทที่	
1. บทนำ	1
1.1 ความเป็นมาและความสำคัญของงานวิจัย	1
1.2 วัตถุประสงค์ของการวิจัย	2
1.3 ขอบเขตของการวิจัย	3
1.4 ขั้นตอนการดำเนินการวิจัย	3
1.5 ประโยชน์ที่ได้รับจากงานวิจัย	4
2. หลักการของอุปกรณ์วิเคราะห์แบบหลายช่องวัด	5
2.1 การวิเคราะห์ความสูงของพัลส์	6
2.1.1 สัญญาณพัลส์นิวเคลียร์	6
2.1.2 หลักการวิเคราะห์ความสูงของพัลส์	7
2.2 อุปกรณ์วิเคราะห์แบบหลายช่อง	9
2.2.1 โครงสร้างพื้นฐานของอุปกรณ์วิเคราะห์แบบหลายช่อง	9
2.2.2 การแปลงความสูงของพัลส์เป็นสัญญาณเชิงตัวเลข	11
2.2.3 เวลาในการแปลงความสูงของพัลส์เป็นสัญญาณเชิงตัวเลข	14
2.2.4 การตั้งเวลานับรังสีในอุปกรณ์วิเคราะห์แบบหลายช่อง	17
2.2.5 หน่วยความจำ	17
2.3 รูปแบบของอุปกรณ์วิเคราะห์แบบหลายช่อง	19
3. การพัฒนาอุปกรณ์วิเคราะห์แบบหลายช่อง	22
3.1 ข้อมูลพื้นฐานในการออกแบบและสร้าง	22

สารบัญ (ต่อ)

หน้า

3.2	การออกแบบอุปกรณ์วิเคราะห์แบบหลายช่องชนิดาช่วงจร อิเล็กทรอนิกส์เฉพาะส่วน	23
3.2.1	โครงสร้างของระบบที่เริ่มพัฒนา	23
3.2.2	การวางแผนประกอบเครื่องต้นแบบที่าช่วงจร อิเล็กทรอนิกส์เฉพาะส่วน	25
3.3	การออกแบบอุปกรณ์วิเคราะห์แบบหลายช่องควบคุมการทำงาน ด้วยไมโครคอมพิวเตอร์	27
3.3.1	โครงสร้างของระบบวิเคราะห์ที่ควบคุมการทำงาน ด้วยไมโครคอมพิวเตอร์	28
3.3.2	ระบบวัดครึ่งสี่ส่วนหน้า	29
3.3.3	ระบบแปลงสัญญาณพัลส์อนาลอกเป็นสัญญาณเชิงตัวเลข	34
3.3.4	ระบบเชื่อมโยงสัญญาณ	38
3.3.5	โปรแกรมควบคุมการทำงานของอุปกรณ์วิเคราะห์ แบบหลายช่อง	42
3.3.6	การประกอบเครื่องต้นแบบ	46
4.	ผลการทำงานของอุปกรณ์วิเคราะห์แบบหลายช่อง	48
4.1	ทดสอบการทำงานของแหล่งจ่ายไฟฟ้าศักดาสูง	48
4.1.1	เครื่องมือและอุปกรณ์	48
4.1.2	ทดสอบความเป็นเชิงเส้นของสเกลรับค่าศักดาไฟฟ้า	48
4.1.3	ทดสอบการควบคุมความคงที่ของศักดาไฟฟ้า	50
4.1.4	ตรวจวัดขนาดของศักดาเรลอกคลื่น	51
4.2	ทดสอบการทำงานของอุปกรณ์ขยายสัญญาณพัลส์	52
4.2.1	เครื่องมือและอุปกรณ์	52
4.2.2	ตรวจวัดรูปสัญญาณทางออก	52
4.2.3	ทดสอบความเป็นเชิงเส้นของอัตราขยายแบบ ดิฟเฟอเรนเชียล	53

สารบัญ (ต่อ)

หน้า

4.3	ทดสอบการทำงานของระบบแปลงสัญญาณพัลส์อนาลอกเป็นสัญญาณ เชิงตัวเลข	55
4.3.1	เครื่องมือและอุปกรณ์	55
4.3.2	ทดสอบความเป็นเชิงเส้นในการแปลงสัญญาณพัลส์	55
4.4	ทดสอบความสามารถในการทำงานของระบบวิเคราะห์	57
4.4.1	เครื่องมือและอุปกรณ์	57
4.4.2	ทดสอบความสามารถในการทำงานของระบบวิเคราะห์	57
4.5	การวิเคราะห์สเปกตรัมนิวเคลียร์	60
4.5.1	เครื่องมือและอุปกรณ์	60
4.5.2	ทดสอบการวิเคราะห์สเปกตรัมนิวเคลียร์	60
5.	สรุปผลการวิจัยและข้อเสนอแนะ	63
5.1	สรุปผลการวิจัย	63
5.2	พิกัดการทำงานของอุปกรณ์วิเคราะห์แบบหลายช่อง	65
5.2.1	พิกัดของระบบวิเคราะห์ทางฮาร์ดแวร์	65
5.2.2	พิกัดของโปรแกรม (Software)	66
5.3	ปัญหาและอุปสรรค	66
5.4	ข้อเสนอแนะ	67
	เอกสารอ้างอิง	68
	ภาคผนวก ก.	69
	ภาคผนวก ข.	71

เลขหมู่ คศ
๑๓ 15
เลขทะเบียน 008309
วัน, เดือน, ปี ๒๘ มีย ๖๘

สารบัญตารางประกอบ

ตารางที่		หน้า
4.1	ความสัมพันธ์ระหว่างสเกลปรับค่าศักดาไฟฟ้าและศักดาไฟฟ้าทางออก	49
4.2	ความสัมพันธ์ระหว่างกระแสไฟฟ้าและศักดาไฟฟ้าทางออก	50
4.3	ความเป็นเชิงเส้นของอัตราขยายแบบคิพเพอเรนเชียล	54
4.4	ความสัมพันธ์ระหว่างความสูงของพัลส์และตำแหน่งช่องวิเคราะห์	56
4.5	ผลทดสอบความสามารถในการทำงานของระบบวิเคราะห์	58



สถาบันวิทยบริการ
จุฬาลงกรณ์มหาวิทยาลัย

สารบัญภาพประกอบ

รูปที่	หน้า
2.1 ผลการวิเคราะห์พลังงานด้วยอุปกรณ์วิเคราะห์ความสูงของพัลส์	5
2.2 แผนภาพของระบบวิเคราะห์พลังงานของอนุภาคนิวเคลียร์	7
2.3 แผนภาพการปรับเทียบความสูงของพัลส์กับระดับศักย์อ้างอิง	8
2.4 การวิเคราะห์ความสูงของพัลส์ด้วยอุปกรณ์วิเคราะห์ช่องเดี่ยว	8
2.5 แผนภาพการทำงานเบื้องต้นของ MCA	10
2.6 การแสดงสเปกตรัมนิวเคลียร์ของ MCA	10
2.7 แผนภาพการทำงานของวงจรแปลงสัญญาณแบบวิลคินสัน	12
2.8 การสร้างเวลาการแปลงผัน (conversion time) ที่ระดับความสูงของพัลส์ต่างกัน	12
2.9 แผนภาพเวลาเปรียบเทียบการแปลงความสูงของพัลส์เป็นรหัสไบนารีที่ขนาดสัญญาณ 5 และ 10 โวลต์	14
2.10 แสดงการขยายสเปกตรัมด้วย conversion gain	15
2.11 การตัดข้อมูลความสูงของพัลส์เพื่อสำรองช่องวิเคราะห์ที่ถูกขยายออกด้วย DZO	16
2.12 แสดงการใช้บัสแอดเดรสและบัสข้อมูลในการบันทึกข้อมูลการวิเคราะห์ความสูงของพัลส์	18
2.13 แผนภาพการทำงานของหน่วยความจำ	19
2.14 แผนภาพการทำงานของอุปกรณ์วิเคราะห์แบบหลายช่องที่เข้ากับระบบการทำงานแบบวงจรอิเล็กทรอนิกส์เฉพาะส่วน	21
2.15 แผนภาพการทำงานของอุปกรณ์วิเคราะห์แบบหลายช่องที่ใช้ระบบการควบคุมด้วยไมโครคอมพิวเตอร์	21
3.1 แผนภาพของอุปกรณ์วิเคราะห์แบบหลายช่องชนิดาซิงโครอิเล็กทรอนิกส์เฉพาะส่วน	24
3.2 การจัดวางแผ่นวงจรภายในโครงแทนเครื่อง	26
3.3 แผ่นวงจรที่พัฒนาแล้วบางส่วนบนโครงแทนเครื่อง	26

สารบัญภาพประกอบ (ต่อ)

รูปที่	หน้า
3.4 ส่วนแสดงผลบนจอ CRT ที่พัฒนาขึ้น	26
3.5 แผนภาพของอุปกรณ์วิเคราะห์แบบหลายช่องควบคุมด้วยไมโครคอมพิวเตอร์	28
3.6 แผนภาพของวงจรแหล่งจ่ายไฟฟ้าสีกดาสูง	29
3.7 วงจรแหล่งจ่ายไฟฟ้าสีกดาสูง	30
3.8 แผนภาพของอุปกรณ์ขยายสัญญาณพัลส์	31
3.9 วงจรฐานหลอดทวิคูณอีเล็กตรอนสำหรับหลอด RCA 8053	32
3.10 วงจรขยายสัญญาณพัลส์ (Preamplifier/Amplifier)	33
3.11 แผนภาพการทำงานของวงจรแปลงสัญญาณพัลส์ในส่วนของการแปลงผันสัญญาณอนาลอก	34
3.12 แผนภาพการทำงานของวงจรแปลงสัญญาณในส่วนของสัญญาณเชิงตัวเลข	35
3.13 แผนภาพเวลาของการแปลงผันสัญญาณอนาลอกเป็นสัญญาณเชิงตัวเลข	35
3.14 วงจรระบบแปลงสัญญาณอนาลอกเป็นสัญญาณเชิงตัวเลขแบบวิลคินสัน	36
3.15 แผนภาพของระบบเชื่อมโยงสัญญาณ	37
3.16 แผนภาพเวลาการทำงานในขั้นตอนการรับข้อมูลจาก ADC	37
3.17 วงจรระบบเชื่อมโยงสัญญาณ	41
3.18 โพลีชาร์ตของโปรแกรมหลัก	43
3.19.ก. แผนภาพการทำงานของโปรแกรมหลักและโปรแกรมย่อย	44
3.19.ข. โพลีชาร์ตของโปรแกรมย่อย	45
3.20 การจัดวางแผ่นวงจรและอุปกรณ์ภายในเครื่อง	46
3.21 เครื่องต้นแบบที่พัฒนาขึ้น	47
3.22 การวางแผ่นวงจรภายในเครื่อง	47
4.1 ความสัมพันธ์ระหว่างตำแหน่งสเกลปรับค่าสีกดาไฟฟ้ากับสีกดาไฟฟ้าทางออก	49
4.2 แผนภาพการจัดอุปกรณ์ทดสอบการควบคุมความคงที่สีกดาไฟฟ้า	50
4.3 ความสัมพันธ์ระหว่างกระแสไฟฟ้าที่จ่ายให้หลอดและสีกดาไฟฟ้าทางออก	51

สารบัญภาพประกอบ (ต่อ)

รูปที่	หน้า	
4.4	แผนภาพการจับอุปกรณ์เพื่อตรวจวัดศักยคาระลอกคลื่น	51
4.5	ขนาดของศักยคาระลอกคลื่น	52
4.6	แผนภาพการจับอุปกรณ์ตรวจวัดรูปสัญญาณพัลส์	52
4.7	รูปสัญญาณพัลส์ทางเข้าและทางออกของอุปกรณ์ขยายสัญญาณพัลส์	53
4.8	ความเป็นเชิงเส้นของอัตราขยายซึ่งทดสอบแบบคิฟเพอเรนเซียล	54
4.9	แผนภาพการจับอุปกรณ์เพื่อทดสอบการทำงานของระบบแปลงสัญญาณ	55
4.10	ความสัมพันธ์เชิงเส้นระหว่างความสูงของพัลส์และตำแหน่งช่องวิเคราะห์	56
4.11	แผนภาพการจับอุปกรณ์เพื่อทดสอบความสามารถในการทำงานของระบบวิเคราะห์	57
4.12	เส้นกราฟเปรียบเทียบความสามารถในการวิเคราะห์ของ MCA (NT-01)	59
4.13	แผนภาพการจับระบบวิเคราะห์พลังงานของรังสีแกมมา	60
4.14	ผลวิเคราะห์สเปกตรัมของรังสีแกมมาจาก Cs-137	61
4.15	ผลวิเคราะห์สเปกตรัมของรังสีแกมมาจาก Co-60	61
4.16	ผลการรวมปริมาณนับรังสีได้พื้นที่สเปกตรัมพลังงานของ Cs-137 โดยวิธี integral function	62
4.17	ผลการใช้ฟังก์ชันการขยายและเลื่อนสเปกตรัมด้วยฟังก์ชัน expand และ roll up	62
ก.1	แผนภาพของ main board SUM 286	69
ก.2	ตำแหน่งขาของแหล่งจ่ายไฟฟ้า	69
ก.3	ตำแหน่งของอุปกรณ์ต่างๆบน main board SUH 286	70
ก.4	ตำแหน่งขาของช่องขยายสัญญาณ XT	70

รายการคำย่อ

หน่วยทางไฟฟ้า

A	Ampere (หน่วยวัดกระแสไฟฟ้า)
mA	milliampere ($10^{-3}A$)
μA	microampere ($10^{-6}A$)
C	Coulomb (หน่วยวัดประจุไฟฟ้า)
Hz	Hertz (หน่วยวัดความถี่)
kHz	kilohertz (10^3 Hz)
MHz	Megahertz (10^6 Hz)
t	time (เวลา)
V	Volt (หน่วยวัดศักดาไฟฟ้า)
mV	millivolt ($10^{-3}V$)
μV	microvolt ($10^{-6}V$)

ชื่อสัญญาณ

A_x-A_n	address buses
ADD	addition
B	ADC busy
CLEAR	clear command
CLP	clamp
CSC	current source control
D_x-D_n	data bus
DTM	dead time meter
GTZ	greater than zero
IRQ	interrupt request
ING	input gate
IOW	I/O write
IOR	I/O read

INT	interrupt
LLD	lower level discriminator
LT	live time
LGS	linear gate switch
PSB	pulse stretcher busy
PD	peak detect
Q_x-Q_n	signal output bus
R_x	read control signal
REC	record
RFF	reject flip flop
REJ	reject
RD	read
RT	real time
SUB	subtract
STORE	store command
S/N	signal to noise ratio
ULD	upper level discriminate
W_x	write control signal
WR	write
ZL	zero level
50 MHz	ADC time base
100 kHz	timer time base
1Hz	1 second signal
1Hz+LTC	1 second + live time correction signal

ศัพท์วิทยาศาสตร์

ADC	analog to digital converter
BCD	binary coded dicimal
BLR	base line restorer

CG	conversion gain
CPU	central processing unit
CRT	cathode ray tube
DAC	digital to analog converter
DMA	direct memory access
DZO	digital zero offset
E	energy
EPMA	electron probe microanalysis
F.F.	flip flop
HV	high voltage
I/O	input/output
ITF	interface
MCA	multichannel analyzer
NAA	neutron activation analysis
PAL	programmable array logic
PH	pulse height
PHA	pulse height analyzer
PGA	prompt gamma analysis
PIXE	proton induced x-ray emission
PZ	pole zero cancellation
RAM	random access memory
ROI	region of interest
ROM	read only memory
SCA	single channel analyzer
XRF	x-ray fluorescence



การพัฒนาอุปกรณ์วิเคราะห์แบบหลายช่อง (multichannel analyzer) เป็นโครงการสิ่งประดิษฐ์เครื่องมือวิเคราะห์นิวเคลียร์ ซึ่งพัฒนาขึ้นที่ภาควิชานิวเคลียร์เทคโนโลยี คณะวิศวกรรมศาสตร์ จุฬาลงกรณ์มหาวิทยาลัย โดยได้รับการสนับสนุนทุนวิจัยจากฝ่ายวิจัยของมหาวิทยาลัย เมื่อปี พ.ศ. 2528 และคาดว่าโครงการจะเสร็จสิ้นในปี พ.ศ. 2531 แต่ประสบอุปสรรคในการดำเนินการวิจัย จึงทำให้งานวิจัยล่าช้ามาเป็นเวลา 6 ปี ทั้งนี้เนื่องจากช่วงเวลาหลังจากผู้วิจัยได้รับทุนวิจัยแล้ว ผู้วิจัยมีภาระด้านการสนับสนุนการดำเนินงานของศูนย์เครื่องมือวิจัยวิทยาศาสตร์และเทคโนโลยี ประกอบกับผู้วิจัยร่วมถูกขอตัวไปช่วยงานวิจัยเร่งด่วนหลายโครงการ จึงทำให้การดำเนินงานขาดความต่อเนื่อง ระยะเวลาที่งานพัฒนาอุปกรณ์วิเคราะห์แบบหลายช่องที่ชะลอไปนั้น เทคโนโลยีด้านเครื่องมือวิจัยวิทยาศาสตร์ได้ปรับเปลี่ยนไปตามวิวัฒนาการของเทคโนโลยีคอมพิวเตอร์ ทำให้รูปแบบของเครื่องมือวิจัยทางวิทยาศาสตร์ในปัจจุบันมีลักษณะเป็นระบบวิเคราะห์ที่ควบคุมการทำงาน และประมวลผลด้วยไมโครโปรเซสเซอร์ หรือคอมพิวเตอร์ ขณะเดียวกันราคาของไมโครคอมพิวเตอร์ก็ลดลงมาก ดังนั้นผู้วิจัยจึงมีความจำเป็นต้องปรับเปลี่ยนโครงสร้างของสิ่งประดิษฐ์อุปกรณ์วิเคราะห์แบบหลายช่อง จากการทำงานแบบชิ้นส่วนอิเล็กทรอนิกส์เฉพาะส่วน (discrete components) มาเป็นระบบการทำงานที่ควบคุมการวิเคราะห์ด้วยไมโครคอมพิวเตอร์ (microcomputer based MCA) และออกแบบโปรแกรมสนับสนุนการทำงานให้มีสมรรถนะสูงกว่าเดิม

1.1 ความเป็นมาและความสำคัญของงานวิจัย

อุปกรณ์วิเคราะห์แบบหลายช่อง (MCA) เป็นอุปกรณ์สำหรับวิเคราะห์พลังงานของอนุภาคนิวเคลียร์ โดยวิธีการจำแนกความสูงของสัญญาณพัลส์ (pulse height analysis) จากระบบวัดนิวเคลียร์ ด้วยการทำงานในระบบเชิงตัวเลข และแสดงผลของสเปกตรัมพร้อมรายละเอียดของตำแหน่งพลังงานและปริมาณของอนุภาคนิวเคลียร์ที่วิเคราะห์ได้ทางจอภาพ ทำให้การแปลผลวิเคราะห์กระทำได้สะดวก รวดเร็วกว่าการใช้อุปกรณ์วิเคราะห์แบบช่องเดียว (Single Channel Analyzer, SCA) ซึ่งถูกพัฒนาขึ้นมาใช้กับกระบวนการวิเคราะห์พลังงานของอนุภาคนิวเคลียร์ในระยะแรกๆ และเนื่องจากอุปกรณ์วิเคราะห์แบบหลายช่องมีสมรรถนะการทำงานสูง

จึงมีความสำคัญต่องานด้านการศึกษาวิจัยและการวิเคราะห์ธาตุทั้งเชิงคุณภาพและปริมาณ โดยเฉพาะการตรวจหาองค์ประกอบของสารในระดับความเข้มข้นต่ำมากที่ใช้เทคนิคนิวเคลียร์ อันได้แก่ เทคนิคการวิเคราะห์ด้วยวิธีอาร์รังสีนิวตรอน (NAA) เทคนิคการเรืองรังสีเอกซ์ (XRF) เทคนิคการวัดพรอมต์แกมมา (PGA) เทคนิคการเหนี่ยวนำด้วยโปรตอน (PIXE) และเทคนิคการวิเคราะห์ด้วยลาอิวอิเล็กตรอน (EPMA) เป็นต้น

อุปกรณ์วิเคราะห์แบบหลายช่องนี้มีความจำเป็นต่อหน่วยงานที่มีการเรียนการสอนและการวิจัยในสาขาฟิสิกส์นิวเคลียร์และเทคโนโลยีนิวเคลียร์เป็นอย่างมาก แต่เนื่องจากอุปกรณ์ดังกล่าวมีการทำงานที่ค่อนข้างซับซ้อนและมีการใช้งานเฉพาะด้าน ทำให้ต้องสั่งซื้อจากต่างประเทศด้วยราคาสูง ในขณะที่บริษัทผู้ผลิตมักจะไม่ยอมให้รายละเอียดทางเทคนิคแก่ผู้ใช้ จึงทำให้เป็นอุปสรรคทั้งด้านงบประมาณการจัดหาและการบำรุงรักษาอุปกรณ์นี้ เพื่อให้มีการใช้งานได้อย่างคุ้มค่าของหลายหน่วยงาน ผู้วิจัยมองเห็นความสำคัญและประโยชน์ของอุปกรณ์วิเคราะห์แบบหลายช่องรวมทั้งปัญหาที่เกิดขึ้น จึงมีแนวคิดที่จะพัฒนาและประดิษฐ์อุปกรณ์วิเคราะห์แบบหลายช่องให้มีสมรรถนะการทำงานทัดเทียมกับเครื่องที่ผลิตจากต่างประเทศ ในราคาที่ต่ำกว่า ซ่อมบำรุงได้ สะดวก ง่าย วัสดุและอุปกรณ์ที่หาได้ในประเทศเป็นหลัก โดยขอรับการสนับสนุนทุนวิจัยจากฝ่ายวิจัย จุฬาลงกรณ์มหาวิทยาลัย ดำเนินการวิจัยที่ห้องปฏิบัติการอิเล็กทรอนิกส์นิวเคลียร์ ภาควิชานิวเคลียร์ เทคโนโลยี และศูนย์เครื่องมือวิจัยวิทยาศาสตร์และเทคโนโลยี เพื่อให้ได้ต้นแบบอุปกรณ์วิเคราะห์แบบหลายช่องที่สามารถถ่ายทอดเทคนิคการประดิษฐ์นี้ไปสู่การพัฒนาอุปกรณ์วิเคราะห์แบบหลายช่องขึ้นใช้เองในระดับงานวิจัยพื้นฐานในประเทศ

1.2 วัตถุประสงค์ของการวิจัย

การพัฒนาอุปกรณ์วิเคราะห์แบบหลายช่องนี้ มุ่งที่จะประดิษฐ์เครื่องต้นแบบที่สามารถใช้งานได้สะดวก บำรุงรักษาง่าย และมีสมรรถนะเพียงพอที่จะใช้งานในระดับงานวิจัยขั้นพื้นฐาน โดยมีวัตถุประสงค์ดังนี้

- 1.2.1 เพื่อศึกษาและพัฒนาวงจรต่างๆของระบบวิเคราะห์ความสูงของพัลส์ที่เข้าสู่อุปกรณ์วิเคราะห์แบบหลายช่อง
- 1.2.2 เพื่อออกแบบและสร้างอุปกรณ์วิเคราะห์แบบหลายช่องต้นแบบที่มีสมรรถนะทัดเทียมเครื่องที่ผลิตจากต่างประเทศ โดยใช้วัสดุและชิ้นส่วนอิเล็กทรอนิกส์ที่หาได้ในประเทศเป็นหลัก

- 1.2.3 เพื่อทดสอบสมรรถนะของเครื่องต้นแบบ รวบรวมข้อมูล อันเป็นแนวทางการพัฒนาอุปกรณ์วิเคราะห์ที่มีสมรรถนะสูงขึ้น และสามารถใช้งานในระดับงานวิจัยขั้นสูง

1.3 ขอบเขตของการวิจัย

จากการติดตามคู่มือทางเทคนิคของ เครื่องที่ผลิตจากต่างประเทศ และความเป็นไปได้ในการจัดหาชิ้นส่วนต่างๆในประเทศ เพื่อนำมาใช้ในการพัฒนานี้ สามารถแบ่งงานพัฒนาออกเป็น 3 ส่วน โดยมีขอบเขตของข้อมูลพิกัดทางเทคนิคดังนี้

- 1.3.1 การพัฒนาระบบแปลงสัญญาณพัลส์เชิงอนาล็อก (analog pulse) เป็นรหัสเชิงตัวเลข (digital code) หรือ ADC โดยเลือกแบบวิลคินสัน (Wilkinson) มีความละเอียด ในการแปลงสัญญาณขนาด 10 บิต ความถี่ฐานเวลามีขนาด 50 MHz สามารถเลือก CG ได้จาก 512, 1024, 2048 และเลือก DZO จาก 0, 256, 512, 768, 1024, 1280, 1536, 1792
- 1.3.2 การพัฒนาระบบควบคุมการทำงานออกแบบให้สามารถจําแนกผลการแปลงสัญญาณในระบบเชิงตัวเลขไปบันทึกบนหน่วยความจําขนาด 1024 ช่องวัด และเก็บข้อมูลในแต่ละช่องวัดได้ไม่น้อยกว่า 10^6-1 จํานวนนับ สามารถเลือกเก็บข้อมูลได้ทั้งในแบบนับเพิ่ม (addition) และนับลด (subtraction) รวมทั้งมีเคอร์เซอร์ (cursor) อ่านปริมาณนับรังสี ณ ตำแหน่งพลังงานต่างๆได้ทุกช่องวิเคราะห์และสามารถรวมค่าปริมาณนับได้พื้นที่พีก (peak) พลังงานได้
- 1.3.3 ระบบรายงานผลการวิเคราะห์ที่ออกแบบให้สามารถแสดงผลของสเปกตรัมทางจอภาพ และพิมพ์ผลวิเคราะห์ทางเครื่องพิมพ์

1.4 ขั้นตอนการดำเนินการวิจัย

- 1.4.1 ศึกษาการทำงานของอุปกรณ์วิเคราะห์แบบหลายช่องและติดตามข้อมูลพิกัดทางเทคนิคของอุปกรณ์วิเคราะห์รุ่นใหม่ รวมทั้งจัดหาชิ้นส่วนและวัสดุที่สำคัญ

- 1.4.2 ออกแบบและทดสอบการทำงานของวงจรแปลงสัญญาณพัลส์ ระบบควบคุมการทำงาน
งานของอุปกรณ์วิเคราะห์ และระบบรายงานผลการวิเคราะห์ตามลำดับ
- 1.4.3 พัฒนาโปรแกรมควบคุมการทำงานจากระบบต่างๆ และโปรแกรมสนับสนุนการใช้
อุปกรณ์วิเคราะห์แบบหลายช่อง
- 1.4.4 ออกแบบแผ่นพิมพ์วงจร และประกอบวงจรแต่ละส่วนเพื่อทดสอบหาจุดบกพร่อง
- 1.4.5 ประกอบเครื่องต้นแบบและแก้ไขสิ่งบกพร่อง เพื่อทดสอบสมรรถนะการทำงานของ
อุปกรณ์วิเคราะห์แบบหลายช่องที่มีพัฒนาขึ้น
- 1.4.6 รวบรวมข้อมูลและสรุปผลการวิจัย

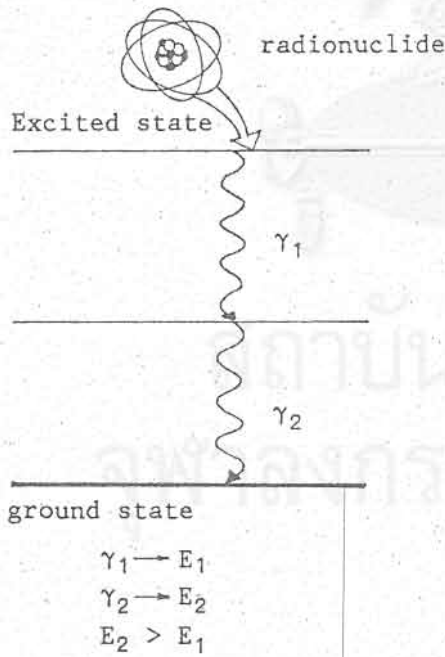
1.5 ประโยชน์ที่ได้รับจากงานวิจัย

- 1.5.1 ช่วยให้เกิดการสนับสนุนด้านการเรียนการสอนและการวิจัยในสาขาเทคโนโลยีนิว
เคลียร์และฟิสิกส์นิวเคลียร์ โดยเฉพาะการใช้เป็นอุปกรณ์การเรียนการสอนภาค
ปฏิบัติ
- 1.5.2 เป็นการสร้างความรู้ความเข้าใจในการทำงานของระบบวิเคราะห์ที่ซับซ้อน และ
สามารถติดตามพัฒนาการของอุปกรณ์วิเคราะห์แบบหลายช่องรุ่นใหม่ อันจะก่อให้เกิด
เกิดประโยชน์ในการถ่ายทอดวิทยาการใหม่ๆ
- 1.5.3 เป็นการสนับสนุนให้มีการพัฒนาอุปกรณ์วิเคราะห์แบบหลายช่องขึ้นใช้เองสำหรับงาน
วิจัยขั้นพื้นฐาน
- 1.5.4 เป็นการเผยแพร่และถ่ายทอดเทคนิคในการพัฒนาอุปกรณ์วิเคราะห์แบบหลายช่อง
จากประสบการณ์ในการสร้างเครื่องต้นแบบ

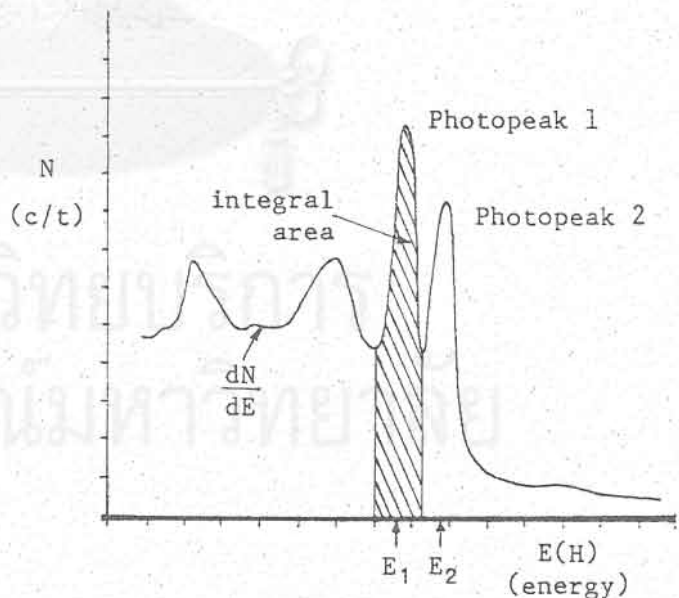
บทที่ 2

หลักการของอุปกรณ์วิเคราะห์แบบหลายช่องวัด

อุปกรณ์วิเคราะห์ความสูงของพัลส์ (Pulse Height Analyzer : PHA) เป็นเครื่องมือทางวิทยาศาสตร์นิวเคลียร์ที่สำคัญสำหรับการวิเคราะห์พลังงานของอนุภาคนิวเคลียร์ ที่เกิดจากจากกระบวนการนิวเคลียร์ต่างๆ อันได้แก่ การสลายตัวของสารกัมมันตรังสี (radioactive decay) ปฏิกิริยานิวเคลียร์ (nuclear reaction) และอันตรกิริยานิวเคลียร์ (nuclear interaction) เป็นต้น การวิเคราะห์พลังงานด้วยอุปกรณ์วิเคราะห์ความสูงของพัลส์ จากกระบวนการที่กล่าวมา จะทำให้ได้ข้อมูลอันนำไปสู่การวิเคราะห์หาคุณสมบัติเชิงคุณภาพและเชิงปริมาณด้วยเทคนิคนิวเคลียร์ดังรูปที่ 2.1 ข. เส้นกราฟการกระจายพลังงานจากการวิเคราะห์ความสูงของพัลส์บนระนาบของแกนแนวนอนและแนวตั้ง (dN/dE) หรือ (dN/dH) ซึ่งเรียกว่า "สเปกตรัมนิวเคลียร์" จะแสดงตำแหน่งพลังงานที่ยอดพิคพลังงานในแกนแนวนอนของเส้นกราฟ สัมพันธ์กับระดับพลังงานที่ปลดปล่อยจากต้นกำเนิดรังสีในรูปที่ 1.ก และผลรวมของจำนวนนับอนุภาคนิวเคลียร์บนพื้นที่ใต้พิคพลังงาน (integral area) จะบอกสัดส่วนปริมาณของธาตุนั้นๆ



ก. แผนผังการปลดปล่อยพลังงานของอะตอมธาตุ 2 พลังงาน



ข. สเปกตรัมนิวเคลียร์จากการวิเคราะห์ความสูงของพัลส์พลังงาน E_1, E_2

รูปที่ 2.1 ผลการวิเคราะห์พลังงานด้วยอุปกรณ์วิเคราะห์ความสูงของพัลส์

2.1 การวิเคราะห์ความสูงของพัลส์

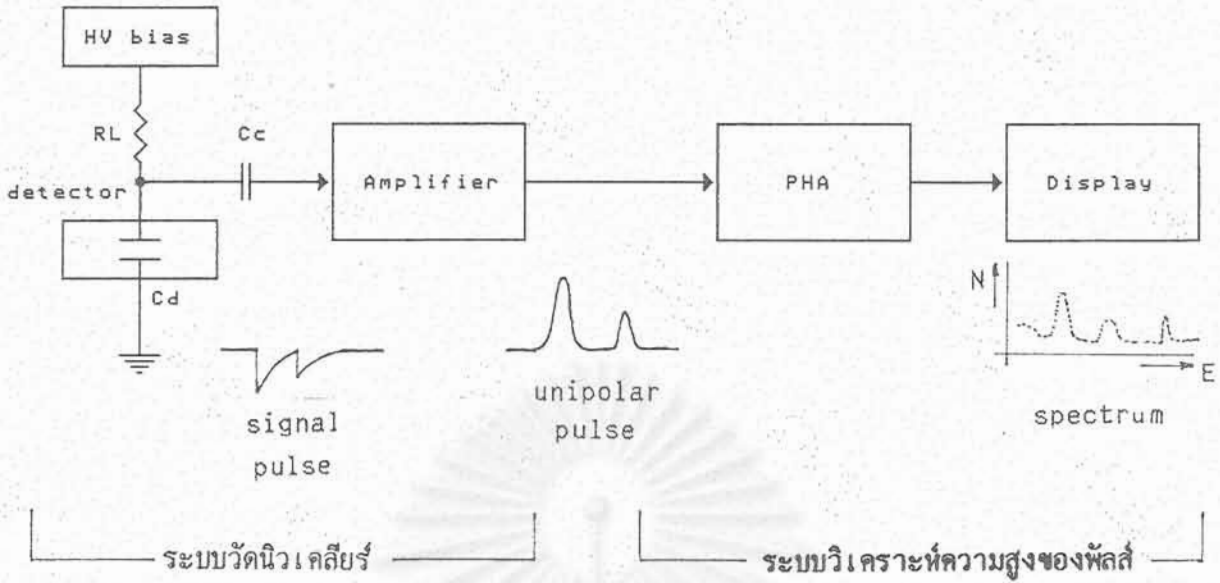
2.1.1 สัญญาณพัลส์นิวเคลียร์

กระบวนการตรวจวัดนิวเคลียร์ อาศัยหลักการเปลี่ยนพลังงานจลน์ของอนุภาคนิวเคลียร์จากการถ่ายโอนพลังงานแก่ตัวกลางที่เหมาะสมภายในหัววัดรังสี เป็นปริมาณประจุไฟฟ้า โดยปริมาณประจุไฟฟ้าจะมากหรือน้อยจะขึ้นกับระดับพลังงานที่ถ่ายโอนภายในหัววัดรังสี จากนั้นปริมาณประจุไฟฟ้าจะถูกเปลี่ยนเป็นสัญญาณไฟฟ้าในรูปพัลส์ที่มีขนาดความสูงสัมพันธ์กับสัดส่วนพลังงานของอนุภาคนิวเคลียร์นั้นๆ และมีขนาด ดังสมการที่ 1

$$v_d = \frac{qn}{C} e^{-t/RC} \dots\dots\dots (1)$$

เมื่อ	v_d	=	พัลส์ศักดาไฟฟ้า	โวลต์
	q	=	ประจุของอิเล็กตรอน ($1.602 \times 10^{-19} C$)	คูลอมบ์
	n	=	ปริมาณของตัวพาประจุลบหรือบวกที่เกิดขึ้น	
	C	=	ค่าความจุในวงจรเทียบเท่าของหัววัดรังสี ซึ่งรวมความจุโครงสร้างของหัววัดด้วย	ฟาราด
	$e^{-t/RC}$	=	ตัวประกอบการสลายตัวของสัญญาณพัลส์	

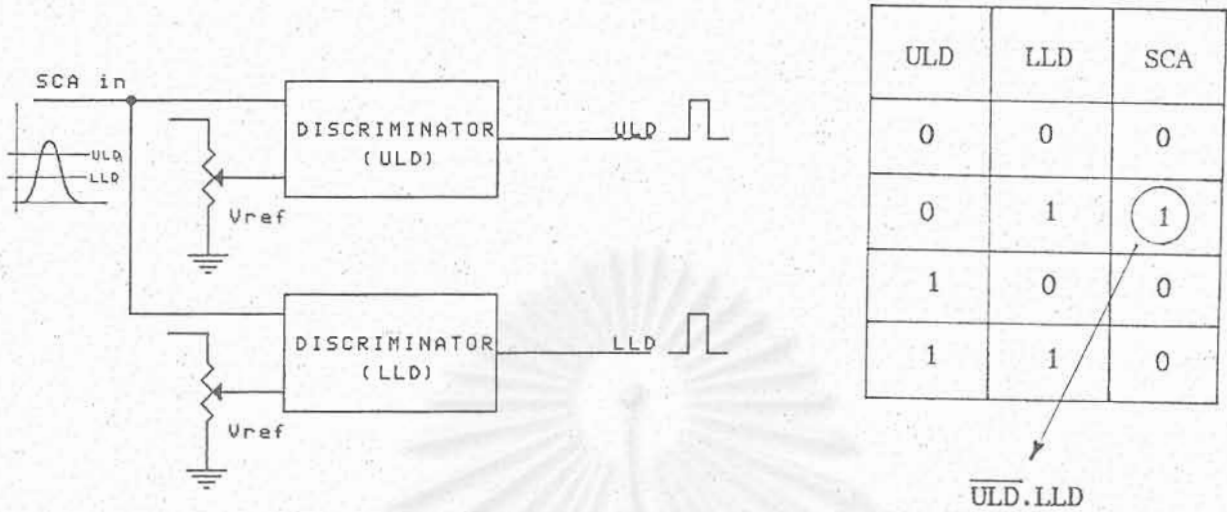
สัญญาณพัลส์จากหัววัดรังสีที่มีขนาดเล็กมากจากระบบวัดนิวเคลียร์ ตามรูปที่ 2.2 จะส่งไปยังภาคขยายสัญญาณเพื่อรับการขยายสัญญาณและแต่งรูปสัญญาณด้วยกระบวนการกรองความถี่ ำให้มีลักษณะเป็นภาคขยายที่มีย่านตอบสนองความถี่แคบ (narrow band amplifier) ตามเทคนิคการวิเคราะห์สเปกตรัม (spectroscopy) ทำให้ได้อัตราส่วนสัญญาณพัลส์ต่อสิ่งรบกวน (S/N) สูง สัญญาณพัลส์ที่รับการขยายแล้ว จึงมีขนาดความสูงของพัลส์แปรเปลี่ยนตามสัดส่วนพลังงาน ($dH \propto dE$) ส่งให้กับระบบวิเคราะห์พลังงานเพื่อจําแนกความสูงของพัลส์ ด้วยเหตุนี้จึงเรียกกระบวนการวิเคราะห์พลังงานของอนุภาคนิวเคลียร์นี้ว่า "การวิเคราะห์ความสูงของพัลส์ (pulse height analysis)"(1)



รูปที่ 2.2 แผนภาพของระบบวิเคราะห์พลังงานของอนุภาคนิวเคลียร์

2.1.2 หลักการวิเคราะห์ความสูงของพัลส์

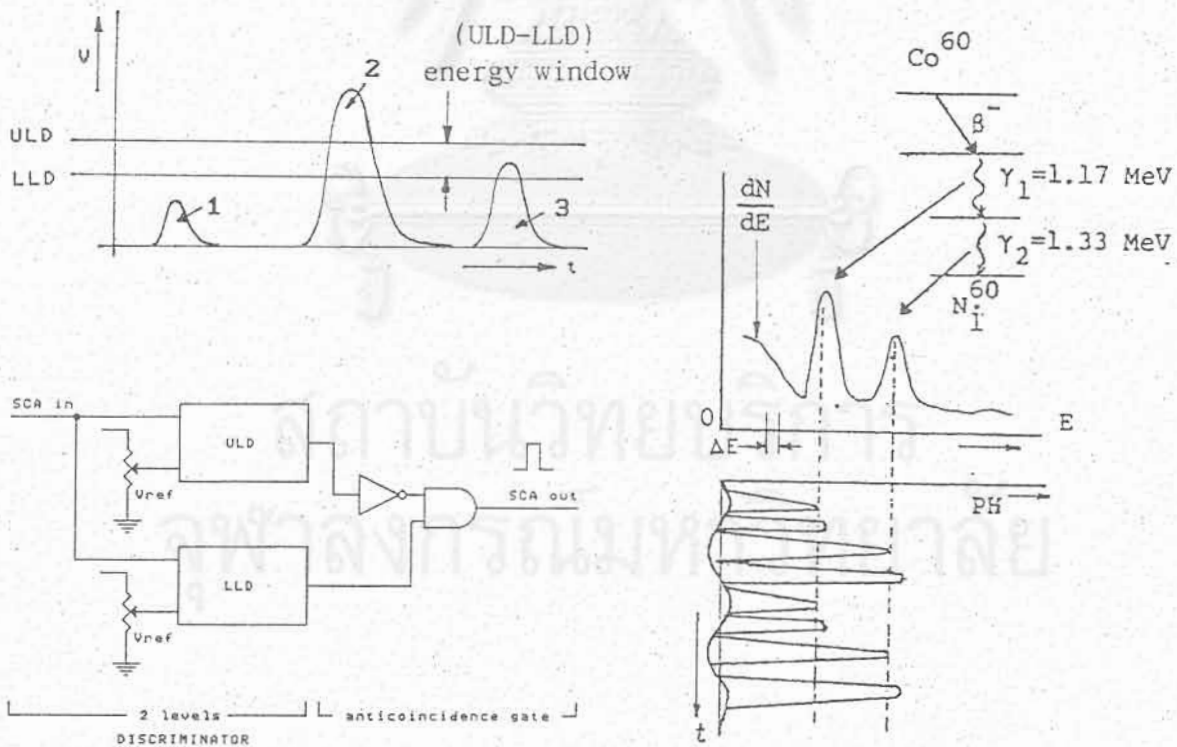
จากรูปที่ 2.2 สัญญาณพัลส์จากภาคขยายของระบบวัดนิวเคลียร์ จะมีลักษณะเป็นสัญญาณอนาล็อก การวิเคราะห์ความสูงของพัลส์ในระยะแรกอาศัยการจำแนกความสูงของพัลส์โดยการเปรียบเทียบความสูงของพัลส์กับระดับศักดาไฟฟ้าอ้างอิง 2 ระดับ ด้วยวงจรเปรียบเทียบศักดาไฟฟ้างดังแสดงในรูปที่ 2.3 วงจรเปรียบเทียบศักดาไฟฟ้าที่มีศักดาอ้างอิงระดับล่างเรียกว่า "lower level discriminator : LLD" และวงจรเปรียบเทียบศักดาไฟฟ้าที่มีศักดาอ้างอิงระดับบน เรียกว่า "upper level discriminator : ULD" ผลต่างของศักดาไฟฟ้าอ้างอิงทั้งสอง (ULD-LLD) เรียกว่า "หน้าต่างวิเคราะห์พลังงาน (energy window)" ซึ่งมีลักษณะเป็นช่องวิเคราะห์เดี่ยว ผลการเปรียบเทียบระดับศักดาไฟฟ้าจะทำให้เกิดสถานะทางตรรกะ 4 สถานะ ขณะที่เงื่อนไขของการวิเคราะห์ความสูงของพัลส์ เพื่อแยกนับเฉพาะความสูงของพัลส์นั้นมีเพียงสถานะเดียว คือ ความสูงของพัลส์จะต้องอยู่ภายในหน้าต่างวิเคราะห์พลังงาน ในรูปที่ 2.4.ก คือ พัลส์หมายเลข 3 เท่านั้นที่มีสถานะตามต้องการ ดังนั้นการวิเคราะห์ความสูงของพัลส์จำเป็นต้องมีลอจิกเกต (logic gate) ในการตัดสินใจสถานะจากตารางตรรกะ ULD.LLD เรียกว่า "แอนติโคอิดเดนซ์เกต (anticoincidence gate)" ในรูปที่ 2.4.ข แสดงผลการวิเคราะห์สเปกตรัมของรังสีแกมมาจาก Co-60



วงจรเปรียบเทียบศักดาไฟฟ้า 2 ระดับ

ตารางสภาวะลอจิก

รูปที่ 2.3 แผนภาพการเปรียบเทียบความสูงของพัลส์กับระดับศักดาอ้างอิง



ก. ส่วนประกอบสำคัญของ SCA

ข. ผลการวิเคราะห์สเปกตรัมของพัลส์

รูปที่ 2.4 การวิเคราะห์ความสูงของพัลส์ด้วยอุปกรณ์วิเคราะห์ช่องเดียว

การวิเคราะห์ความสูงของพัลส์ตลอดย่านวิเคราะห์ด้วยอุปกรณ์วิเคราะห์ช่องเดียว ทำให้โดยการเลื่อนช่องวิเคราะห์ (ΔE) ครึ่งละ 1 ช่องต่อเนื่องกัน และตั้งเวลานับเท่าๆกัน ข้อมูลจากการบันทึกผลการวัดแบบแยกนับเฉพาะความสูงของพัลส์ เมื่อสร้างเป็นเส้นกราฟความสัมพันธ์ระหว่าง dN/dE จะได้สเปกตรัมดังรูปที่ 2.4 ข. อย่างไรก็ตามการวิเคราะห์ความสูงของพัลส์แบบช่องเดียวนี้มีความไม่สะดวกทั้งด้านวิธีการวิเคราะห์ การแสดงผลและใช้เวลาในการวิเคราะห์มาก จึงมีข้อจำกัดในการวิเคราะห์ความสูงของพัลส์แบบต่อเนื่อง ต่อมาได้มีการพัฒนาวิธีวิเคราะห์ความสูงของพัลส์แบบต่อเนื่อง โดยอาศัยเทคนิคทางระบบเชิงตัวเลข (digital technique) เข้ามาช่วยทำให้สามารถวิเคราะห์ความสูงของพัลส์ได้หลายช่องวิเคราะห์ในเวลาเดียวกัน เสมือนกับการตั้งช่องวิเคราะห์พลังงานช่องเดียวต่อเนื่องกัน (stacked discriminator)⁽¹⁾ และมีอุปกรณ์บันทึกข้อมูลประจำช่องวิเคราะห์ความสูงของพัลส์ทำงานพร้อมกัน แสดงผลได้ทันทีหลังสิ้นสุดเวลานับรังสี ปัจจุบันจึงมีการแบ่งอุปกรณ์วิเคราะห์ความสูงของพัลส์เป็น 2 ชนิดคือ อุปกรณ์วิเคราะห์แบบช่องเดียว (Single Channel Analyzer : SCA) และอุปกรณ์วิเคราะห์แบบหลายช่อง (Multi-Channel Analyzer : MCA)

2.2 อุปกรณ์วิเคราะห์แบบหลายช่อง

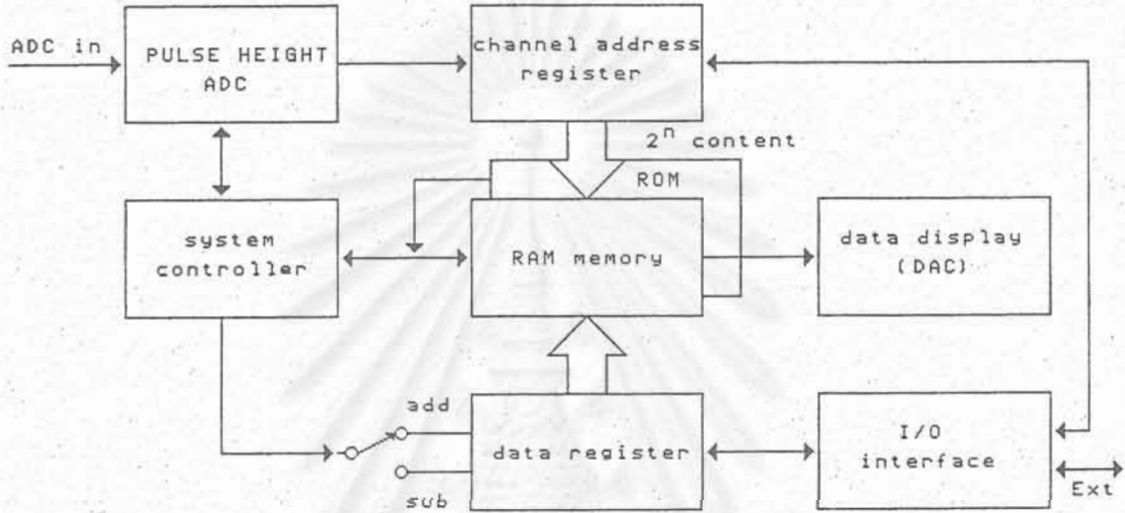
อุปกรณ์วิเคราะห์แบบหลายช่องเป็นอุปกรณ์วิเคราะห์ความสูงของพัลส์ที่มีขีดความสามารถในการวิเคราะห์ความสูง ด้วยการรับข้อมูลความสูงของพัลส์มาวิเคราะห์ในระบบเชิงตัวเลขอย่างต่อเนื่องและถูกเก็บไว้ (หลังว่างเว้นจากพันธะการประมวลข้อมูลภายในของอุปกรณ์วิเคราะห์โดยอัตโนมัติ) ข้อมูลที่เก็บอยู่ในหน่วยความจำนี้จะถูกสะสมในรูปของการกระจายข้อมูลความสูงของพัลส์ (pulse height distribution) และแสดงผลสเปกตรัมทางจอภาพได้ทันทีเมื่อต้องการ

2.2.1 โครงสร้างพื้นฐานของอุปกรณ์วิเคราะห์แบบหลายช่อง

อุปกรณ์วิเคราะห์แบบหลายช่อง มีส่วนสำคัญในการสร้างกระบวนการวิเคราะห์ทั้งหมด 7 ส่วน ดังแสดงในแผนภาพรูปที่ 2.5 ได้แก่

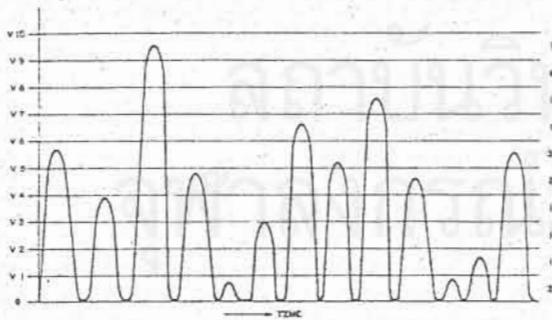
- ก. วงจรแปลงความสูงของพัลส์เป็นสัญญาณเชิงตัวเลข (pulse height to digital converter)
- ข. หน่วยความจำ (memory) RAM และ ROM
- ค. วงจรกำหนดแอดเดรสของหน่วยความจำ (channel address register)

- ง. วงจรบันทึกข้อมูล (data register)
- จ. วงจรแสดงผล (data display)
- ฉ. วงจรควบคุมการทำงานของระบบ (system controller)
- ช. วงจรเชื่อมโยงกับอุปกรณ์ภายนอก (I/O interface)

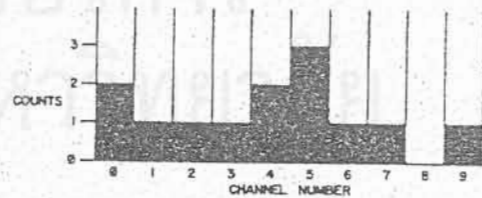


รูปที่ 2.5 แผนภาพการทำงานเบื้องต้นของ MCA

Pulse Height Distribution Analysis



Input voltage pulses



PHA Histogram

ก. สัญญาณพัลส์จากระบบวัดรังสี

ข. ฮิสโตแกรมความสูงของพัลส์

รูปที่ 2.6 การแสดงสเปกตรัมนิวเคลียร์ของ MCA

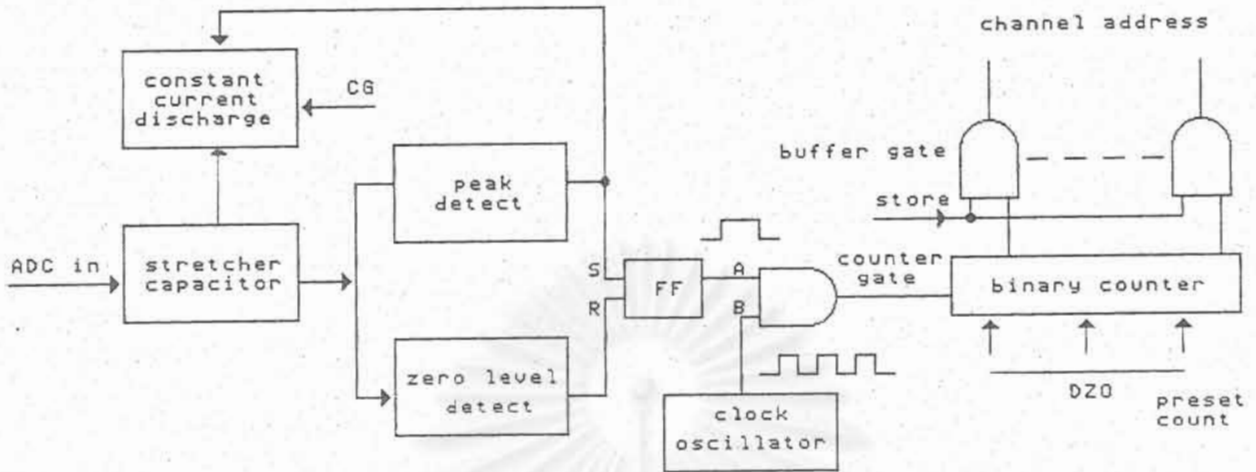
อุปกรณ์วิเคราะห์แบบหลายช่องมีการทำงานด้วยระบบเชิงตัวเลขที่ค่อนข้างซับซ้อน เริ่มจากวงจรแปลงความสูงของพัลส์จะรับพัลส์ศักดาไฟฟ้า ดังรูปที่ 2.6 ก. จากระบบวัดครึ่งสี่มา แปลงเป็นข้อมูลเชิงตัวเลขที่สอดคล้องกับความสูงของพัลส์ ข้อมูลนี้จะทำหน้าที่กำหนดแอดเดรส ของหน่วยความจำ และทุกครั้งที่การแปลงข้อมูลความสูงของพัลส์ถูกโดยตรงกับตำแหน่งแอดเดรส ของหน่วยความจำนั้น จะมีการบันทึกข้อมูลด้วยการบวกเพิ่มข้อมูลสะสม ณ ตำแหน่งนั้น ข้อมูล จำนวนการกระจายความสูงของพัลส์ที่เก็บไว้บนหน่วยความจำจะมีลักษณะเป็นฮิสโตรแกรม (histogram) (2) และถูกนำไปแสดงผลทางจอภาพด้วยการแปลงข้อมูลเชิงตัวเลขเป็นสัญญาณควบคุม ระบายแกนแนวนอนและตั้งของระบบจอภาพ ดังรูปที่ 2.6 ข. ขั้นตอนการทำงานของระบบจะถูก ควบคุมโดยโปรแกรมในหน่วยความจำถาวรผ่านวงจรควบคุมการทำงานของระบบ

2.2.2 การแปลงความสูงของพัลส์เป็นสัญญาณเชิงตัวเลข

การแปลงความสูงของพัลส์เป็นสัญญาณเชิงตัวเลขเป็นส่วนสำคัญส่วนหนึ่งของอุปกรณ์ วิเคราะห์แบบหลายช่อง วงจรที่ทำหน้าที่ในการแปลงความสูงของพัลส์เป็นสัญญาณเชิงตัวเลข เรียก ว่า "pulse height ADC" ปัจจุบันมีวิธีการแปลงข้อมูลใน 2 ลักษณะ คือ

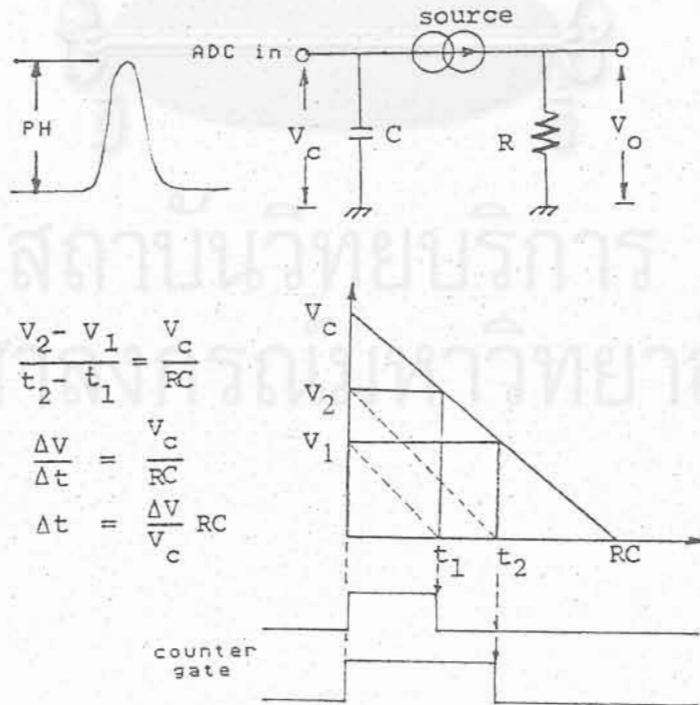
- ก. conventional ADC คือ การแปลงความสูงของพัลส์เป็นเวลาในการเปิด และปิดเกต จำนวนสัญญาณพัลส์จากฐานความถี่ ซึ่งให้ความเป็นเชิงเส้นของ ข้อมูลสูง ได้แก่ ADC แบบ ramp type หรือวิลคินสัน
- ข. constant fraction ADC คือ การแปลงความสูงของพัลส์เป็นรหัสเชิงตัวเลขที่มีเวลาในการแปลงคงที่ มีความไวในการแปลงสูง แต่ความเป็นเชิงเส้นต้องอาศัยเทคนิคปรับแก้ ได้แก่ ADC แบบ successive approximation และ flash type เป็นต้น

ในการออกแบบวงจรแปลงความสูงของพัลส์ที่ต้องการความเป็นเชิงเส้นในการแปลง ข้อมูลเชิงตัวเลขโดยไม่ต้องปรับแก้ความคลาดเคลื่อน จะเลือกการทำงานแบบวิลคินสัน ซึ่งใน ระยะแรกทำงานที่ฐานความถี่ 10 MHz แต่ปัจจุบันสามารถทำงานด้วยความถี่ฐานเวลาสูงถึง 400 MHz ระบบการแปลงสัญญาณพัลส์มีหลักการทำงานดังแผนภาพรูปที่ 2.7



รูปที่ 2.7 แผนภาพการทำงานของวงจรแปลงสัญญาณแบบวิลคินสัน

วิธีการเปลี่ยนความสูงของพัลส์เป็นรหัสไบนารี อาศัยคุณสมบัติการคายประจุของคาปาซิเตอร์ด้วยแหล่งจ่ายกระแสคงที่ (constant current source) ผ่านตัวต้านทาน ดังแสดงในรูปที่ 2.8



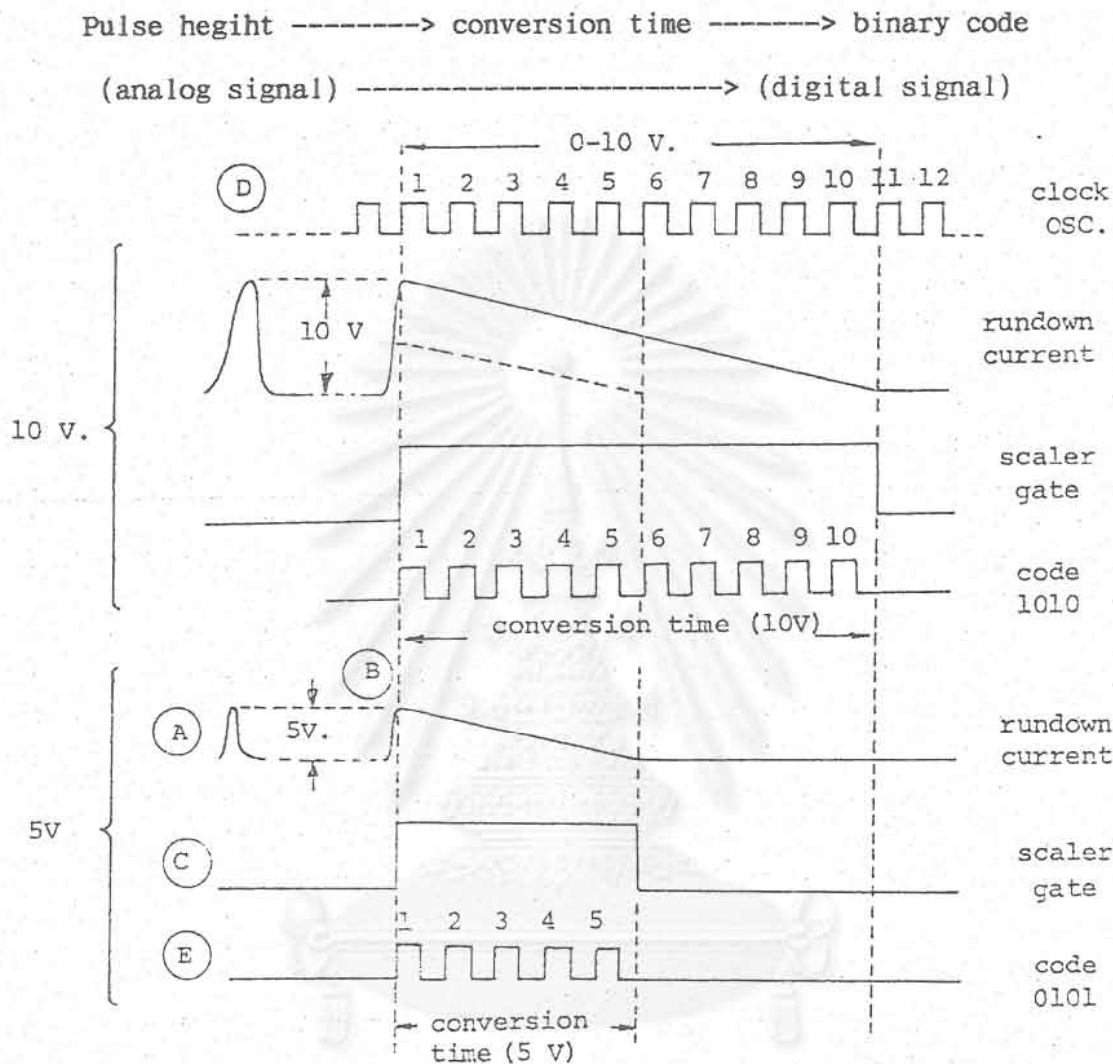
รูปที่ 2.8 การสร้างเวลาการแปลงผัน conversion time ที่ระดับความสูงของพัลส์ต่างกัน

เมื่อคาปาซิเตอร์ในแผนภาพรูปที่ 2.7 ถูกควบคุมให้รับความสูงของพัลส์ที่ตำแหน่งสูงสุด (peak) เท่ากับ V_C และเริ่มคายประจุด้วยค่าเวลาคงที่ RC สม่าเสมอ ผ่านตัวต้านทานตำแหน่งของสัญญาณ V_0 ที่ตัดเส้นศูนย์จะเป็นสัดส่วนระหว่างความสูงของพัลส์ V_1 และ V_2 กับช่วงเวลา t_1 และ t_2 ตามลำดับ ดังในรูปที่ 2.8 ช่วงเวลาที่คายประจุนี้เรียกว่า "run down time หรือเวลาการแปลงผัน (conversion time)" ซึ่งสรุปได้ว่า $t \propto PH$ ถ้าพิจารณาการทำงานของวงจรรูปที่ 2.7 จะมีขั้นตอนดังนี้

1. clock oscillator เป็นต้นกำเนิดความถี่ฐานเวลาคงที่ รอยอยู่ที่ counter gate ขา B ตลอดเวลา (ความไวในการแปลงสัญญาณจะขึ้นกับความถี่ของต้นกำเนิดความถี่ฐานเวลานี้)
2. stretcher capacitor คาปาซิเตอร์นี้จะทำหน้าที่เก็บประจุจนได้ระดับสูงสุดของพัลส์ และจะคายประจุด้วยแหล่งจ่ายกระแสคงที่ โดยระดับของพัลส์ที่เข้ามาถูกตรวจสอบด้วยวงจร peak detect ว่ามีระดับสูงสุด
3. peak detect วงจรนี้จะทำหน้าที่ตรวจสอบระดับสูงสุดของการประจุสัญญาณพัลส์ที่คาปาซิเตอร์ และบังคับการทำงาน 2 ส่วน คือ สั่งให้สวิตช์อิเล็กทรอนิกส์คายประจุ ผ่านวงจรแหล่งจ่ายกระแสคงที่ทำงานพร้อมกับสั่งให้ฟลิป-ฟลอป (flip-flop) เปิดเกิด ระหว่างเวลานี้ counter gate จะถูกเปิด และวงจรมับ ไมนารีจะเริ่มนับความถี่ฐานเวลา
4. zero level detect วงจรนี้จะทำหน้าที่ตรวจสอบระดับการคายประจุของคาปาซิเตอร์ เมื่อถึงเส้นศูนย์ของสัญญาณจะกระตุ้นฟลิป-ฟลอปให้ปิดเกิด วงจรมับไมนารีจะหยุดนับ และค่าข้อมูลสูงสุดที่นับได้ไว้เป็นตำแหน่งแอดเดรสของหน่วยความจำ

หลังจากขั้นตอนการทำงานของวงจร zero level detect วงจรควบคุมการทำงานของอุปกรณ์วิเคราะห์แบบหลายช่องจะทำการกำเนิดสัญญาณ store เพื่อเปิด buffer gate และบอกหน่วยความจำให้ทำการบันทึกข้อมูล ณ ตำแหน่งความสูงของพัลส์ที่ประมวลได้ เมื่อสิ้นสุดการบันทึกข้อมูลจะส่งสัญญาณ clear มาให้วงจรแปลงความสูงของพัลส์เริ่มทำงานใหม่ ถ้าขนาดความสูงของพัลส์ต่างกัน conversion time ก็จะต่างกัน ดังแผนภาพเวลาการแปลงสัญญาณขนาดความสูง 5 โวลต์ และ 10 โวลต์ เปรียบเทียบกันในรูปแบบที่ 2.9

pulse height conversion process

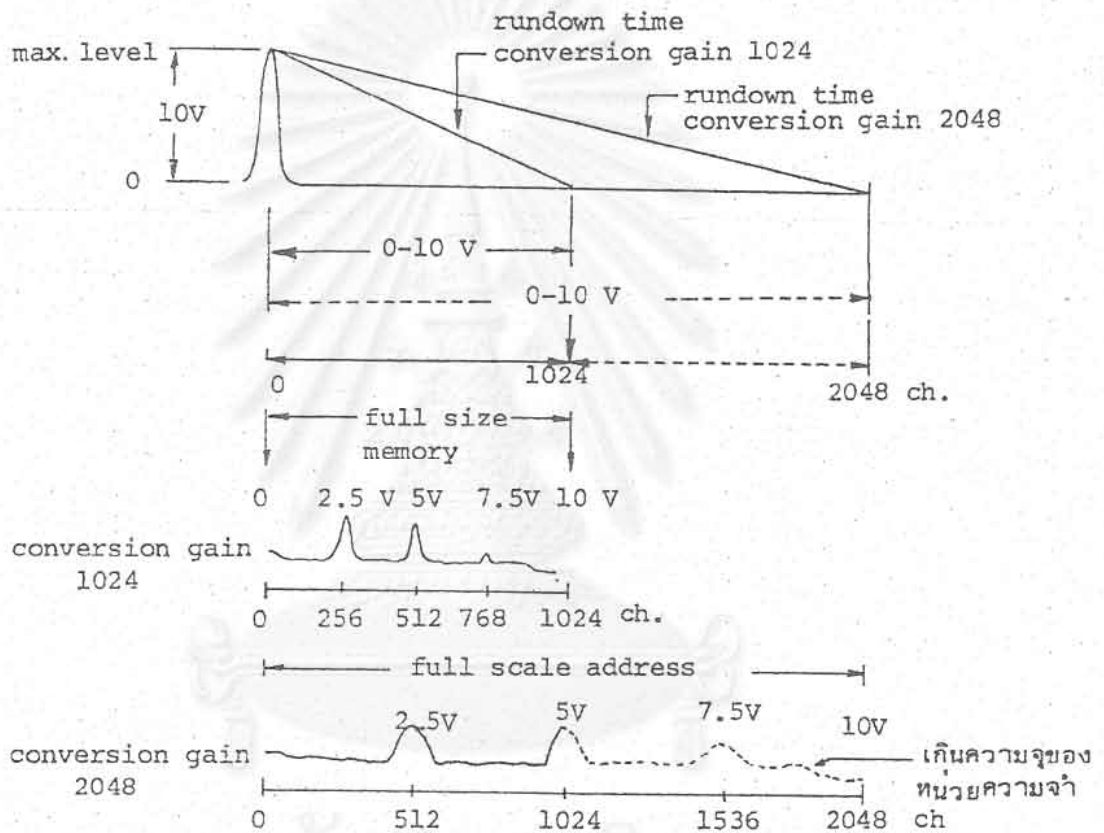


รูปที่ 2.9 แผนภาพเวลาเปรียบเทียบการแปลงความสูงของพัลส์เป็นรหัส
 ไบนารีที่ขนาดสัญญาณ 5 และ 10 โวลต์

2.2.3 เวลาในการแปลงความสูงของพัลส์เป็นสัญญาณเชิงตัวเลข

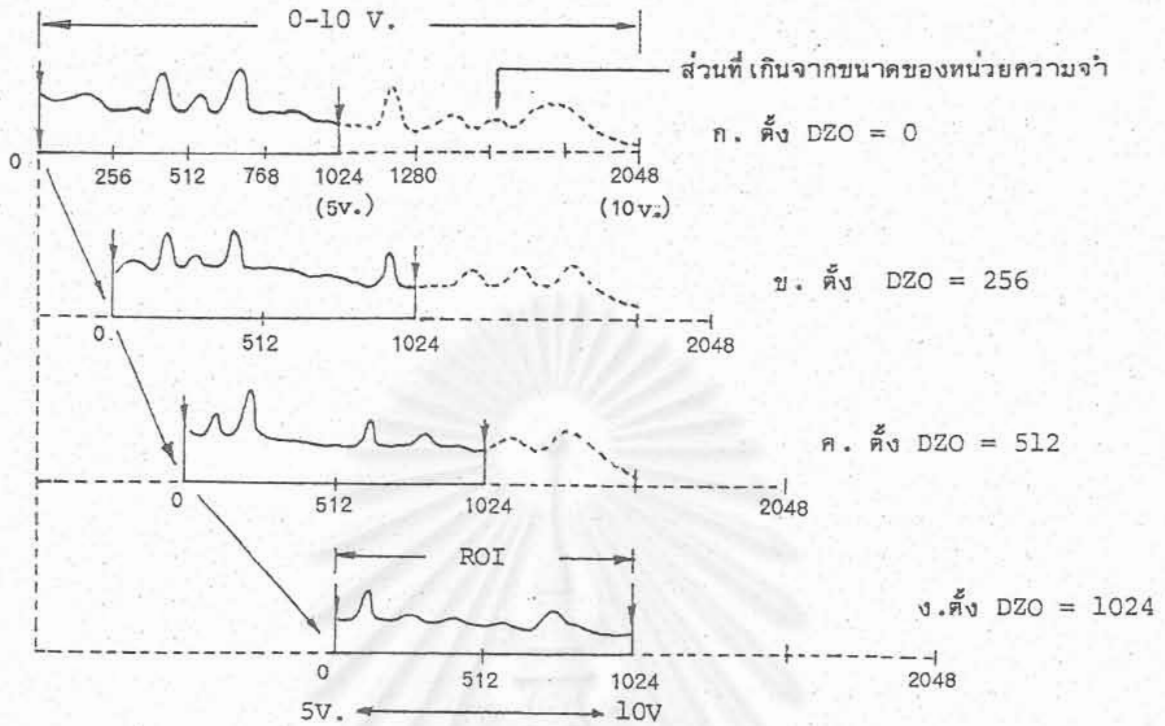
เนื่องจากอุปกรณ์วิเคราะห์แบบหลายช่องจะจัดหน่วยความจำไว้ขนาดหนึ่ง บางกรณี อาจต้องการขยายรายละเอียดเฉพาะส่วนของสเปกตรัมสำหรับหัววัดรังสีที่มีความสามารถในการ แจกแจงพลังงานสูงไว้ที่อยู่นจอภาพ จึงมีการขยายและจัดสัดส่วนของข้อมูลในระบบเชิงตัวเลข เรียกว่า ADC gain หรือ conversion gain และ ADC offset หรือ digital zero offset ตามลำดับ

ก. conversion gain (CG) เป็นการปรับค่าเต็มสเกลของเวลาการแปลงผันให้ขยายออกเป็นสัดส่วนของไบนารี เช่น 1024, 2048 หรือ 4096 เป็นต้น การขยายสัดส่วนนี้ ทำได้โดยการเพิ่มค่าตัวด้านทานในการคายประจุของคาปาซิเตอร์ตำแหน่งสูงสุดของพัลส์จะถูกเปลี่ยนไปตามค่าสูงสุดของเวลาการแปลงผัน ดังแสดงในแผนภาพรูปที่ 2.10



รูปที่ 2.10 แสดงการขยายสเปกตรัมด้วย conversion gain

ข. digital zero offset (DZO) เป็นการปรับฐานการแปลงข้อมูลความสูงเพื่อให้ส่วนของสเปกตรัมความสูงที่ถูกขยายออกด้วย conversion gain เลื่อนเข้ามาอยู่ในตำแหน่งช่องวิเคราะห์ของหน่วยความจำ ซึ่งสามารถเริ่มต้นจาก 0, 256, 512 2^n เป็นต้น การปรับฐานการแปลงความสูงของพัลส์ทำได้โดยการใส่ข้อมูลเริ่มต้น (preset count) ที่วงจรมัลติเพล็กซ์ในรูปที่ 2.7 ดังนั้นเมื่อเริ่มแปลงสัญญาณจำนวนนับที่ต่ำกว่าค่าเริ่มต้นจะถูกนับทิ้งไปและเริ่มฐาน 0 ที่ค่า DZO ซึ่งใส่ไว้ ทำให้สามารถเลื่อนสเปกตรัมส่วนที่ขยายเข้ามาแทนที่และตัดส่วนหน้าของสเปกตรัมทิ้งไปดังแสดงในรูปที่ 2.11



- ก. เมื่อใช้ DZO = 0 ข. DZO = 256
 ค. DZO = 512 และ ง. DZO = 1024

รูปที่ 2.11 การตัดข้อมูลความสูงของพัลส์เพื่อสำรองช่องวิเคราะห์ที่ถูกขยายออกด้วย DZO

ดังนั้นการพิจารณาเวลาในการแปลงสัญญาณของวงจรแปลงสัญญาณแบบวอลคีนสัน นอกจากจะขึ้นกับความถี่ฐานเวลาแล้ว จะต้องนำเวลาที่ใช้ในการปรับตำแหน่งของสเปกตรัมมาคำนวณรวมด้วย สมการทั่วไปของเวลาในการแปลงจะเป็น (3)

$$t_c = k + (1/f)(N+X) \quad \dots\dots\dots (2)$$

- เมื่อ t_c = เวลาในการแปลงผัน (conversion time)
 f = ความถี่ฐานเวลา
 N = ตำแหน่งแอดเดรส
 X = ค่า digital zero offset ที่ตั้งไว้
 k = linear gate time รวมทั้ง memory cycle time

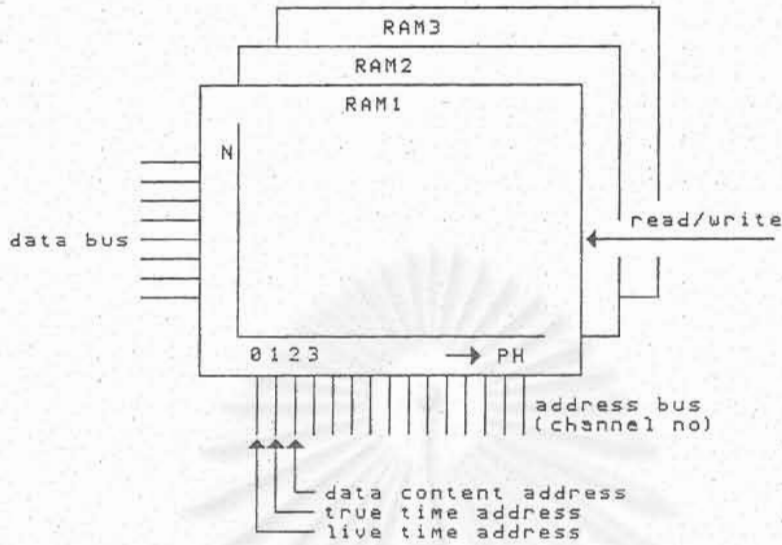
2.2.4 การตั้งเวลานับรังสีในอุปกรณ์วิเคราะห์แบบหลายช่อง

การวิเคราะห์พลังงานของตัวอย่างที่เป็นสารกัมมันตรังสี จะมีการคำนวณทางสถิติ เพื่อหาเวลาในการวัดรังสีที่ทำให้ผลการวัดถูกต้อง เพื่อนำมาตั้งเวลาให้อุปกรณ์วิเคราะห์เรียกว่า "preset time" แต่จากการทำงานของอุปกรณ์วิเคราะห์แบบหลายช่องจะเห็นว่าในส่วนของวงจรแปลงความสูงของพัลส์นั้น หลังจากคาปาซิเตอร์เก็บประจุถึงค่าสูงสุดของพัลส์แล้วระบบการทำงานจะอยู่ในกระบวนการแปลงสัญญาณและบันทึกข้อมูลภายในระบบ เรียกว่า "busy time" ในช่วงเวลานี้จะไม่มีกรวิเคราะห์ความสูงของพัลส์ที่เกิดจากการปลดปล่อยพลังงานของสารกัมมันตรังสีผ่านระบบวัดนิวเคลียร์เลย จึงเรียกช่วงเวลานี้ว่า "dead time" ดังนั้นเพื่อให้อุปกรณ์วิเคราะห์แบบหลายช่อง ได้ทำการวิเคราะห์พลังงานครบเวลาที่ตั้งไว้ จึงมีการปรับแก้เวลาที่สูญหายไปในระบบ มีผลทำให้เวลาทำงานของระบบ (true time) นานออกไป เรียกช่วงเวลานี้ว่า "live time" และเพื่อแสดงเวลาที่สูญหายไปในระบบในการวัดแต่ละครั้ง อุปกรณ์วิเคราะห์ความสูงของพัลส์จึงมีการแสดงค่า % dead time ไว้ที่เครื่องเสมอ ซึ่งความสัมพันธ์ของเวลาทั้งหมดสามารถเขียนเป็นสมการได้ดังนี้

$$\text{true time} = \text{live time} \times \frac{1}{1 - \text{dead time fraction}} \dots\dots(3)$$

2.2.5 หน่วยความจำ

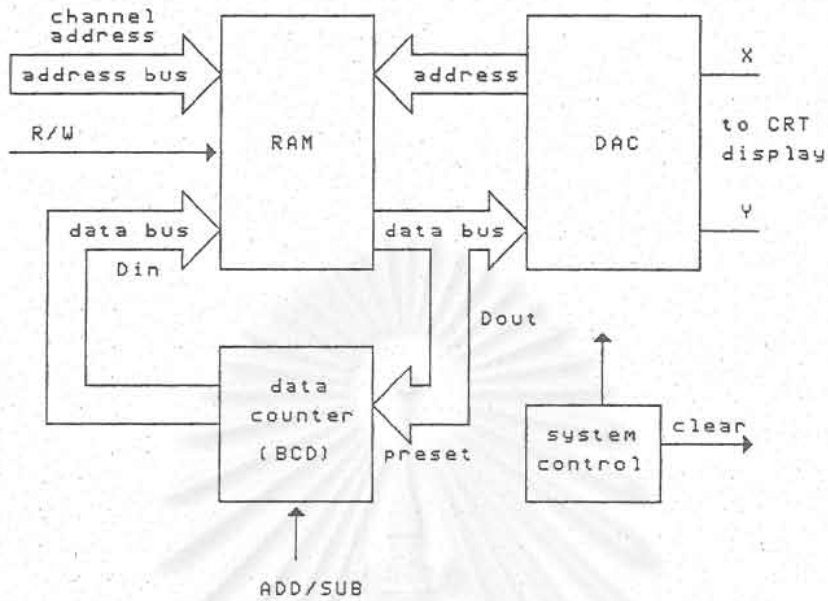
หน่วยความจำเป็นส่วนสำคัญรองลงมาจากวงจรแปลงสัญญาณความสูงของพัลส์ ทำหน้าที่เก็บสะสมข้อมูลการกระจายความสูงของพัลส์ในรูปของฮิสโตรแกรม หรือสเปกตรัม โดยเข้าตำแหน่งแอดเดรสของช่องวิเคราะห์ตั้งแต่ 2 ขึ้นไปถึงตำแหน่งสูงสุด รวมทั้งสะสมเวลาในการวิเคราะห์ในช่องวิเคราะห์ที่ 0 และ 1 ซึ่งอาจจะเป็น live time หรือ true time ขึ้นกับการออกแบบดังในรูปที่ 2.12



รูปที่ 2.12 แสดงการใช้บัสแอดเดรสและบัสข้อมูลในการบันทึกข้อมูลการวิเคราะห์ความสูงของพัลส์

ในรูปที่ 2.13 ความสูงของพัลส์ที่ถูกแปลงเป็นรหัสไบนารี (channel address) จะถูกส่งมายังบัสแอดเดรส เพื่อกำหนดตำแหน่งในการบันทึกข้อมูลหลังได้รับคำสั่ง store ณ ตำแหน่งแอดเดรสนี้ ข้อมูลที่ถูกเก็บไว้เดิมจะถูกอ่าน (read) มาไหลดไว้ที่ data counter และตรวจสอบสถานะของ counter ว่าให้ทำงานที่นับเพิ่มหรือลด (count up/down) ถ้าสถานะเป็นการเก็บสเปกตรัม คือนับเพิ่ม (ADD) วงจรควบคุมจะสั่งให้ counter บวกค่าจากนวนับที่อ่านจากหน่วยความจำเพิ่มไปหนึ่งและเขียน (write) กลับไปยังหน่วยความจำที่ตำแหน่งเดิม

เมื่อสิ้นสุดการทำงานจะส่งสัญญาณ clear ไปยังวงจรแปลงสัญญาณความสูงของพัลส์ ให้เริ่มทำการวิเคราะห์พัลส์ลูกถัดไป ข้อมูลใหม่บนหน่วยความจำจะถูกอ่านโดยส่วนแสดงผลผ่านวงจรแปลงสัญญาณเชิงตัวเลขเป็นสัญญาณอนาล็อก (DAC) เพื่อแสดงผลบนจอภาพ ขนาดของหน่วยความจำที่มีขนาดตั้งแต่ 2^{10} channel (1024 ช่อง, 1 k) ไปจนถึง 2^{13} channel (8192 ช่อง, 8 k) การจะใช้ขนาดของหน่วยความจำมากหรือน้อย ขึ้นกับความสามารถในการแจกแจงพลังงานของหัววัดรังสี (energy resolution)



รูปที่ 2.13 แผนภาพการทำงานของหน่วยความจำ

2.3 รูปแบบของอุปกรณ์วิเคราะห์แบบหลายช่อง

วิวัฒนาการของอุปกรณ์วิเคราะห์แบบหลายช่องในปัจจุบัน ได้ปรับเปลี่ยนไปตามความก้าวหน้าของเทคโนโลยีคอมพิวเตอร์ ประกอบกับกระบวนการผลิตชิ้นส่วนอิเล็กทรอนิกส์ไมโครได้พัฒนาการผลิตวงจรรวม (integrated circuit) ในสเกลเล็ก (SSI) มาเป็นการผลิตวงจรรวมในสเกลใหญ่มาก (VLSI) ทำให้ชิ้นส่วนอิเล็กทรอนิกส์เฉพาะส่วน (discrete component) ขนาดเล็กจำนวนมากและบางส่วนเลิกผลิตไป อุปกรณ์วิเคราะห์แบบหลายช่องที่เคยใช้วงจรรวมอิเล็กทรอนิกส์เฉพาะส่วนๆ มีการทำงานที่ซับซ้อน จึงเปลี่ยนมาเป็นอุปกรณ์วิเคราะห์แบบหลายช่องที่ควบคุมการทำงานด้วยไมโครคอมพิวเตอร์ (microcomputer based MCA) หรือควบคุมด้วยไมโครโปรเซสเซอร์ จากลำดับการพัฒนาของอุปกรณ์วิเคราะห์แบบหลายช่องที่ผ่านมา สามารถจำแนกรูปแบบโครงสร้างของระบบได้เป็น 2 ประเภท คือ

- ก. Stand alone MCA เป็นอุปกรณ์วิเคราะห์ที่ออกแบบมาให้มีระบบการทำงานอิสระด้วยตัวเองรอดๆ เฉพาะหน้าที่ในการวิเคราะห์ความสูงของพัลส์ แบ่งได้เป็น

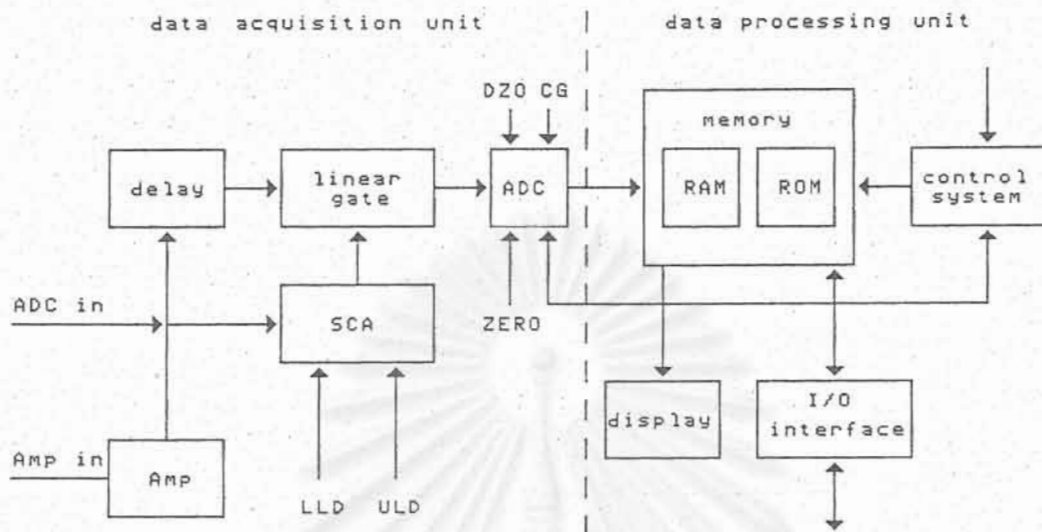
ก.1 แบบวงจรอิเล็กทรอนิกส์เฉพาะส่วน

ก.2 แบบควบคุมการทำงานด้วยไมโครโปรเซสเซอร์

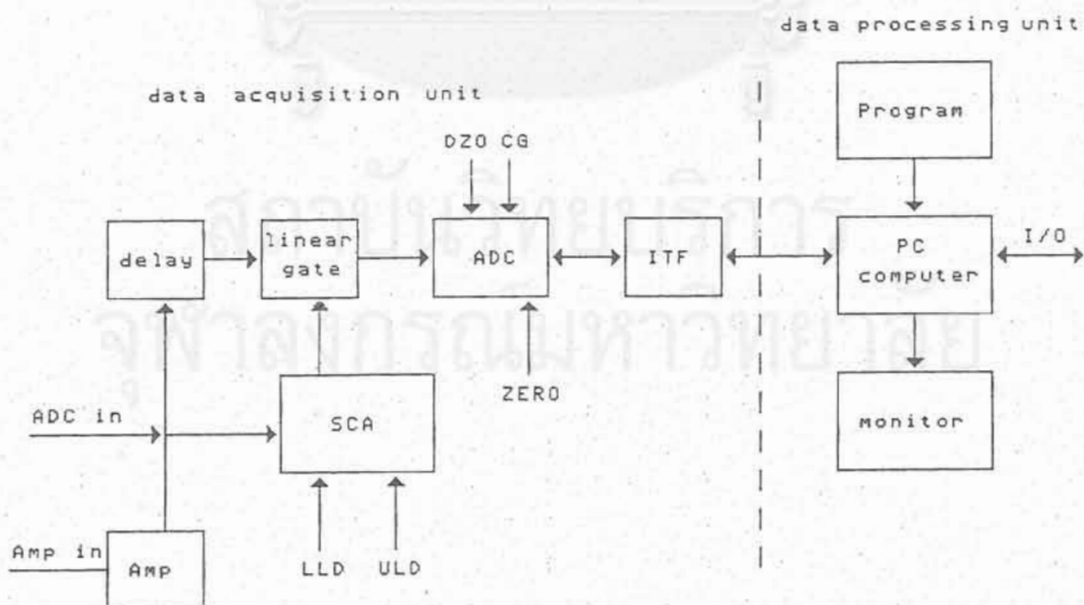
ข. MCA card มีลักษณะเป็นแผงวงจรที่ต้องพึ่งช่องขยายการทำงานของไมโครคอมพิวเตอร์และโปรแกรมสำเร็จรูปในการทำงานเป็นอุปกรณ์วิเคราะห์แบบหลายช่อง

ความแตกต่างของอุปกรณ์วิเคราะห์แบบหลายช่องซึ่งทำงานด้วยวงจรอิเล็กทรอนิกส์เฉพาะส่วน กับแบบที่ควบคุมการทำงานด้วยไมโครคอมพิวเตอร์แสดงในแผนภาพรูปที่ 2.14 และ 2.15 โครงสร้างที่มีรูปแบบต่างไปจากเดิมเป็นส่วนหนึ่งของหน่วยควบคุมกระบวนการข้อมูล (data processing unit) ซึ่งทำหน้าที่รับข้อมูลเชิงตัวเลขมาประมวลเพื่อแสดงสเปกตรัมของพลังงาน สำหรับในส่วนของหน่วยรับข้อมูลมาประมวลผล (data acquisition unit) ยังคงเหมือนเดิม เพียงแต่เพิ่มวงจรเชื่อมต่อสัญญาณ (Interface : ITF) ระหว่าง ADC และ I/O port เพื่อนำข้อมูลผ่านเข้าทางช่องขยายการทำงานของไมโครคอมพิวเตอร์เท่านั้น การทำงานของอุปกรณ์วิเคราะห์แบบหลายช่องระบบที่ใช้วงจรอิเล็กทรอนิกส์ล้วน จะทำงานตามลำดับขั้นที่กำหนดไว้ว่า ROM ไม่สามารถข้ามขั้นตอนได้ ทำให้มีความล่าช้าและไม่ยืดหยุ่นต่อการใช้งาน ในขณะที่อุปกรณ์วิเคราะห์แบบหลายช่องที่ควบคุมการทำงานด้วยไมโครคอมพิวเตอร์ สามารถลดการใช้วงจรอิเล็กทรอนิกส์ในส่วนของ data processing unit ไปทั้งหมด และสามารถออกแบบโปรแกรมสนับสนุนให้ทำงานได้อย่างกว้างขวางทั้งเทคนิคในการเก็บข้อมูล แสดงผล คำนวณผล ตลอดจนการติดต่ออุปกรณ์ภายนอกได้อย่างคล่องตัว

สถาบันวิทยบริการ
จุฬาลงกรณ์มหาวิทยาลัย



รูปที่ 2.14 แผนภาพการทำงานของอุปกรณ์วิเคราะห์แบบหลายช่องที่ใช้ระบบการทำงานแบบวงจรรีเลอีทรอนิกส์เฉพาะส่วน



รูปที่ 2.15 แผนภาพการทำงานของอุปกรณ์วิเคราะห์แบบหลายช่องที่ใช้ระบบการควบคุมด้วยไมโครคอมพิวเตอร์

บทที่ 3

การพัฒนาอุปกรณ์วิเคราะห์แบบหลายช่อง

อุปกรณ์วิเคราะห์แบบหลายช่องที่ต้องการพัฒนาขึ้นนี้เป็นแบบ stand alone ซึ่งสามารถพัฒนาได้ใน 2 แนวทางตามหลักการพื้นฐาน คือ ในรูปแบบของการาช่วงจรอิเล็กทรอนิกส์เฉพาะล้วนและแบบใช้ไมโครโปรเซสเซอร์ หรือไมโครคอมพิวเตอร์ควบคุมการทำงานของระบบ ดังที่กล่าวถึงในข้อ 2.3 ในระยะแรกผู้วิจัยได้เริ่มต้นในแนวทางของการาช่วงจรอิเล็กทรอนิกส์เฉพาะล้วน พบปัญหาและอุปสรรคในการพัฒนาส่วนต่างๆมาก โดยเฉพาะการเปลี่ยนแปลงด้านวงจรอิเล็กทรอนิกส์ไมโครอื่นเนื่องมาจากความก้าวหน้าทางเทคโนโลยีการผลิต มีการเลิกผลิตวงจรที่มีขนาดเล็กบางส่วนลง ทำให้ไม่สามารถจัดหาชิ้นส่วนที่ต้องการได้ รวมทั้งการพัฒนาแผ่นพิมพ์วงจรแบบเพลตทรูโฮล (plated through hole) นั้นต้องพึ่งพาอาศัยบริษัทเอกชน ซึ่งยังไม่มีเทคนิคที่ทำได้คุณภาพดีเท่าในปัจจุบันและมีราคาสูงมาก ช่วงเวลาที่ผ่านมาจากปัญหาและอุปสรรคด้านเวลาตลอดจนการจัดหาชิ้นส่วนอุปกรณ์ หลังจากงานพัฒนาล่าช้าไป 3-4 ปี เทคโนโลยีด้านเครื่องมือวิทยาศาสตร์ได้เปลี่ยนรูปแบบเป็นการใช้เทคนิคทางคอมพิวเตอร์ควบคุมการทำงานของเครื่องมือทั้งหมดเพื่อลดการาช่วงจรอิเล็กทรอนิกส์ที่เป็นฮาร์ดแวร์ (hardware) ลงไป เพิ่มการทำงานด้วยซอฟต์แวร์ (software) ซึ่งมีความยืดหยุ่นต่อการพัฒนาระบบมากขึ้น ผู้วิจัยจึงจำเป็นต้องเปลี่ยนแนวทางการพัฒนาอุปกรณ์วิเคราะห์แบบหลายช่องแบบาช่วงจรอิเล็กทรอนิกส์เฉพาะล้วนที่มีราคาสูงและมีแนวโน้มที่จะหาอุปกรณ์และชิ้นส่วนภายในประเทศยาก มาเป็นอุปกรณ์วิเคราะห์แบบหลายช่อง ซึ่งควบคุมการทำงานด้วยไมโครคอมพิวเตอร์ดังรายละเอียดของการดำเนินงานต่อไปนี้

3.1 ข้อมูลพื้นฐานในการออกแบบและสร้าง

- 1) อุปกรณ์วิเคราะห์ที่ต้องการามีส่วนขยายสัญญาณพัลส์และแหล่งจ่ายไฟฟ้าศักดาสูงสำหรับใช้กับหัววัดรังสีชนิดพรอพอร์ชันแนลและชนิดเรืองรังสีได้โดยตรง
- 2) ส่วนขยายสัญญาณพัลส์ มีโครงสร้างรวมแบบ preamplifier/amplifier โดยภาคขยายส่วนหน้าเป็นแบบ charge sensitive และภาคขยายหลักสามารถขยายสัญญาณพัลส์ได้อย่างเป็นสัดส่วนเชิงเส้นในช่วง 0 ถึง 10 โวลต์
- 3) แหล่งจ่ายไฟฟ้าศักดาสูงจะต้องปรับศักดาไฟฟ้าได้จาก 0-2000 โวลต์ จ่ายกระแสได้สูงสุด 100 ไมโครแอมแปร์

4) ส่วนวิเคราะห์พลังงานแบบช่องเดี่ยว (SCA) สามารถเลือกช่องวิเคราะห์พลังงานได้ โดยปรับระดับศักดาอ้างอิงด้านล่าง (LLD) และด้านบน (ULD) ในช่วงศักดาไฟฟ้า 0-10 โวลต์

5) ส่วนแปลงสัญญาณพัลส์นอกเป็นสัญญาณเชิงตัวเลข (ADC) ใช้ความถี่ฐานเวลาขนาด 50 MHz โดยแปลงเป็นรหัสไบนารี (binary code) ขนาด 10 บิต เพื่อสอดคล้องกับขนาดของ หน่วยความจำ และสามารถปรับค่า CG ได้จาก 512, 1024 และ 2048 และ DZO ปรับได้จาก 0, 256, 512, 768, 1024, 1280 1536, 1792

6) หน่วยความจำมีขนาดไม่น้อยกว่า 1 กิโลบิต เพื่อกำหนดช่องวิเคราะห์ความสูงของพัลส์ ไม่น้อยกว่า 1024 ช่อง แต่ละช่องสามารถบันทึกข้อมูลนับรังสีได้อย่างน้อย 10^6-1 จำนวนนับ และสามารถหักลบข้อมูลแบรคกราวนด์ (back ground) ได้

7) ส่วนควบคุมเวลาวิเคราะห์ความสูงของพัลส์ สามารถตั้งเวลาได้ไม่น้อยกว่า 9×10^4 วินาที โดยเลือกการทำงานได้ทั้งแบบ real time และ live time

8) ส่วนแสดงผล (display) สามารถแสดงเส้นกราฟของสเปกตรัมและรายละเอียดของข้อมูลช่องวิเคราะห์ จำนวนนับรังสี ผลรวมพื้นที่ใต้พิภพพลังงาน และค่า dead time

9) ส่วนเชื่อมโยงสัญญาณ สามารถติดต่อกับอุปกรณ์ภายนอก ได้แก่ เครื่องพิมพ์ เครื่องเขียนกราฟ และระบบเก็บข้อมูลภายนอก

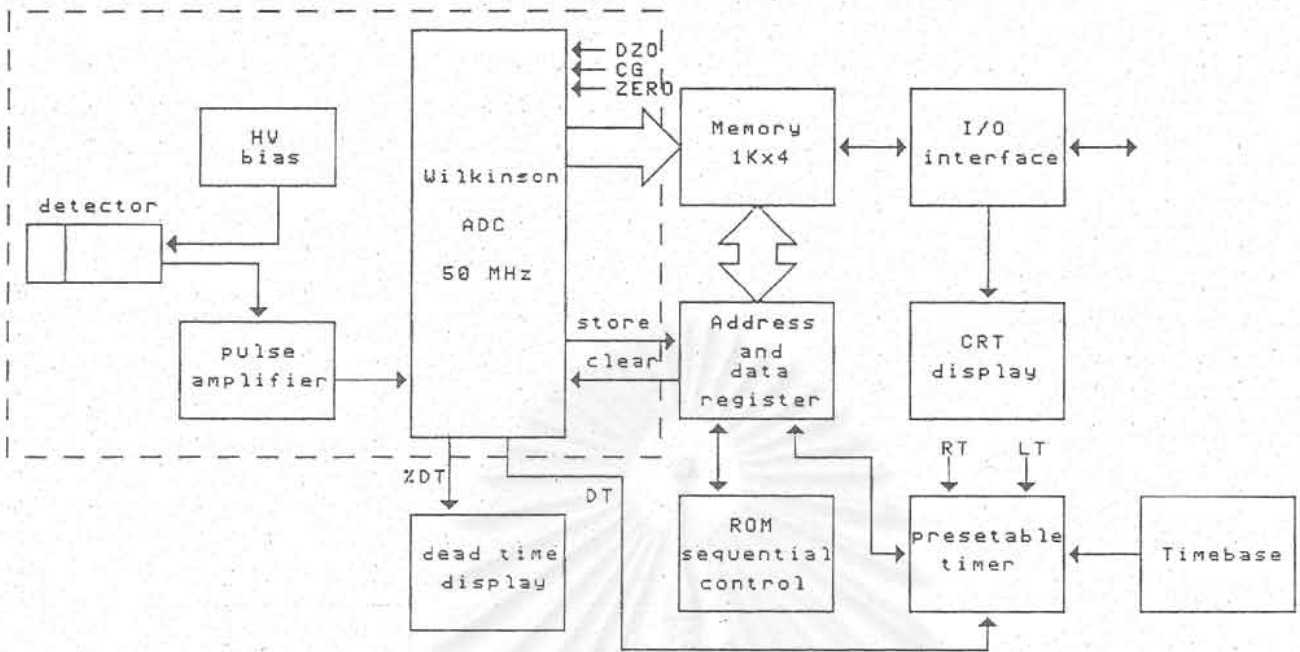
3.2 การออกแบบอุปกรณ์วิเคราะห์แบบหลายช่องชนิดาซิงจรอเล็กทรอนิกส์เฉพาะส่วน

3.2.1 โครงสร้างของระบบที่เริ่มพัฒนา

อุปกรณ์วิเคราะห์ความสูงของพัลส์ที่ออกแบบขึ้นครั้งแรก ประกอบด้วยวงจรอเล็กทรอนิกส์ซึ่งใช้ชิ้นส่วนอิเล็กทรอนิกส์เฉพาะส่วนหลายส่วน ดังแสดงในแผนภาพรูปที่ 3.1 ได้แก่

ก. ระบบวัดส่วนหน้า ประกอบด้วยอุปกรณ์ย่อยคือ แหล่งจ่ายไฟฟ้าศักดาสูง ปรับค่าศักดาได้ 0-2000 โวลต์ และภาคขยายสัญญาณพัลส์ซึ่งสามารถขยายความสูงของพัลส์ได้ในช่วง 0-10 โวลต์

ข. ระบบแปลงสัญญาณพัลส์นอกเป็นสัญญาณเชิงตัวเลข ซึ่งใช้หลักการของ วิลคินสัน มีความถี่ฐานเวลาขนาด 50 MHz สร้างสัญญาณตามแหล่งช่องวิเคราะห์ขนาด 10 บิต มีสัญญาณ store เป็นสัญญาณหลักในการขยับข้อมูลต่อระบบควบคุม และรับสัญญาณ clear เพื่อควบคุมการเริ่มต้นแปลงสัญญาณ



รูปที่ 3.1 แผนภาพของอุปกรณ์วิเคราะห์แบบหลายช่องชนิดาช่วงจรอิเล็กทรอนิกส์เฉพาะส่วน

ค. หน่วยความจำ ใช้ static RAM ขนาด $1k \times 4$ bit จัดเป็นชุดบันทึกข้อมูลโดยรับข้อมูลบัสแอดเดรสจาก ADC และรับข้อมูลนับรังสีรหัส BCD จากระบบควบคุมการบันทึกข้อมูล (address and data register) ขนาดความจุ 10^6-1 จำนวนนับต่อช่องวิเคราะห์

ง. ระบบควบคุมการบันทึกข้อมูล ทำหน้าที่รับสัญญาณจาก ADC เพื่อควบคุมการเก็บข้อมูลทางบัสข้อมูลและบัสแอดเดรส รวมทั้งจัดลำดับขั้นการทำงานให้สอดคล้องกับการแสดงผลการรวมจำนวนนับบนพื้นที่วัดพิคพลังงาน

จ. ระบบควบคุมลำดับขั้นการทำงานของระบบ (ROM sequential control) เป็นระบบที่ออกแบบสำหรับควบคุมลำดับขั้นการทำงานของวงจรต่างๆของระบบวิเคราะห์ โดยเก็บลำดับขั้นต่างๆไว้คล้ายโปรแกรมในหน่วยความจำถาวร

ฉ. ระบบตั้งเวลาวิเคราะห์ความสูงของพัลส์ ประกอบด้วยวงจรเปรียบเทียบปริมาณเชิงตัวเลขและวงจรถ่ายความถี่ฐานเวลา สามารถเลือกตั้งเวลาวิเคราะห์ในแบบ real time และ live time และเก็บข้อมูลเวลาที่ตำแหน่งช่องวิเคราะห์หมายเลข 0

ช. ระบบแสดงผล ประกอบด้วย วงจรควบคุมการเขียนเส้นกราฟบนจอ CRT เพื่อแสดงสเปกตรัมความสูงของพัลส์ พร้อมทั้งตัวอักษรแสดงช่องวิเคราะห์ ปริมาณนับรังสีและผลรวมของปริมาณนับบนพื้นที่วัดพิค อีกส่วนหนึ่งเป็นมิเตอร์เข็มแสดงค่าร้อยละของเดดไทม์

ข. ระบบเชื่อมโยงสัญญาณ เป็นระบบควบคุมการผ่านเข้าออกของข้อมูลเชิงตัวเลข ทั้งตำแหน่งช่องวิเคราะห์ ปริมาณนับรังสี และข้อความปงซึ่งข้อมูลเฉพาะ ระหว่างหน่วยความจำและอุปกรณ์ภายนอก

การทำงานของระบบ เริ่มจากหัววัดรังสีที่ได้รับการไบอัสไฟฟ้าศักดาสูงจะเปลี่ยนพลังงานของรังสีที่ตกกระทบหัววัดให้เป็นสัญญาณพัลส์ขนาด เล็กที่มีสัดส่วนสัมพันธ์กับระดับพลังงาน ภาคขยายสัญญาณจะขยายสัญญาณให้มีขนาดสูงขึ้นในช่วงการแปรเปลี่ยน 0-10 โวลต์ โดยสัญญาณพัลส์จะได้รับการแต่งรูป เพื่อให้ได้อัตราส่วนสัญญาณต่อสิ่งรบกวน (S/N) สูงตามหลักการสเปกโตรสโคปี (spectroscopy) สัญญาณพัลส์ที่ส่งให้ระบบแปลงสัญญาณจะถูกแปลงข้อมูลตามกระบวนการของวิลคินสัน สร้างข้อมูลเชิงตัวเลขขนาด 10 บิต ที่มีสัดส่วนสัมพันธ์กับความสูงของพัลส์ เมื่อสิ้นสุดการแปลงสัญญาณวงจรภายในจะสร้างสัญญาณ store ส่งให้กับระบบควบคุมการบันทึกข้อมูล และระบบควบคุมการบันทึกข้อมูลจะใช้ข้อมูลเชิงตัวเลขที่ ADC แปลงกำหนดตำแหน่งช่องวิเคราะห์ โดยใช้อย่างตำแหน่งบนบัตแอดเดรส เริ่มอ่าน (read) ข้อมูลจำนวนนับเดิมของช่องวิเคราะห์ในหน่วยความจำมาเก็บไว้ใน register พร้อมทั้งบวกข้อมูลในระบบ BCD เพิ่มขึ้น 1 ครั้ง และส่งกลับไบเขียน (write) ไว้ในตำแหน่งของหน่วยความจำเดิม เป็นการเพิ่มข้อมูล เมื่อสิ้นสุดการบันทึกข้อมูล ระบบแสดงผลจะอ่านข้อมูลใหม่บนหน่วยความจำแสดงผลบนจอ รวมทั้งตรวจสอบข้อมูลการรวมปริมาณนับรังสีบนพื้นที่ได้พิด ตลอดจนตรวจสอบเวลานับรังสีที่ตั้งไว้ ขั้นตอนเหล่านี้จะถูกควบคุมโดยตรงจากระบบควบคุมลำดับขั้นการทำงานของระบบ เมื่อยังอยู่ในช่วงเวลาวิเคราะห์พลังงาน เมื่อจบขั้นตอนทางการบันทึกปริมาณนับรังสี ระบบควบคุมการบันทึกข้อมูลจะส่งสัญญาณ clear ออกไปเริ่มต้นการทำงานของ ADC เป็นวงรอบต่อเนื่อง จนกว่าจะสิ้นสุดเวลาวิเคราะห์หรือยกเลิกการทำงาน ช่วงเวลาวัดรังสีทุก 1วินาที จะถูกบันทึกที่ช่องวิเคราะห์ตำแหน่งที่ศูนย์และสัญญาณพัลส์ของช่วงเวลาการแปลงสัญญาณ จะถูกแปลงเป็นค่าเฉลี่ยศักดาไฟฟ้าแสดงผลเป็นค่าร้อยละของเดคิมาท์ด้วยมิเตอร์ เข็ม

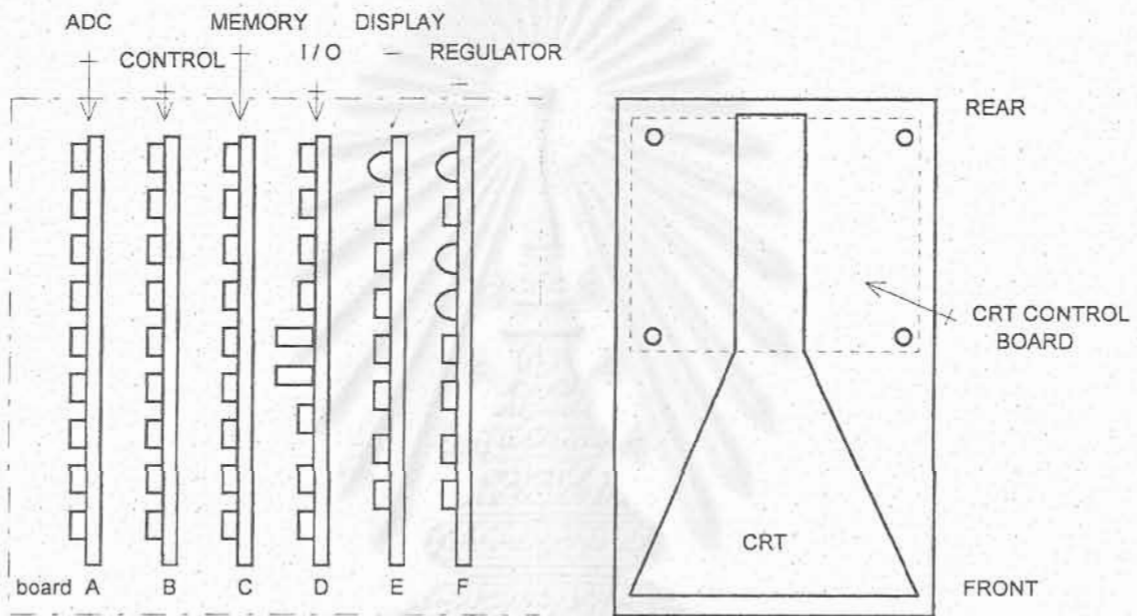
3.2.2 การวางแผนประกอบ เครื่องต้นแบบที่ใช้วงจรอิเล็กทรอนิกส์เฉพาะส่วน

จากโครงสร้างของวงจรต่างๆ ได้จัดแบ่งวงจรเพื่อให้ที่อยู่บนวงจรแผ่นพิมพ์ได้ 6 แผ่น ได้แก่

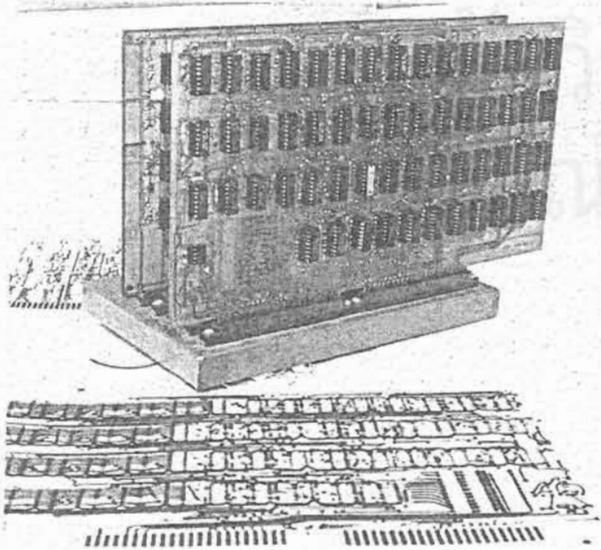
1. แผ่นวงจรแปลงสัญญาณ (ADC board)
2. แผ่นวงจรควบคุมการทำงานของระบบ (control board)
3. แผ่นวงจรหน่วยความจำ (memory board)
4. แผ่นวงจรเชื่อมโยงสัญญาณ (I/O board)

- 5. แผงวงจรแสดงผล (display board)
- 6. แผงวงจรควบคุมไฟฟ้าสัปดาห์ (regulator board)

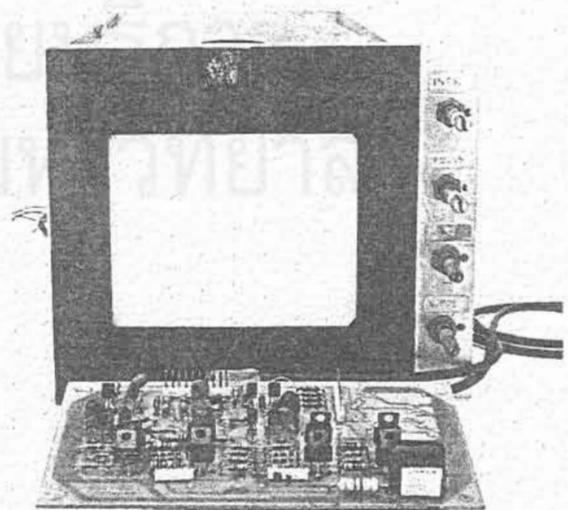
นอกจากนี้ยังมีส่วนของแหล่งจ่ายไฟฟ้าสัปดาห์ แผงวงจรควบคุมด้านหน้าและด้านหลัง รวมทั้งส่วนแสดงผลซึ่งอยู่ในขั้นตอนการออกแบบไว้



รูปที่ 3.2 การจัดวางแผงวงจรภายในโครงแทนเครื่อง



รูปที่ 3.3 แผงวงจรที่พัฒนาแล้วบางส่วนบนโครงแทนเครื่อง



รูปที่ 3.4 ส่วนแสดงผลบนจอ CRT ที่พัฒนาขึ้น

ในรูปที่ 3.3 และ 3.4 แสดงต้นแบบอุปกรณ์วิเคราะห์แบบหลายช่องที่ได้พัฒนาไว้ถึงระดับหนึ่งและได้พบอุปสรรคมากในการจัดหาชิ้นส่วน อุปกรณ์สวิตซ์ขนาดเล็กลงๆ ตลอดจนการออกแบบและสร้างแผ่นพิมพ์วงจรซึ่งมีแผ่นใหญ่มาก (18x31 ซม.) จำนวน 6 แผ่น เนื่องจากการพัฒนาในรูปแบบที่เป็นวงจรอิเล็กทรอนิกส์เฉพาะส่วนจะต้องสร้างระบบเองทุกอย่าง แม้กระทั่งวงจรควบคุมจอแสดงผล ทาทำงานออกแบบและสร้างเป็นไปด้วยปัญหาทำให้เกิดความล่าช้า สิ้นเปลืองค่าใช้จ่ายสูง คาดว่าในอนาคตจะไม่สามารถหาชิ้นส่วนที่ใช้พัฒนาต้นแบบในระยะแรกนี้ได้ โดยเฉพาะวงจรถอดขนาดเล็กลงหายไปจากตลาดอิเล็กทรอนิกส์ในประเทศ และมีวงจรไมโครใหม่ซึ่งต้องใช้กระบวนการโปรแกรมกำหนดเกิดต่างๆลงไป คือวงจรไมโครประเภท PAL (programmable array logic) ซึ่งยุ่งยากในการจัดประกอบในอนาคต และประกันไม่ได้ว่าจะอยู่ในตลาดอิเล็กทรอนิกส์ในประเทศนานมากนักทีเดียว เมื่อเทคโนโลยีคอมพิวเตอร์มีบทบาทในการทำงานแทนวงจรถอดขนาดใหญ่อุปกรณ์ใช้โปรแกรมควบคุมขั้นตอนเลียนแบบการทำงานของวงจรถอดอิเล็กทรอนิกส์จากกรวิเคราะห์ข้อมูลต่างๆ ระหว่างการพัฒนาในระยะแรกดังกล่าวมาแล้วนั้น จึงทำให้ผู้วิจัยจำเป็นต้องเปลี่ยนแนวทางมาเป็นการใช้ไมโครคอมพิวเตอร์ ซึ่งมีราคาประหยัดในปัจจุบัน ควบคุมการทำงานของระบบวิเคราะห์แบบหลายช่องแทนวงจรถอดอิเล็กทรอนิกส์เฉพาะส่วนที่ซับซ้อน

3.3 การออกแบบอุปกรณ์วิเคราะห์แบบหลายช่องควบคุมการทำงานด้วยไมโครคอมพิวเตอร์

การออกแบบอุปกรณ์วิเคราะห์แบบหลายช่องควบคุมการทำงานด้วยไมโครคอมพิวเตอร์นี้ เป็นเพียงการปรับแนวทางในการพัฒนาอุปกรณ์วิเคราะห์แบบหลายช่อง โดยยังอาศัยข้อมูลออกแบบพื้นฐานในข้อ 3.1 เดิม ใช้โปรแกรมควบคุมขั้นตอนการวิเคราะห์ความสูงของพัลส์แทนการทำงานของวงจรถอดอิเล็กทรอนิกส์ขนาดใหญ่ และเพิ่มโปรแกรมสนับสนุนการใช้งาน รูปแบบการแสดงผลของสเปกตรัม รายละเอียดคำสั่งให้ระบบทำงานบนจอภาพ และการพิมพ์ผลวิเคราะห์ ดังนั้นการออกแบบและสร้างอุปกรณ์วิเคราะห์ในรูปแบบนี้ จึงแบ่งการพัฒนาออกเป็น 2 ส่วนคือ

ก. การออกแบบส่วนของฮาร์ดแวร์ (hardware) แบ่งออกเป็นสองส่วนย่อย 2 ส่วน คือ

ก.1 ระบบวัดส่วนหน้าและระบบแปลงสัญญาณ ทั้งสองระบบนี้ออกแบบให้มีขนาดของแผ่นวงจร สามารถบรรจุในโครงบรรจุโมดูลอิเล็กทรอนิกส์มาตรฐาน EURO card⁽⁴⁾ ซึ่งสามารถสับเปลี่ยนโมดูลเมื่อต้องการบำรุงรักษา หรือพัฒนาการทำงานของระบบวัดและระบบแปลงสัญญาณใหม่ได้โดยอิสระ

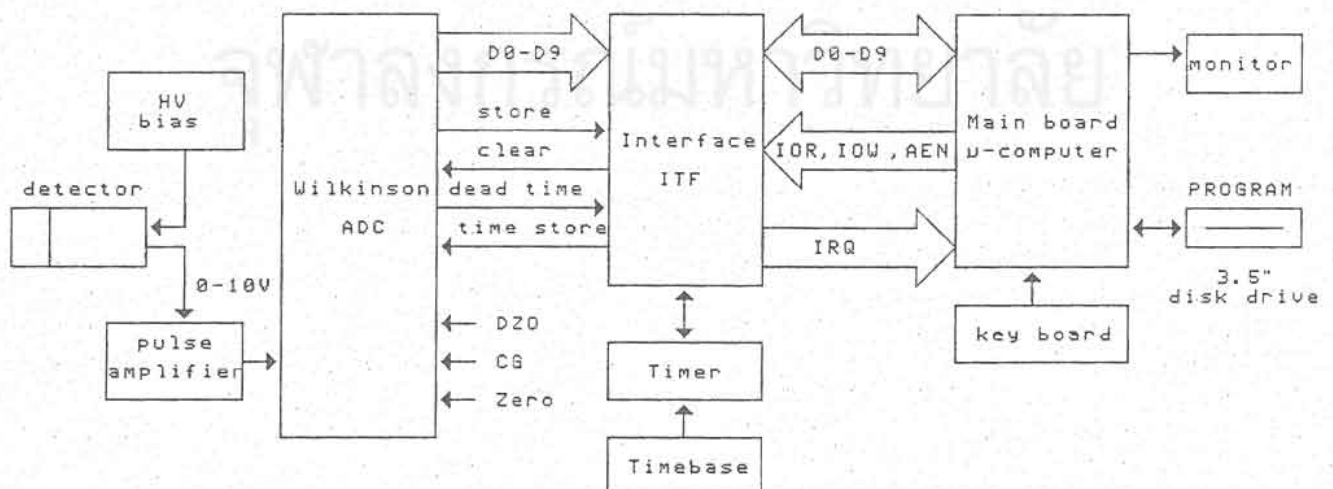
ก.2 ระบบเชื่อมโยงสัญญาณ ออกแบบให้สามารถติดต่อกับช่องขยายการทำงานขนาด 8 บิต (XT slot)(5)บนแผ่นวงจรหลัก (main board) ของไมโครคอมพิวเตอร์ IBM PC XT/AT หรือแผ่นวงจรหลักของไมโครคอมพิวเตอร์ที่มีสมรรถนะใกล้เคียงกัน ด้วยลักษณะการทำงานแบบ interrupt service routine I/O (6) ำหรับสัญญาณเชิงตัวเลขจากระบบแปลงสัญญาณ เพื่อกำหนดตำแหน่งช่องวิเคราะห์ความสูงของพัลส์ และส่งสัญญาณควบคุมขั้นตอนการทำงานภายในระบบ

ข. การออกแบบส่วนของซอฟต์แวร์ (software) หรือส่วนของโปรแกรม ออกแบบให้สามารถควบคุมการติดต่อระหว่างระบบแปลงสัญญาณและไมโครคอมพิวเตอร์ เพื่อรับส่งข้อมูลทางพอร์ตทางเข้าและออกบนช่องขยายการทำงานและรายงานผลการวิเคราะห์ทางจอภาพโมโนโครม (monochrome) โดยใช้พื้นที่แรมถ่ายข้อมูลของหน่วยความจำบนไมโครคอมพิวเตอร์บริเวณ prototype card (บริเวณตำแหน่ง 710H - 71FH) โปรแกรมที่ออกแบบเขียนด้วยภาษาเบสิกและแอสเซมบลี แบ่งได้เป็น

ข.1 โปรแกรมหลัก (main program) ได้แก่ โปรแกรมที่ทำหน้าที่จัดการเริ่มต้นทำงานของระบบ (set up) แสดงสเปกตรัม ตรวจสอบการกดแป้นพิมพ์ และควบคุมการทำงานของวงจรวินิจฉัยอิเล็กทรอนิกส์ย่อยในระบบเชื่อมโยงสัญญาณ

ข.2 โปรแกรมย่อย (sub program) เป็นโปรแกรมที่ทำหน้าที่อ่านข้อมูลเชิงตัวเลขจากระบบแปลงสัญญาณ เมื่อมีคำสั่ง store ส่งมายังไมโครคอมพิวเตอร์

3.3.1 โครงสร้างของระบบวิเคราะห์ที่ควบคุมการทำงานด้วยไมโครคอมพิวเตอร์

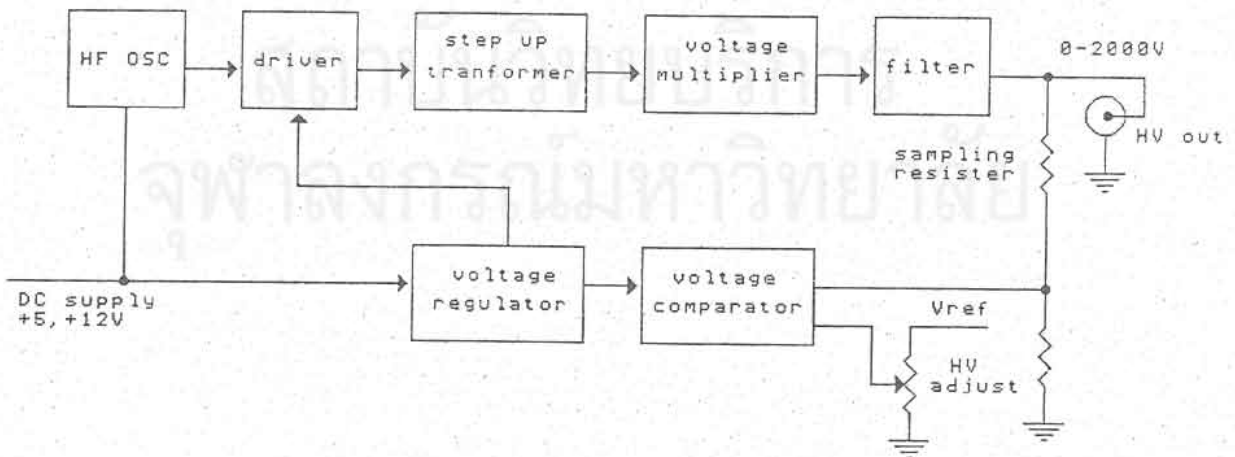


รูปที่ 3.5 แผนภาพของอุปกรณ์วิเคราะห์แบบหลายช่องควบคุมด้วยไมโครคอมพิวเตอร์

อุปกรณ์วิเคราะห์แบบหลายช่องควบคุมการทำงานด้วยไมโครคอมพิวเตอร์ที่ออกแบบขึ้นประกอบด้วยส่วนสำคัญ 4 ส่วน คือ ระบบวัดนิวเคลียร์ ระบบแปลงสัญญาณ (ADC) ระบบเชื่อมโยงสัญญาณ และไมโครคอมพิวเตอร์ ดังแสดงการทำงานในรูปที่ 3.5 แหล่งจ่ายไฟฟ้าศักดาสูงสำหรับไบอัสหัววัดรังสีสามารถปรับค่าได้จาก 0 ถึง 2000 โวลต์ ที่กระแส 100 ไมโครแอมแปร์ และอุปกรณ์ขยายสัญญาณพัลส์สามารถปรับอัตราขยายได้ต่อเนื่อง 100 เท่า ซึ่งจัดวิธีการปรับแบบอัตราลดทอนสัญญาณ 1:20 เพื่อปรับขนาดความสูงของพัลส์พลังงานให้ได้สัดส่วนกับตำแหน่งของช่องวัดที่ต้องการ สัญญาณพัลส์ทางออกจากอุปกรณ์ขยายสัญญาณจะส่งเข้าระบบแปลงสัญญาณ เพื่อแปลงความสูงของพัลส์อนาลอกเป็นรหัสไบนารีขนาด 10 บิต โดยไมโครคอมพิวเตอร์จะทำหน้าที่ควบคุมขั้นตอนการประมวลผลตามลำดับขั้นการวิเคราะห์ความสูงของพัลส์และบันทึกผลวิเคราะห์ความสูงของพัลส์ในหน่วยความจำที่ตำแหน่งแอดเดรส ซึ่งกำหนดเป็นช่องวิเคราะห์ต่างๆตามเวลานับรังสีที่ตั้งไว้ การทำงานของระบบวิเคราะห์และไมโครคอมพิวเตอร์จะถูกควบคุมด้วยสัญญาณที่กำเนิดจากโปรแกรมผ่านทางระบบเชื่อมโยงสัญญาณ นอกจากนี้ยังมีโปรแกรมสำหรับควบคุมการใส่ข้อมูลก่อนวิเคราะห์ การแสดงสเปกตรัม และค่าวิเคราะห์ รวมทั้งการพิมพ์ผลวิเคราะห์

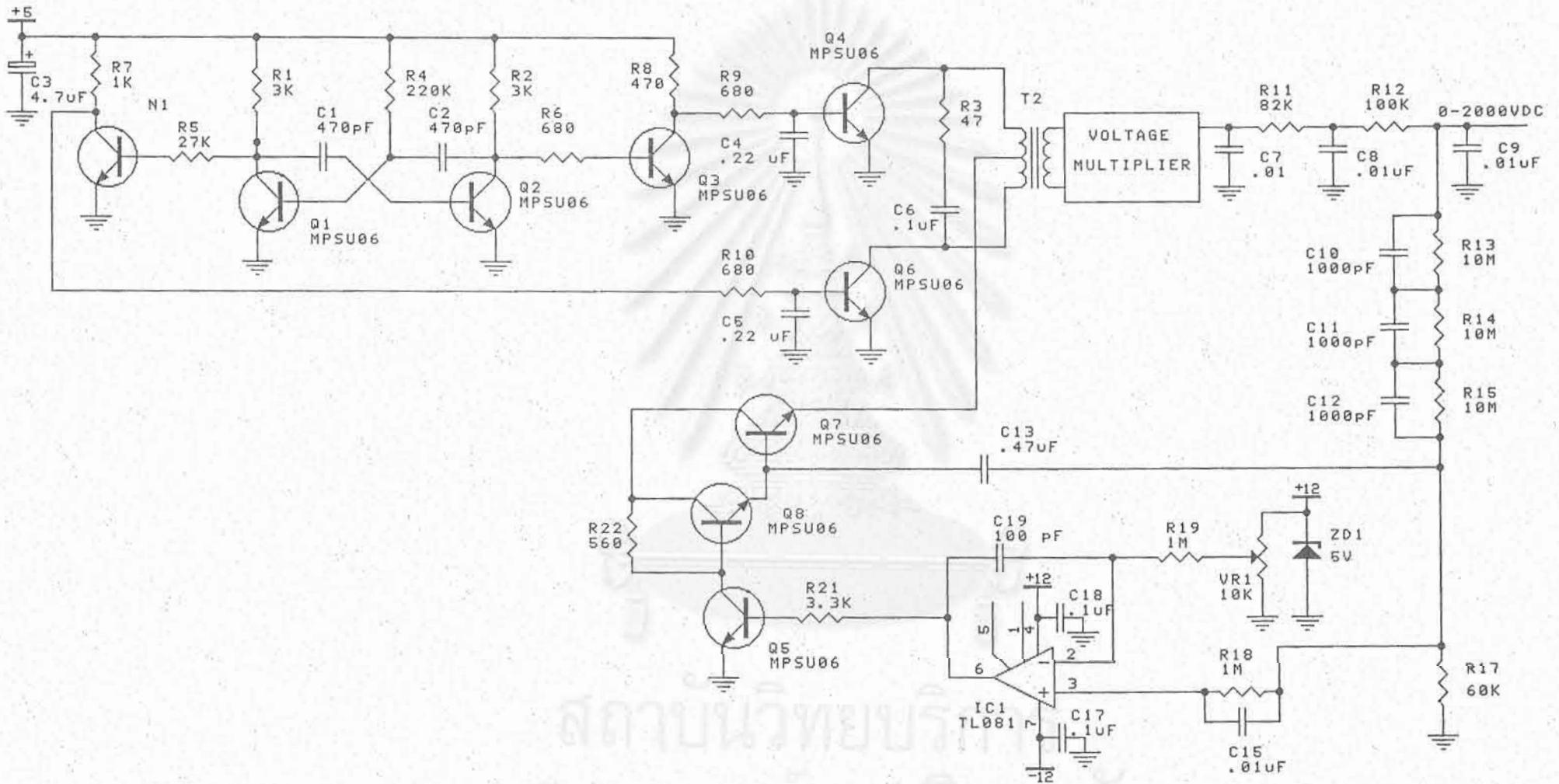
3.3.2 ระบบวัดรังสีส่วนหน้า

3.3.2.1 แหล่งจ่ายไฟฟ้าศักดาสูง



รูปที่ 3.6 แผนภาพของวงจรแหล่งจ่ายไฟฟ้าศักดาสูง

HIGH VOLTAGE POWER SUPPLY CIRCUIT



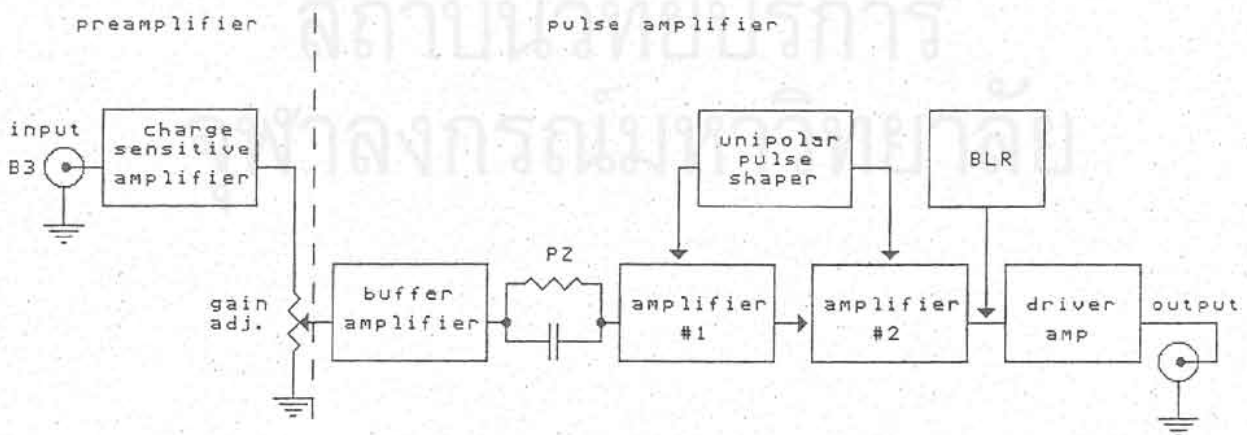
รูปที่ 3.7 วงจรแหล่งจ่ายไฟฟ้าศักสูง



แหล่งจ่ายไฟฟ้าสีกดาสูงที่พัฒนาขึ้น เป็นแบบ push-pull driver รับไฟฟ้าสีกดาต่ำจาก Eurocard frame +5 และ ± 12 โวลต์ เพื่อแปลงเป็นไฟฟ้าสีกดาสูง ปรับค่าได้จาก 0-2000 โวลต์ จ่ายกระแสสูงสุดได้ 100 ไมโครแอมแปร์ ดังแสดงการทำงานในแผนภาพรูปที่ 3.6 ประกอบด้วย วงจรกำเนิดความถี่ วงจรขับกระแส หม้อแปลงเพิ่มสีกดาไฟฟ้า วงจรทวีสีกดาไฟฟ้า วงจรกรองกระแส วงจรเปรียบเทียบสีกดาไฟฟ้า และวงจรควบคุมสีกดาไฟฟ้าให้คงที่

รูปที่ 3.7 เป็นวงจรแหล่งจ่ายไฟฟ้าสีกดาสูง Q_1 และ Q_2 เป็นวงจร astable multivibrator กานัดความถี่ 7 kHz ส่งให้กับวงจรขยาย push-pull ซึ่งประกอบด้วย Q_3, Q_4 และ Q_5, Q_6 เพื่อขับกระแสไฟฟ้าในหม้อแปลงเพิ่มสีกดาไฟฟ้า T_1 ที่มีอัตรารอบ 1:100 สีกดาไฟฟ้ากระแสสลับจะได้รับการทวีสีกดาเป็น 4 เท่า พร้อมทั้งเปลี่ยนเป็นไฟฟ้าสีกดาสูงกระแสตรง กรองกระแสให้เรียบด้วย $R_{11}, R_{12}, C_7, C_8, C_9$ ไฟฟ้าสีกดาสูงจะถูกแบ่งค่าด้วยอัตราสทอนของความต้านทาน 500:1 ส่งเข้าวงจรเปรียบเทียบสีกดาไฟฟ้าที่ IC1 ขา 3 เปรียบเทียบกับค่าสีกดาอ้างอิงซึ่งปรับค่าได้ด้วย VR_1 สำหรับปรับค่าไฟฟ้าสีกดาสูงและควบคุมสีกดาให้คงที่ โดยสัญญาณทางออกขา 6 ของ IC1 จะนำไปควบคุมการทำงานของวงจรควบคุมไฟฟ้าสีกดาต่ำ Q_7-Q_9 เพื่อจ่ายกำลังไฟฟ้าให้กับวงจรขับกระแส

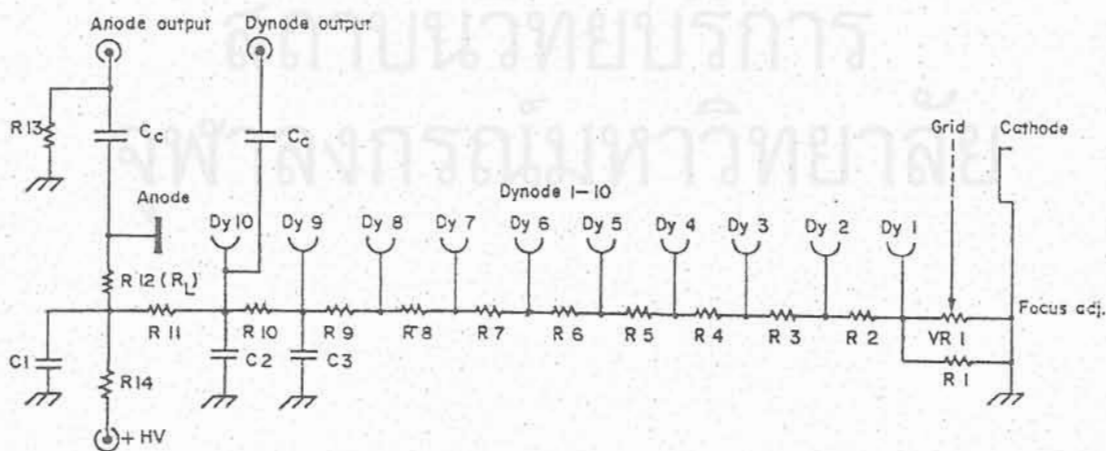
3.3.2.2 อุปกรณ์ขยายสัญญาณพัลส์



รูปที่ 3.8 แผนภาพของอุปกรณ์ขยายสัญญาณพัลส์

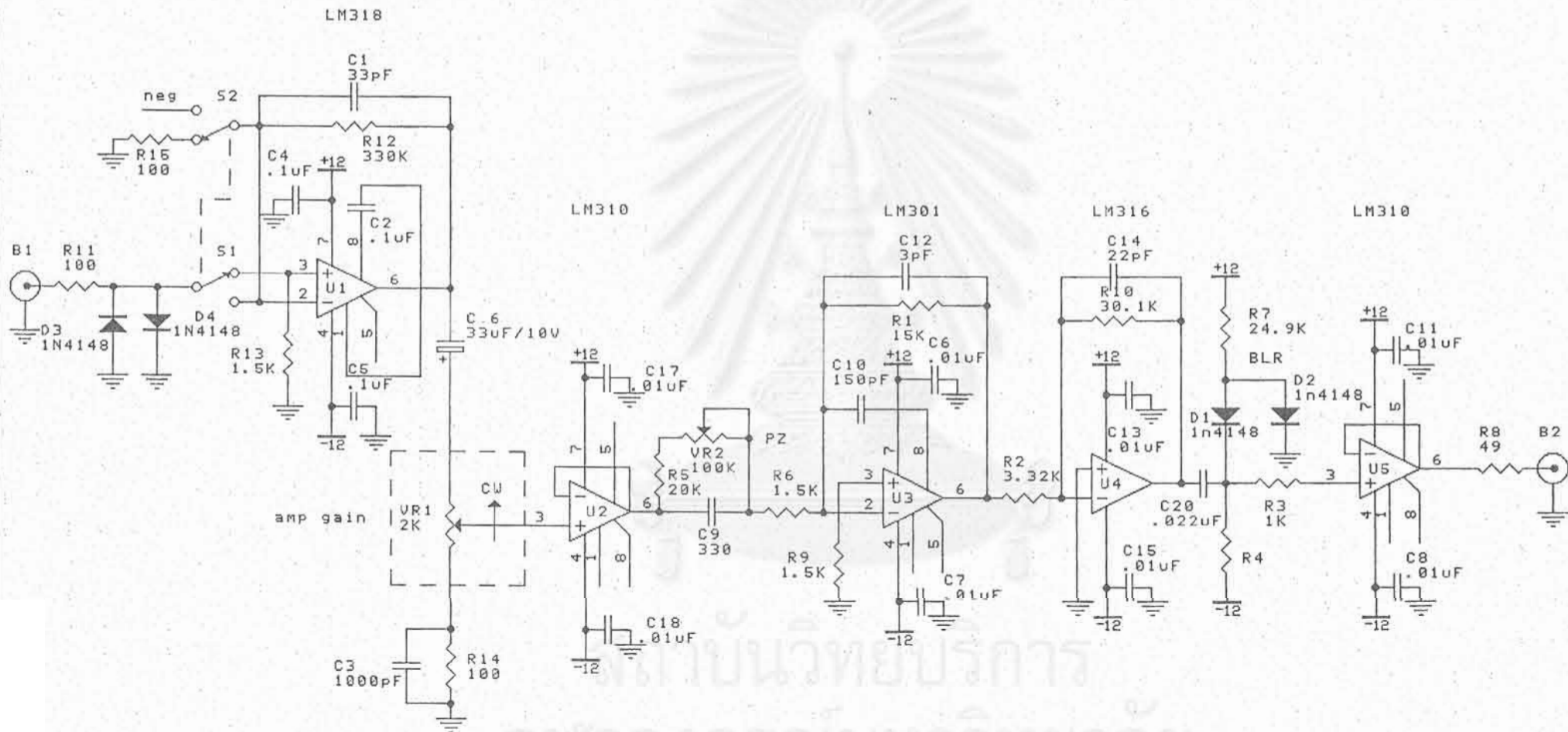
อุปกรณ์ขยายสัญญาณพัลส์ประกอบด้วยภาคขยายส่วนหน้าแบบ charge sensitive และภาคขยายหลัก ซึ่งแต่งรูปสัญญาณในแบบยูนิโพลาร์ (unipolar) ดังในแผนภาพรูปที่ 3.8 และวงจรในรูปที่ 3.10 โดยที่ IC U₁ จัดวงจรแบบ charge sensitive หรือ integrator ใช้ค่าตัวเก็บประจุ C₁ เท่ากับ 33 pF ส่งสัญญาณผ่าน C₆ มายังโพลเทนซิโอเมเตอร์ (potentiometer) VR₁ เพื่อปรับอัตราขยายซึ่งจัดสัดส่วนไว้ 20:1 วงจรขยายหลัก (U₃) จะรับสัญญาณผ่าน U₂ (buffer amplifier) เป็นการขยายสัญญาณขั้นที่ 1 ซึ่งจัดวงจรขยายแบบ inverting อัตราขยายประมาณ 10 เท่า สัญญาณระหว่าง U₁ และ U₃ จะถูกดิเฟอเรนเชียล (differentiate) ด้วย C₉ และชดเชยการส่งผ่านสัญญาณด้วยวงจร pole zero cancellation (PZ) ซึ่งประกอบด้วย C₉, R₅ และ VR₂ จากนั้นสัญญาณจะถูกขยายครั้งที่ 2 ด้วย U₄ ที่จัดวงจรขยายเช่นเดียวกับ U₃ ด้วยอัตราขยาย 10 เท่า สัญญาณที่อยู่ระหว่างการขยายของ U₃ และ U₄ จะได้รับการ integrate ด้วย C₁₂ และ C₁₄ ทำให้รูปสัญญาณพัลส์มีลักษณะเป็น ยูนิโพลาร์พัลส์ที่มีความกว้างของพัลส์ประมาณ 4 μ s สัญญาณที่ได้รับการขยายและแต่งรูปสัญญาณแล้ว จะถูกส่งต่อไปยังวงจรขับกระแสไฟฟ้า U₅ ผ่าน C₂₀ โดยมีการปรับชดเชยระดับเส้นฐานของสัญญาณด้วยวงจร Base Line Restorer (BLR) ทางออกของอุปกรณ์ขยายสัญญาณนี้มีอิมพีแดนซ์ ประมาณ 50 โอห์ม

รูปที่ 3.9 เป็นวงจรฐานหลอดทวีคูณอิเล็กตรอนสำหรับไบอัสหลอดทวีคูณอิเล็กตรอนของหัววัดเรียงรังสีชนิดโซเดียมไอโอดด์ (ทลเสียม) สัญญาณทางออกที่แอโนด (anode output) จะถูกส่งไปยังภาคขยายส่วนหน้า



Photomultiplier tube base circuit

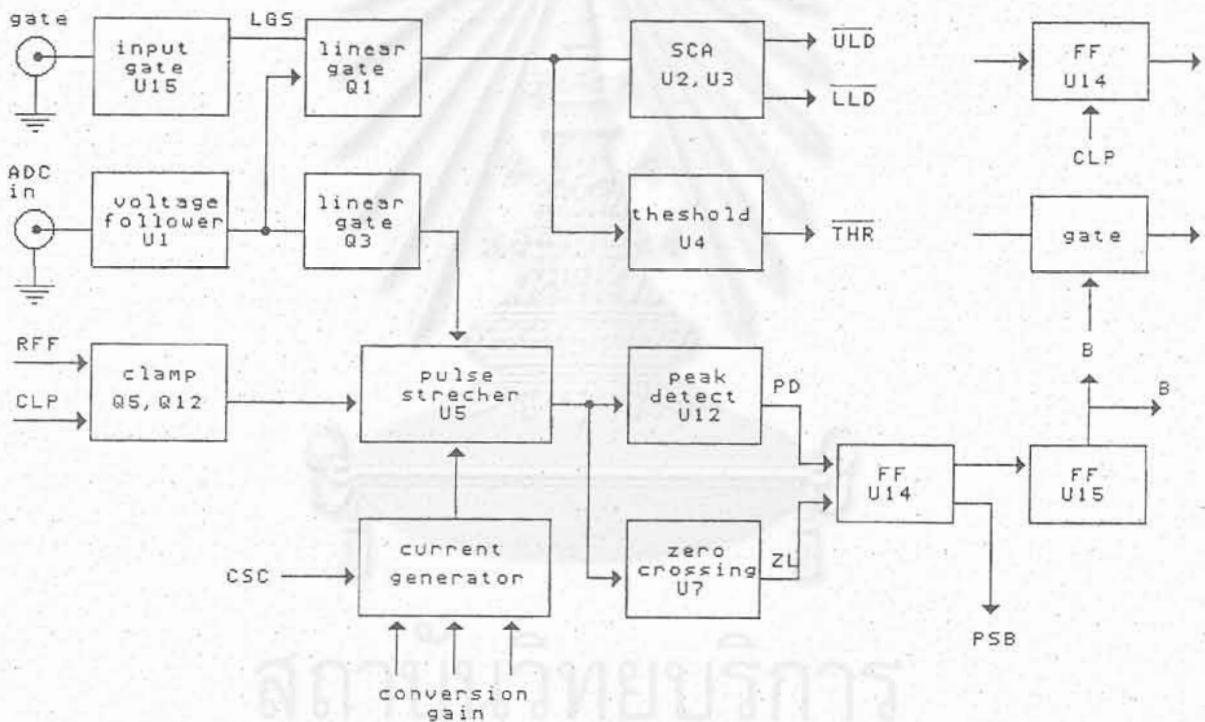
รูปที่ 3.9 วงจรฐานหลอดทวีคูณอิเล็กตรอนสำหรับหลอด RCA 8053



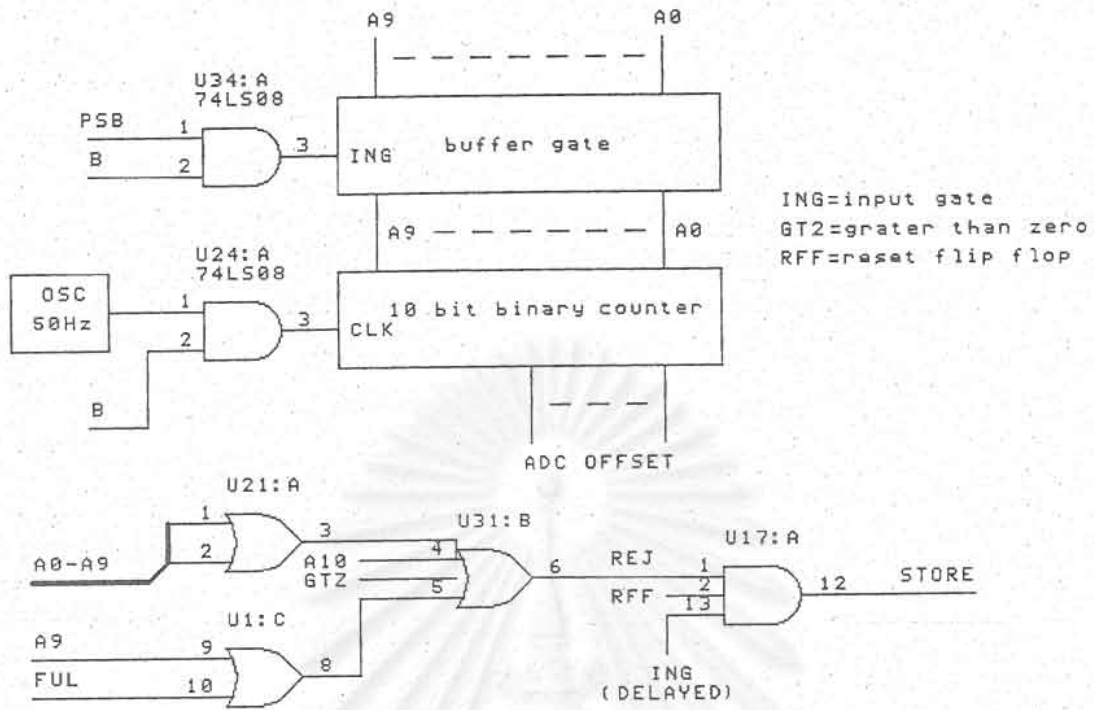
รูปที่ 3.10 วงจรขยายสัญญาณพัลส์ (Pre-amplifier/Amplifier)

3.3.3 ระบบแปลงสัญญาณพัลส์อนาลอกเป็นสัญญาณเชิงตัวเลข

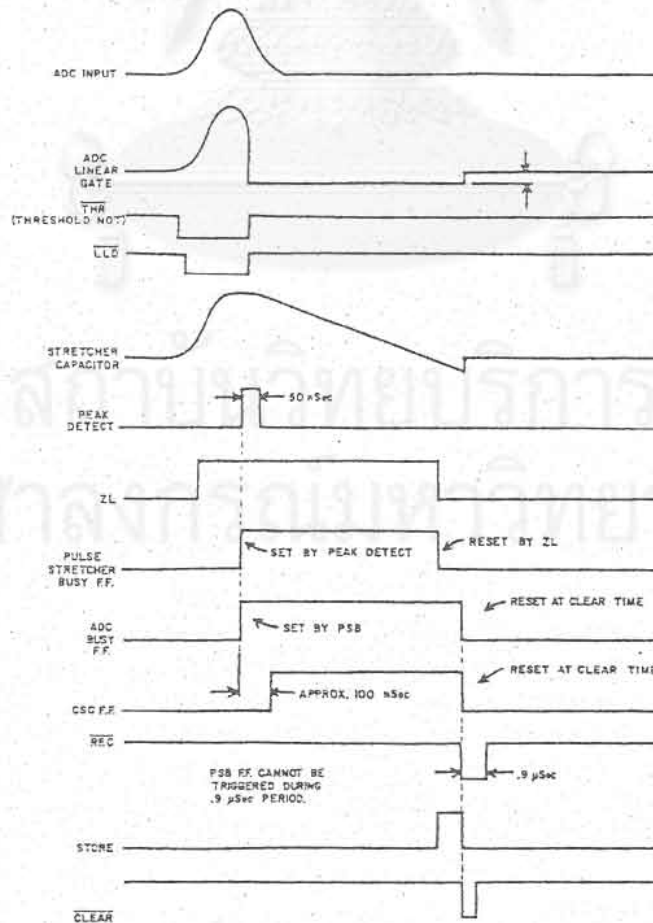
ระบบแปลงสัญญาณพัลส์อนาลอกเป็นสัญญาณเชิงตัวเลขที่พัฒนาขึ้นเป็นแบบวีลคินสันซึ่งใช้ความถี่ฐานเวลา 50 MHz มีความละเอียดในการแปลงความสูงของพัลส์ 10 บิต ระบบแปลงสัญญาณนี้แบ่งการทำงานออกเป็น 2 ส่วน คือ ส่วนการทำงานของสัญญาณอนาลอก และส่วนการทำงานของสัญญาณเชิงตัวเลข ดังแสดงในแผนภาพรูปที่ 3.11 และ 3.12



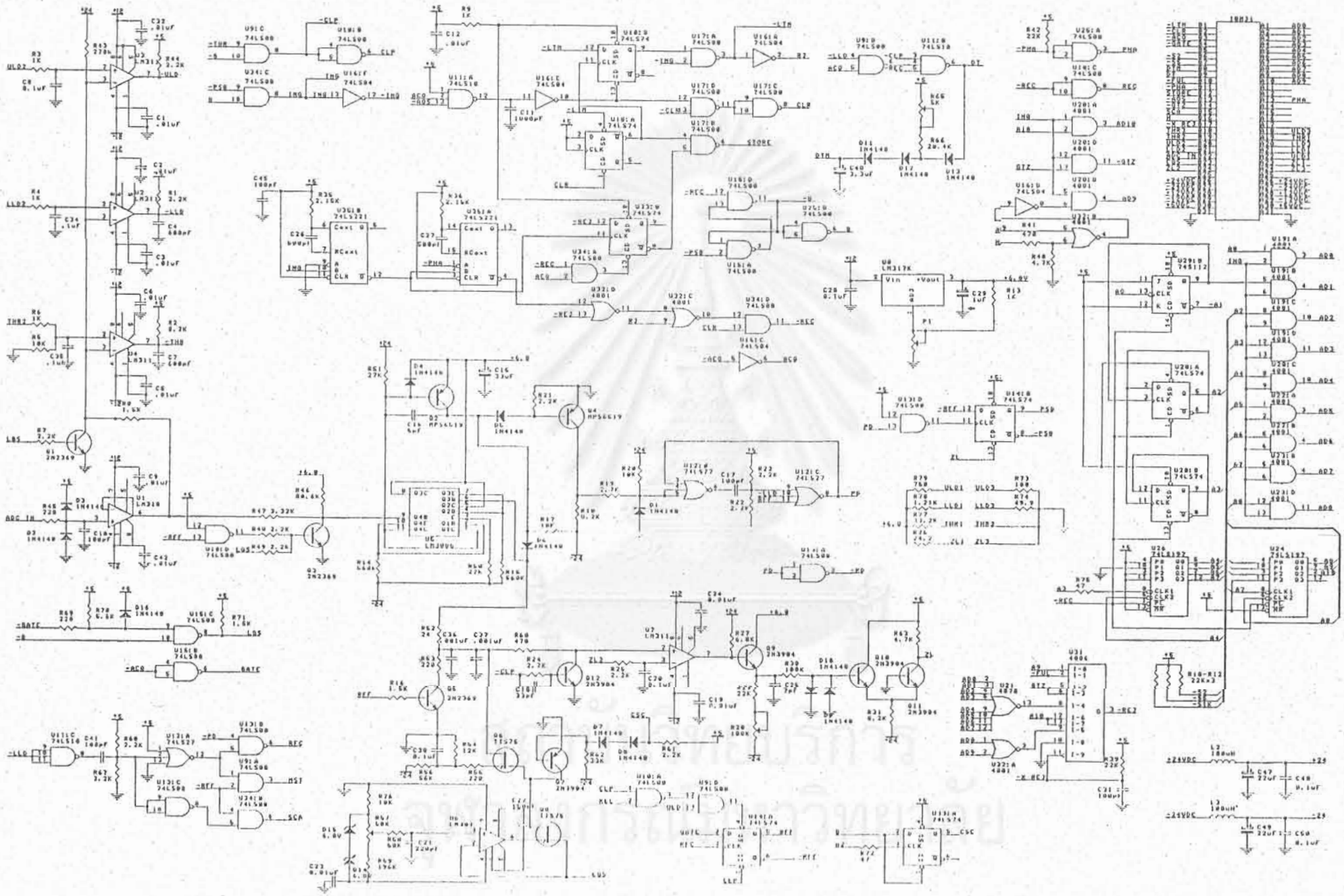
รูปที่ 3.11 แผนภาพการทำงานของวงจรแปลงสัญญาณพัลส์ในส่วนของการแปลงพัลส์สัญญาณอนาลอก



รูปที่ 3.12 แผนภาพการทำงานของวงจรแปลงสัญญาณเป็นส่วนของสัญญาณเชิงตัวเลข



รูปที่ 3.13 แผนภาพเวลาของการแปลงสัญญาณอนาลอกเป็นสัญญาณเชิงตัวเลข



รูปที่ 3.14 วงจรระบบแปลงสัญญาณพัลส์ในส่วนของการแปลงค่าสัญญาณอนาลอก

รูปที่ 3.13 เป็นแผนภาพเวลาของการแปลงผันสัญญาณอนาลอกเป็นสัญญาณเชิงตัวเลข และรูปที่ 3.14 เป็นวงจรทั้งหมดของระบบแปลงสัญญาณพัลส์ ซึ่งพัฒนาขึ้นโดยอาศัยแนวทางจากเครื่องวิเคราะห์ความสูงของพัลส์แบบหลายช่องของ Tracor Northern รุ่น TN 1706 (2) และ Ino-Tech รุ่น IT 520 (7) การทำงานของระบบเริ่มจากสัญญาณพัลส์จากอุปกรณ์ขยายสัญญาณรูปยูนีโพล่า ขนาด 0-10 โวลต์ ส่งผ่านมายัง U_1 ซึ่งเป็นวงจรขยายที่มีอัตราขยาย 1 สัญญาณทางออกของ U_1 จะนำไปผ่านวงจรเปรียบเทียบศักดาไฟฟ้า เพื่อคัดเลือกช่วงวิเคราะห์ความสูงของพัลส์ตามย่านวิเคราะห์ที่ผู้ใช้งานต้องการได้แก่ วงจรเปรียบเทียบระดับล่างสุดและบนสุด ซึ่งทำงานแบบ SCA เพื่อสร้างสัญญาณ \overline{ULD} และ \overline{LLD} ที่ไอซี U_2 และ U_3 และอีกวงจรหนึ่งเป็นวงจรเปรียบเทียบระดับความสูงต่ำสุดที่จะยอมให้ระบบทำการวิเคราะห์ (threshold) เพื่อสร้างสัญญาณ \overline{THR} ที่ U_4 ในกรณีที่สัญญาณอยู่นอกสภาวะที่จะวิเคราะห์ วงจรฟลิป-ฟลอป U_{14} และ U_{15} จะสร้างสัญญาณ REF และ CLP ยกเลิกสัญญาณด้วยการปิดลิเนียร์เกต Q_3 และคายประจุสัญญาณจากคาปาซิเตอร์ด้วยวงจรแคลมป์ Q_5 เมื่อเกินสภาวะของ SCA และแคลมป์ Q_{12} ถ้าต่ำกว่าระดับความสูงที่ยอมรับ นอกจากนี้วงจรแปลงสัญญาณส่วนหน้ายังมีทางเข้าของสัญญาณเกตซึ่งสามารถควบคุมจากระบบวัดภายนอกได้ ถ้าสัญญาณเกตที่ U_{15} ถูกปิด สัญญาณ LGS จะปิดลิเนียร์เกต Q_1 ด้วย

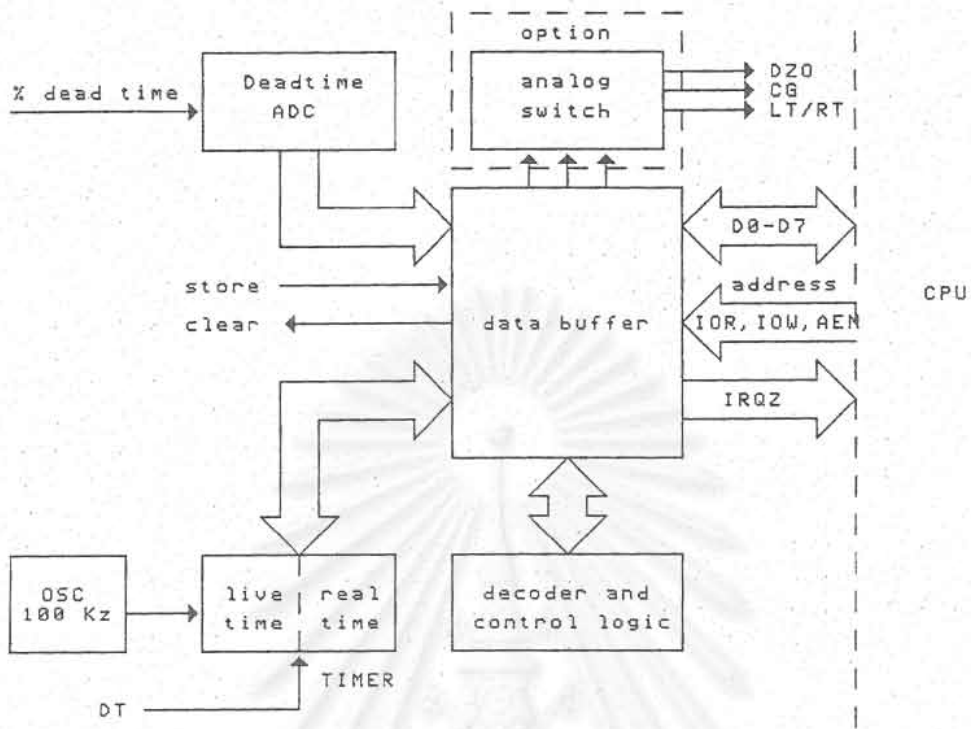
ในกรณีที่สัญญาณพัลส์จากอุปกรณ์ขยายสัญญาณมีความสูงอยู่ในเงื่อนไขที่ระบบพร้อมวิเคราะห์ คาปาซิเตอร์ C_{36} และ C_{37} จะได้รับการประจุตามขนาดความสูงของพัลส์ด้วยวงจร pulse stretcher U_5 ขนาดของพัลส์บนคาปาซิเตอร์ดังกล่าวจะถูกตรวจสอบด้วยวงจร 2 วงจรคือ ฟิคดีเทค (peak detect) ที่ U_{12} และซีโรครอสซิง (zero crossing) ที่ U_7 กล่าวคือเมื่อสัญญาณพัลส์ถึงค่าสูงสุด สัญญาณทางเข้าของ U_5 ซึ่งเปรียบเทียบระหว่างขนาดความสูงของพัลส์ที่ประจุบนคาปาซิเตอร์และขนาดของสัญญาณพัลส์จากอุปกรณ์ขยาย จะทำให้สัญญาณทางออกของ U_5 เปลี่ยนระดับอย่างรวดเร็ว กระตุ้นวงจรฟิคดีเทคให้สร้างสัญญาณ PD ดังในแผนภาพเวลารูปที่ 3.13 สัญญาณนี้จะกระตุ้นฟลิป-ฟลอป U_{14} ให้สร้างสัญญาณ PSB และฟลิป-ฟลอป U_{15} สร้างสัญญาณ B เพื่อเปิดเกต U_{24} ของวงจรมัลติไมนารี ดังในแผนภาพรูปที่ 3.12 และสร้างสัญญาณ CSC ด้วย U_{33A} สัญญาณนี้จะควบคุมการคายประจุของ C_{36} และ C_{37} ด้วยวงจร current generator อันประกอบด้วย Q_6, Q_7, Q_8 และ U_6 ซึ่งช่วงเวลาการคายประจุนี้ เรียกว่า "เวลาการแปลงผันสัญญาณ" เวลาจะมีความยาวเท่าใดขึ้นกับอัตราการคายประจุตามขนาดความต้านทานที่จัดไว้เป็นลำดับ อันเป็นการควบคุม conversion gain ระหว่างเวลาการแปลงผันนี้ วงจรมัลติไมนารีจะนับความถี่ฐานเวลา จนกระทั่งวงจรตรวจสอบระดับสัญญาณจากการคายประจุตัด

เส้นศูนย์ (U₇) สร้างสัญญาณ Z_L กระตุ้นฟลิป-ฟลอป U₁₄ ให้เปลี่ยนสถานะ ตามด้วยฟลิป-ฟลอป U₁₅ บิตเกต U₂₄ ข้อมูลของขนาดความสูงของพัลส์นอกที่ถูกละเปลี่ยนเป็นรหัสไบนารีจะปรากฏอยู่บนทางออกของวงจรรีบไบนารี (A₀-A₉) และสัดส่วนของข้อมูลนี้ อาจจะเริ่มนับจากฐาน 0 หรือต่ำกว่านั้น ขึ้นกับรหัสที่เริ่มต้น (preset) ไว้ก่อนนับ เรียกวิธีการนี้ว่า "ADC offset" เมื่อสิ้นสุดการนับของวงจรรีบไบนารีสัญญาณ B และ PSB ที่ไอซี U_{34C} จะสร้างสัญญาณ ING เพื่อเปิดบัฟเฟอร์เกตสำหรับส่งข้อมูลไบนารีซึ่งจะใช้เป็นข้อมูลกำหนดของวิเคราะห์ทำให้ไมโครคอมพิวเตอร์ต่อไป ไมโครคอมพิวเตอร์จะรับข้อมูลดังกล่าวเมื่อชุดเกต U₂₁, U₃₁ และ U₁₇ ในแผนภาพรูปที่ 3.12 สร้างสัญญาณ STORE ส่งผ่านวงจรถื่อมโยงสัญญาณเพื่อขอจัดจังหวะการทำงานของ CPU และอ่านข้อมูลจากบัฟเฟอร์เกต เมื่อสิ้นสุดการอ่านข้อมูลจะส่งสัญญาณ clear มายัง U₃₄ สำหรับเริ่มต้นการแปลงสัญญาณต่อไป สัดส่วนของข้อมูลไบนารีจะขึ้นกับช่วงเวลาที่เกิดจากการแปลงคัน ความสูงของพัลส์เป็นคาบเวลาซึ่งสร้างจากฟลิป-ฟลอป U₁₅ นอกจากนี้ช่วงเวลาของการแปลงสัญญาณ (ADC busy) ยังถูกนำไปเฉลี่ยเป็นค่าเปอร์เซ็นต์เดดไทม์ (% dead time) ที่ U_{11B}, D₁₁, D₁₂ และ C₄₀ สัญญาณ DIM จะถูกเปลี่ยนเป็นสัญญาณเชิงตัวเลข อ่านค่าโดยไมโครคอมพิวเตอร์เพื่อแสดงค่าเปอร์เซ็นต์เดดไทม์บนจอภาพด้วย

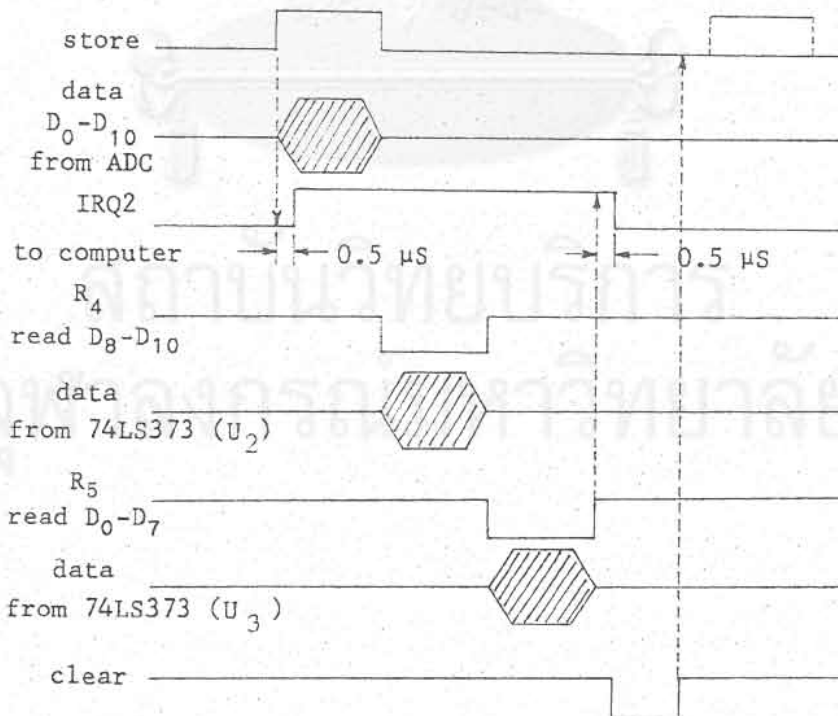
3.3.4 ระบบเชื่อมโยงสัญญาณ

ระบบเชื่อมโยงสัญญาณออกแบบมาให้ควบคุมการติดต่อข้อมูลระหว่างไมโครคอมพิวเตอร์ และระบบแปลงสัญญาณนอกเป็นสัญญาณเชิงตัวเลขแบบ interrupt service routine controlled I/O ประกอบด้วยวงจรร้อยต่างๆ ได้แก่ วงจรแปลงสัญญาณเปอร์เซ็นต์เดดไทม์ วงจรถอดรหัสและควบคุมสัญญาณลอจิก วงจรรับส่งข้อมูล และวงจรถั่งเวลา ดังแสดงในแผนภาพรูปที่ 3.15 การทำงานของระบบควบคุมด้วยโปรแกรมบนไมโครคอมพิวเตอร์ โดยมีวงจรถั่งรูปที่ 3.17

วงจรถั่งหลักที่ทำหน้าที่ควบคุมการทำงานของระบบเชื่อมโยงสัญญาณคือ วงจรถอดรหัส และควบคุมการทำงานของสัญญาณลอจิก วงจรถอดรหัสจะอาศัยสัญญาณตำแหน่ง (A₀-A₁₅) สัญญาณ IOR, IOW และ AEN มาถอดรหัสสัญญาณที่ U₁₃ และ U₁₉ เพื่อควบคุมการอ่านข้อมูล (R₀-R₇) และการเขียนข้อมูล (W₀-W₇) ณ ตำแหน่งแอดเดรส 710H-717H ตามลำดับ



รูปที่ 3.15 แผนภาพของระบบเชื่อมโยงสัญญาณ



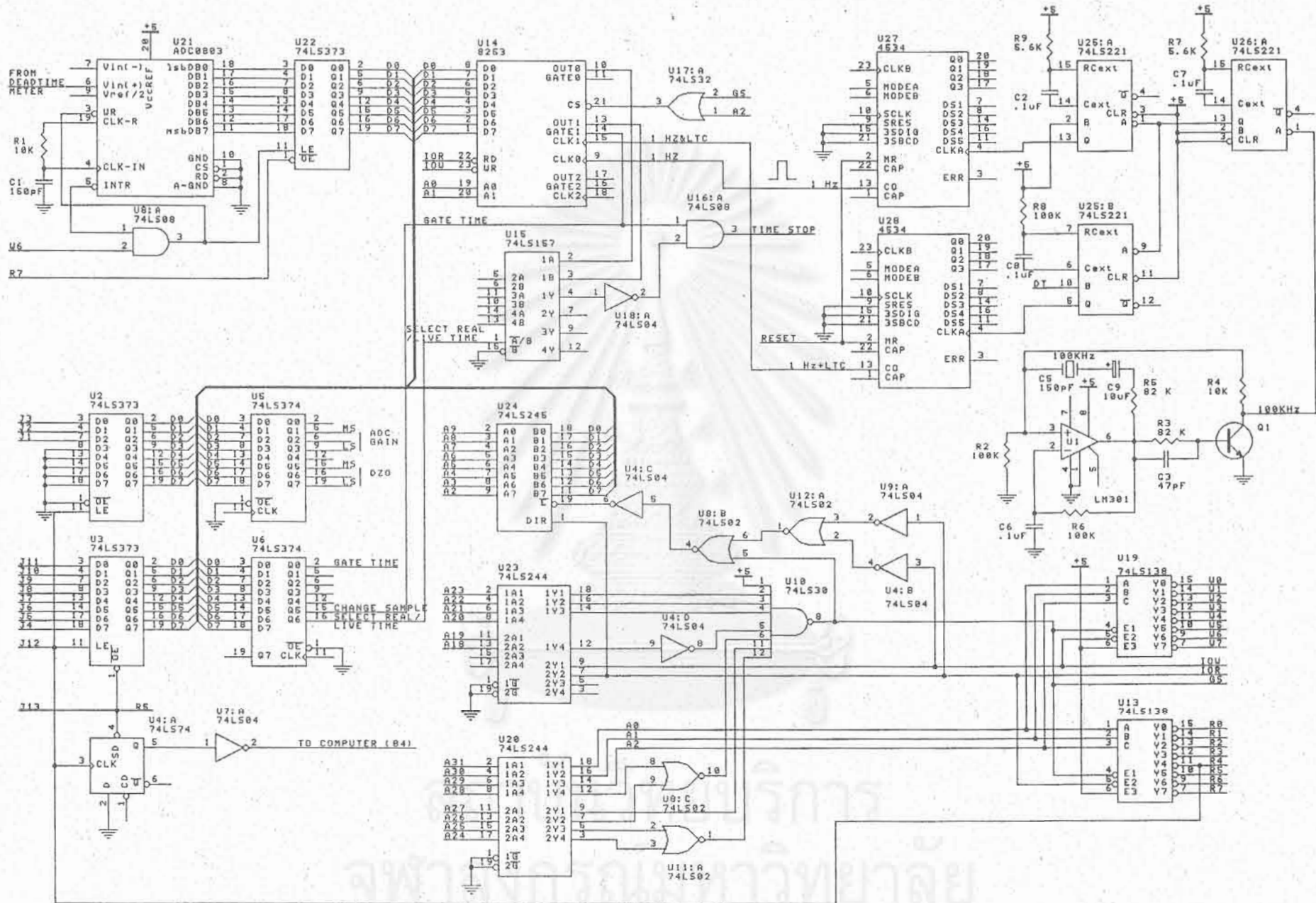
รูปที่ 3.16 แผนภาพเวลาการทำงานในขั้นตอนการรับข้อมูลจาก ADC

วงจรตั้งเวลาประกอบด้วย วงจรกำเนิดฐานความถี่เวลา 100 kHz (U_1) และ วงจรหารความถี่ สัญญาณความถี่ฐานเวลาจะแบ่งออกเป็น 2 ส่วน ส่วนแรกป้อนให้มัลติเวเนอเรเบิล (monostable multivibrator) U_{25A} แต่งรูปสัญญาณสำหรับวงจรหารความถี่ (10^5) เพื่อสร้างความถี่ 1Hz แบบ real time และส่วนที่ 2 ป้อนให้มัลติเวเนอเรเบิล U_{25B} ควบคุมสภาวะด้วยสัญญาณ DT จากวงจรแปลงสัญญาณ เพื่อปรับแก้เวลาที่สูญเสียไปกับการแปลงผันข้อมูลไอซี U_{19B} จะสร้างสัญญาณ 1Hz+LTC สัญญาณของวงจรตั้งเวลาทั้งสองจะถูกอ่านค่าด้วยไอซี U_{14} (8253) โดยเลือกตั้งเวลาแบบ real time หรือ live time ด้วยโปรแกรมซึ่งควบคุม U_{15} ไอซี U_{14} จะนับเวลาสะสม และส่งค่าออกไปแสดงผลบนจอภาพพร้อมทั้งเปรียบเทียบเวลากับเวลานับรังสีที่ตั้งไว้ เมื่อครบเวลานับจะส่งสัญญาณ time stop ผ่าน U_{16A} เพื่อหยุดนับเวลาและหยุดการวิเคราะห์ความสูงของพัลส์

วงจรแปลงสัญญาณเปอร์เซ็นต์เคาน์ทัม จะรับสัญญาณอนาลอก ซึ่งเป็นค่าเฉลี่ยของการสูญเสียเวลาในการแปลงผันสัญญาณจากวงจรแปลงสัญญาณ และแปลงค่าเป็นสัญญาณเชิงตัวเลขที่ U_{21} ไมโครคอมพิวเตอร์จะอ่านข้อมูลเชิงตัวเลขผ่าน U_{22} โดยใช้สัญญาณควบคุมการแปลงข้อมูลด้วย W_6 และอ่านด้วย R_7

วงจรควบคุมค่า ADC gain และ ADC offset ออกแบบเพื่อไว้สำหรับการพัฒนาระบบขั้นต่อไป โดยถอดรหัสควบคุมอิเล็กทรอนิกส์สวิตช์ไว้ที่ทางออกของ U_5 และเลือกค่าต่างๆผ่านไมโครคอมพิวเตอร์

การอ่านข้อมูลตำแหน่งช่องวิเคราะห์จากวงจรแปลงสัญญาณ เริ่มจากสัญญาณ store จะเปลี่ยนจาก 0 เป็น 1 ไอซี U_2 และ U_3 จะแลตช์ (latch) ข้อมูลเชิงตัวเลขที่ปรากฏบนบัสข้อมูลไว้ สัญญาณ store จะเปลี่ยนสภาวะที่ขา 5 ของ U_{14} เป็น 0 ผ่าน U_{7A} สัญญาณนี้จะ เป็นสัญญาณขอจัดจังหวะให้ไมโครคอมพิวเตอร์หยุดการทำงานที่โปรแกรมหลักมาทำงานที่โปรแกรมย่อยในการอ่านข้อมูลตำแหน่งช่องวิเคราะห์จากทางออกสัญญาณของ U_2 และ U_3 โดยอ่านข้อมูลที่ บิต 8-10 ก่อน แล้วจึงอ่านข้อมูลที่บิต 0-7 สัญญาณสิ้นสุดการอ่านข้อมูลจะไป reset ไอซี U_{4A} ดังแผนภาพเวลารูปที่ 3.16 เพื่อเป็นการสิ้นสุดการขอจัดจังหวะ จากนั้นไมโครคอมพิวเตอร์จะส่งสัญญาณ clear ให้กับวงจรแปลงสัญญาณเพื่อเริ่มวงจรรอบการทำงานใหม่ แล้วจึงกลับไปทำงานที่โปรแกรมหลักจนกว่าจะมีการขอจัดจังหวะอีก



รูปที่ 3.17 วงจรระบบเชื่อมระบบสัญญาณ

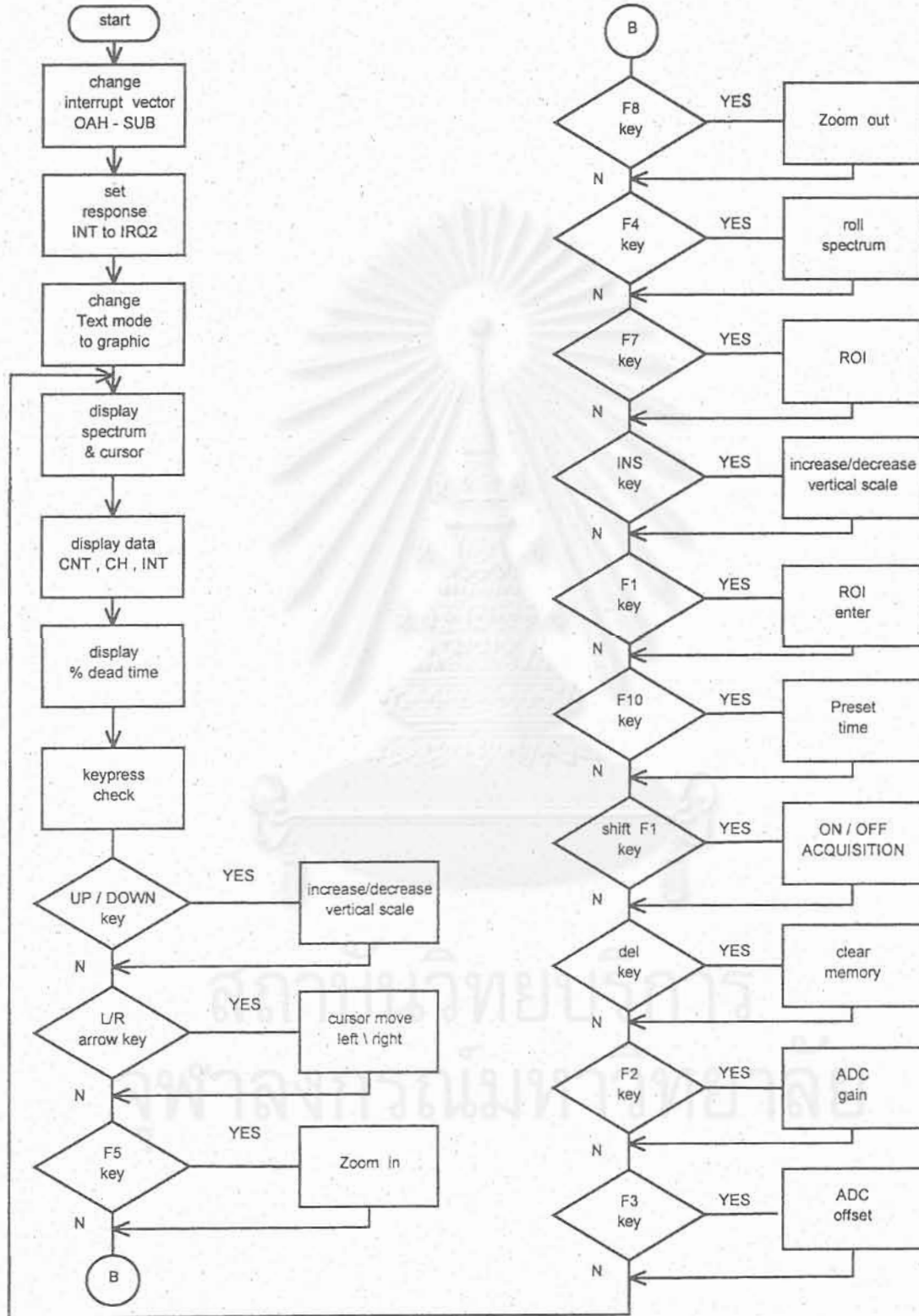
3.3.5 โปรแกรมควบคุมการทำงานของอุปกรณ์วิเคราะห์แบบหลายช่อง

3.3.5.1 โปรแกรมหลัก ทำหน้าที่ในการจัดลำดับเริ่มต้นการทำงานของระบบ ควบคุมการแสดงผลทั้งสเปกตรัมและค่าวัด ตรวจสอบการกดแป้นพิมพ์เพื่อสั่งงานระบบต่างๆผ่านระบบเชื่อมโยงสัญญาณ และควบคุมการทำงานของระบบเชื่อมโยงสัญญาณโดยตรง มีขั้นตอนการทำงานดังนี้

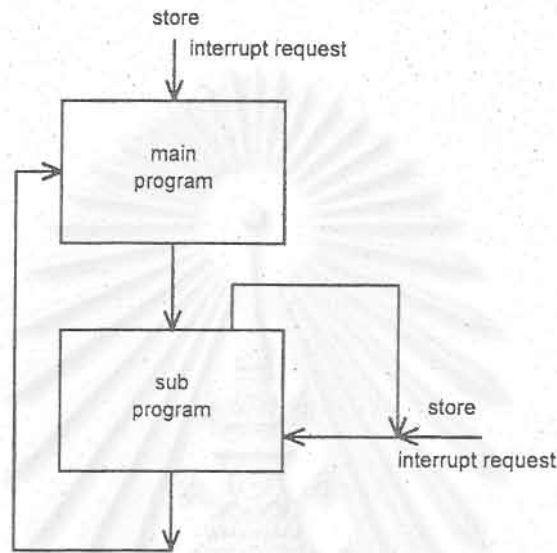
- 1) ทำการเปลี่ยนค่าในตาราง interrupt vector ที่ OAH ให้ชี้ไปที่ตำแหน่งของโปรแกรมย่อยสำหรับอ่านค่าเชิงตัวเลขจากระบบแปลงสัญญาณ
- 2) ปรับการทำงานของระบบให้ตอบสนองการขอจัดจังหวะ เมื่อได้รับสัญญาณ store ที่สัญญาณ IRQ₂
- 3) เปลี่ยนการทำงานของระบบควบคุมจอภาพจาก text mode เป็น graphic mode
- 4) อ่านข้อมูลจากกลุ่มของหน่วยความจำต่างๆ ที่ใช้เก็บข้อมูลเพื่อแสดงสเปกตรัมและข้อมูลวัดรังสี
- 5) แสดงค่าเปอร์เซ็นต์เดคิมา
- 6) ตรวจสอบแป้นพิมพ์ ซึ่งทำหน้าที่สั่งงานในด้านต่างๆ เช่น ข้อมูลสำหรับควบคุมการวัด ADC gain, DZO การเลื่อนเคอร์เซอร์ การแสดงผลรวมปริมาณวัดรังสีได้ฟิค เป็นต้น

ขั้นตอนต่างๆสามารถเขียนเป็นรหัสชาร์ต (flow chart) ในรูปที่ 3.18 เพื่อนำไปพัฒนาโปรแกรม ซึ่งเขียนด้วยภาษาเบสิก และแปลงเป็นภาษาแอสเซมบลี ดังแสดงในภาคผนวก ข.

3.3.5.2 โปรแกรมย่อย ทำหน้าที่อ่านข้อมูลเชิงตัวเลขจากวงจรแปลงสัญญาณ จะเริ่มทำงานเมื่อมีสัญญาณขอจัดจังหวะ IRQ₂ ถ้าไมโครคอมพิวเตอร์ทำงานอยู่ในโปรแกรมหลัก ยังไม่สิ้นสุด จะมาทำงานที่โปรแกรมย่อยจนสิ้นสุดการทำงานแล้วจึงกลับไปทำงานในโปรแกรมหลัก ต่อ หรือเมื่อมีการขอจัดจังหวะขณะยังไม่ทำงานที่โปรแกรมหลัก ก็สามารถจะทำงานในโปรแกรมย่อยก่อนแล้วจึงเข้าสู่โปรแกรมหลักก็สามารถจะทำงานในโปรแกรมย่อยก่อนแล้วจึงเข้าสู่โปรแกรมหลักดังรูปที่ 3.19 ก.



รูปที่ 3.18 โฟลว์ชาร์ตของโปรแกรมหลัก

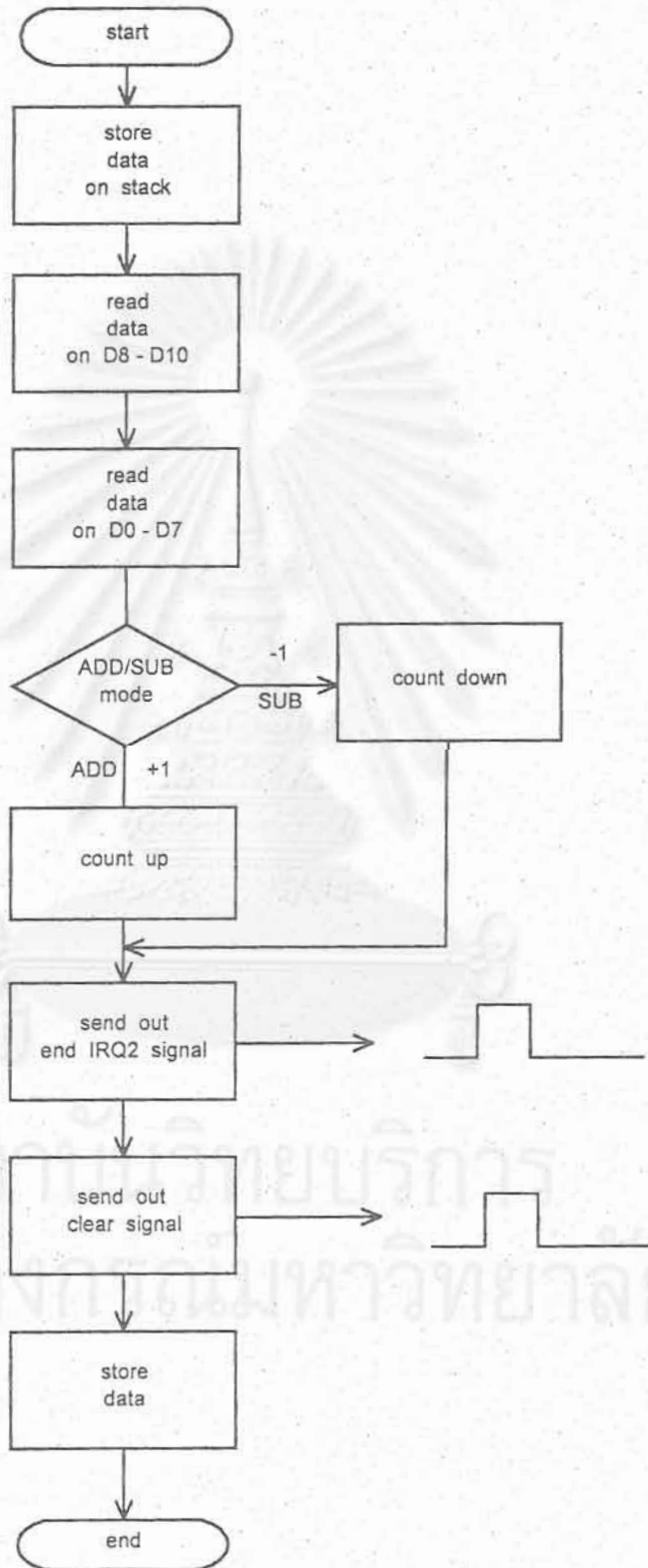


รูปที่ 3.19 ก. แผนภาพการทำงานของโปรแกรมหลักและโปรแกรมย่อย

ขั้นตอนการทำงานของโปรแกรมย่อยในการอ่านข้อมูลมีดังนี้

1. ทำการเก็บข้อมูลของรีจิสเตอร์ (register) ที่ออกแบบไว้บน stack
2. อ่านข้อมูลจากบัสข้อมูลที่มีบิต 8-10
3. อ่านข้อมูลจากบัสข้อมูลที่มีบิต 0-7
4. ทำการเพิ่มค่านับครั้งละหนึ่งที่ตำแหน่งของวิเคราะห์ที่อ่านจากบัสข้อมูล โดยจำนวนนับสะสมจะไม่เกิน $10^{16}-1$ หรือ 1 word
5. ส่งสัญญาณสิ้นสุดการขอจัดจังหวะให้ CPU
6. ส่งสัญญาณ clear ให้กับระบบแปลงสัญญาณ (pulse height ADC)
7. คืนค่าให้กับรีจิสเตอร์

ขั้นตอนต่างๆ เขียนเป็นรหัสซาร์ตได้ดังรูปที่ 3.19 ข.

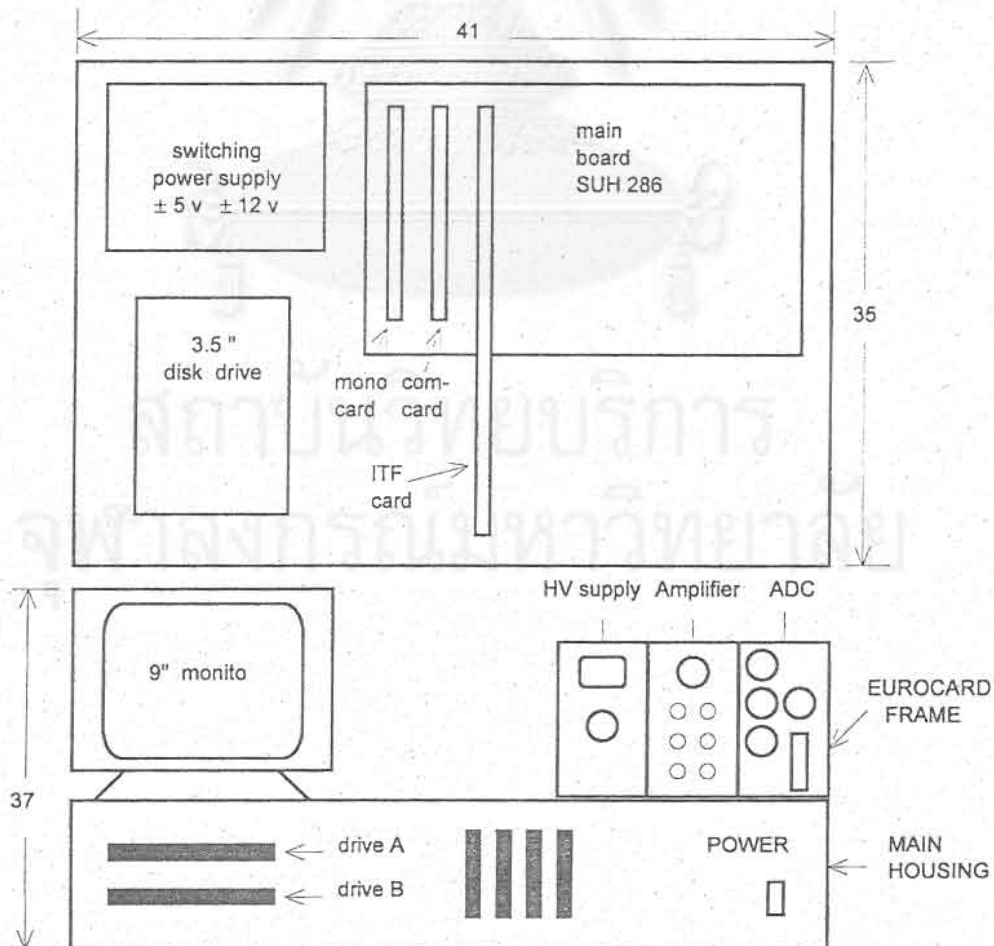


รูปที่ 3.19 ข. โพล์ซาร์ตของโปรแกรมย่อย

3.3.6 การประกอบเครื่องต้นแบบ

วงจรที่ออกแบบและทดสอบการทำงานแล้ว ให้นำมาออกแบบเป็นแผ่นพิมพ์วงจรและจัดวางลงในโครงเครื่อง แบ่งออกเป็น 3 ส่วน ดังรูปที่ 3.20 ได้แก่

- ก. ส่วนของจอภาพโมโนโครมขนาด 9 นิ้ว วางอยู่บนโครงบรรจุระบบประมวลผล
- ข. ส่วนของโครงบรรจุระบบประมวลผล บรรจุแหล่งจ่ายไฟฟ้าสัปดาห์คาต่ำ ดิสก์ไดรฟ์ขนาด 3.5 นิ้ว 2 ชุดสำหรับอ่านโปรแกรมและข้อมูลตามลำดับ แผ่นวงจรหลักของไมโครคอมพิวเตอร์ แผ่นวงจรขับจอภาพ แผ่นวงจรติดต่ออุปกรณ์ภายนอก และแผ่นวงจรเชื่อมโยงสัญญาณ
- ค. ส่วนของโครงบรรจุโมดูลขนาดมาตรฐาน EURO card สำหรับบรรจุโมดูลแหล่งจ่ายไฟฟ้าสัปดาห์สูง โมดูลขยายสัญญาณพัลส์ และโมดูลระบบแปลงสัญญาณขนาดของอุปกรณ์วิเคราะห์หลายช่อง หลังการประกอบอุปกรณ์เข้าด้วยกันทั้งหมดมีขนาด 35x41x37 ซม³.



รูปที่ 3.20 การจัดวางแผ่นวงจรและอุปกรณ์ภายในเครื่อง



รูปที่ 3.21 เครื่องต้นแบบที่พัฒนาขึ้น



รูปที่ 3.22 การวางแผนวงจรรายานเครื่อง

บทที่ 4

ผลการทํางานของอุปกรณ์วิเคราะห์แบบหลายช่อง

เครื่องต้นแบบที่พัฒนาขึ้นประกอบด้วยระบบวัดนิวเคลียร์ อุปกรณ์วิเคราะห์แบบหลายช่องควบคุมด้วยไมโครคอมพิวเตอร์ และโปรแกรมควบคุมการทํางาน (MCA-NT01) หลังจากประกอบเข้าด้วยกันแล้ว ได้นำมาทดสอบการทํางานของระบบต่างๆ ภายในเครื่องเพื่อหาพิດการทํางานของส่วนต่างๆ ได้แก่

1. แหล่งจ่ายไฟฟ้าศักดาสูง
2. อุปกรณ์ขยายสัญญาณพัลส์
3. ระบบแปลงสัญญาณพัลส์เป็นสัญญาณเชิงตัวเลข
4. ระบบวิเคราะห์สเปกตรัมนิวเคลียร์

4.1 ทดสอบการทํางานของแหล่งจ่ายไฟฟ้าศักดาสูง

4.1.1 เครื่องมือและอุปกรณ์

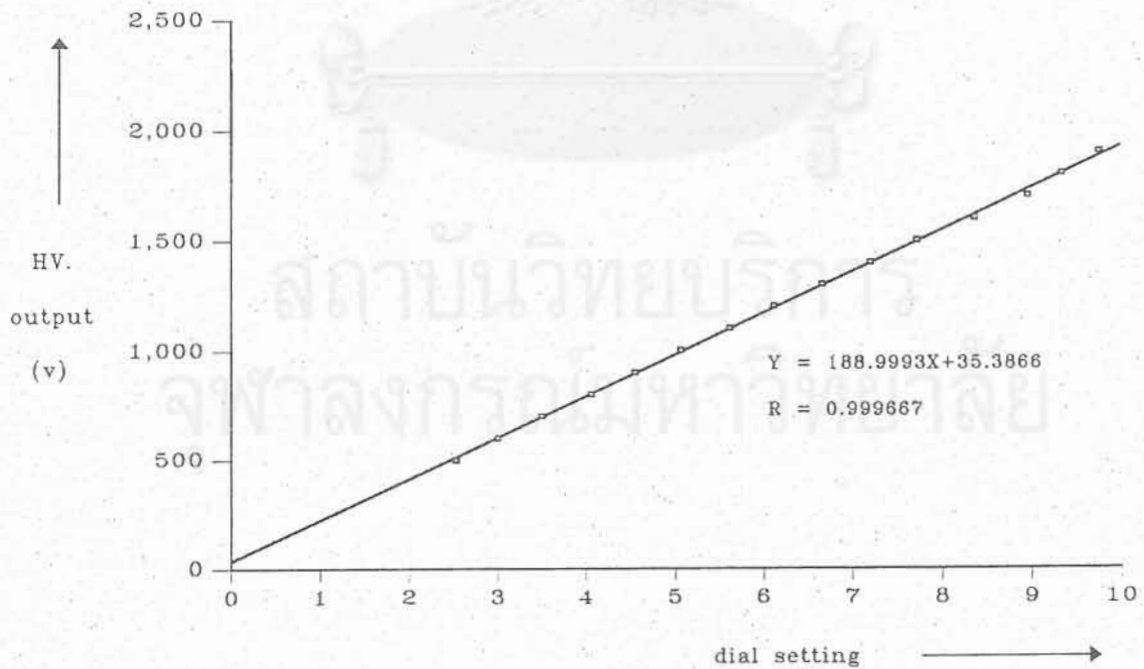
1. เครื่องวัดไฟฟ้าศักดาสูง (Electrostatic Voltmeter) ของ Electrical Instrument Service รุ่น EDS-7 และ ESD-10
2. เครื่องอ่านรูปสัญญาณ (Digital Storage Oscilloscope) ของ Gould รุ่น DSO 4062
3. ตัวต้านทานขนาดต่างๆ
4. ตัวเก็บประจุขนาด 0.01 μF 3000 V.
5. แหล่งจ่ายไฟฟ้าศักดาสูงที่พัฒนาขึ้น

4.1.2 ทดสอบความเป็นเชิงเส้นของสเกลปรับค่าศักดาไฟฟ้า

จากการทดสอบความเป็นเชิงเส้นของสเกลปรับค่าศักดาไฟฟ้า โดยแปรเปลี่ยนตำแหน่งสเกลและอ่านค่าศักดาไฟฟ้า ได้ผลตามตารางที่ 4.1 และเส้นกราฟรูปที่ 4.1

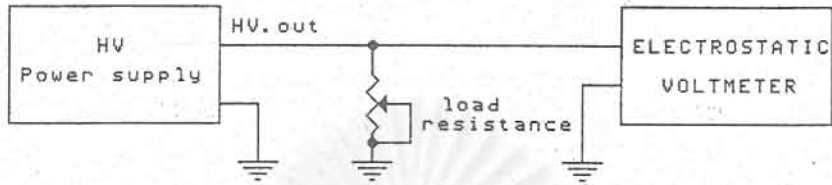
ตารางที่ 4.1 ความสัมพันธ์ระหว่างสเกลปรับค่าศักดาไฟฟ้าและศักดาไฟฟ้าทางออก

สเกลที่ตั้ง	ศักดาไฟฟ้าทางออก (v)	สเกลที่ตั้ง	ศักดาไฟฟ้าทางออก (v)
2.52	500	6.66	1300
3.00	600	7.20	1400
3.50	700	7.72	1500
4.06	800	8.36	1600
4.55	900	8.96	1700
5.06	1000	9.34	1800
5.62	1100	9.76	1900
6.12	1200		



รูปที่ 4.1 ความสัมพันธ์ระหว่างตำแหน่งสเกลปรับค่าศักดาไฟฟ้ากับศักดาไฟฟ้าทางออก

4.1.3 ทดสอบการควบคุมความคงที่ศักดาไฟฟ้า (load regulation)

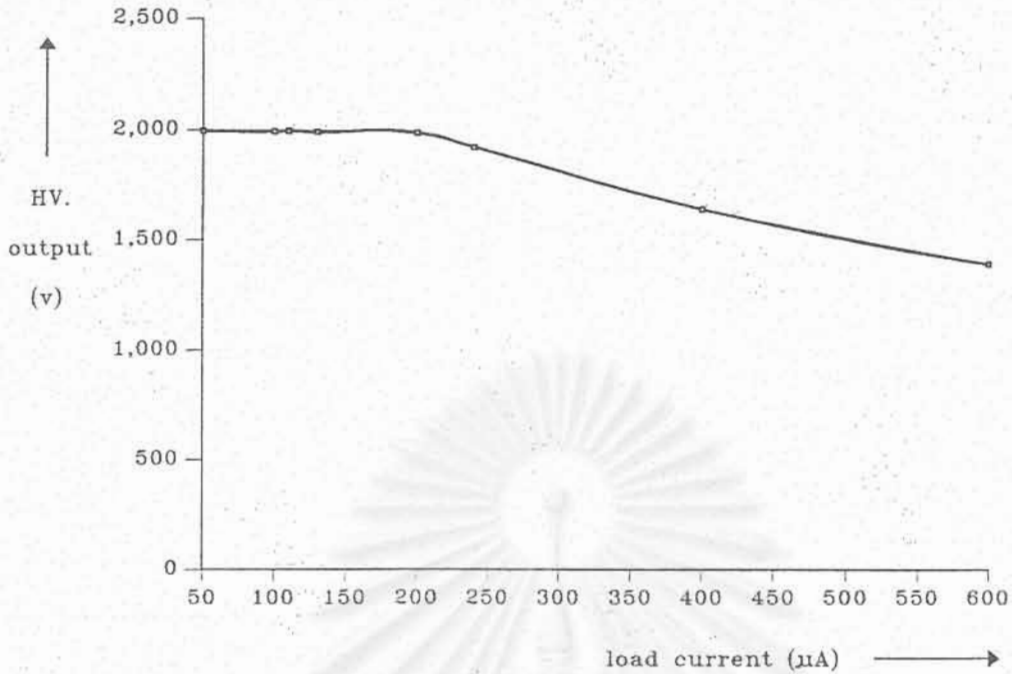


รูปที่ 4.2 แผนภาพการจับคู่อุปกรณ์เพื่อทดสอบการควบคุมความคงที่ศักดาไฟฟ้า

ทดสอบโดยจับคู่อุปกรณ์ดังรูปที่ 4.2 ปรับค่าศักดาไฟฟ้าทางออกของแหล่งจ่ายไฟฟ้า ศักดาสูงที่ 2000 โวลต์ ขณะไม่มีโหลด (load) จากนั้นแปรเปลี่ยนค่าความต้านทานของโหลดเพื่อเพิ่มการจ่ายกระแสของแหล่งจ่ายไฟฟ้าศักดาสูงครั้งละ 10 μA จาก 50 μA ถึง 120 μA ผลการทดสอบเป็นไปตามตารางที่ 4.2 และเส้นกราฟรูปที่ 4.3

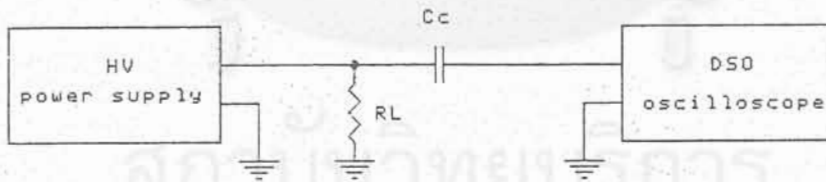
ตารางที่ 4.2 ความสัมพันธ์ระหว่างกระแสไฟฟ้าและศักดาไฟฟ้าทางออก

กระแสไฟฟ้า (μA)	ศักดาไฟฟ้า (V)	กระแสไฟฟ้า (μA)	ศักดาไฟฟ้า (V)
50	1994	200	1985
100	1993	240	1920
110	1994	400	1640
130	1990	600	1390



รูปที่ 4.3 ความสัมพันธ์ระหว่างกระแสไฟฟ้าที่จ่ายให้หลอดและ
ศักย์ไฟฟ้าทางออก

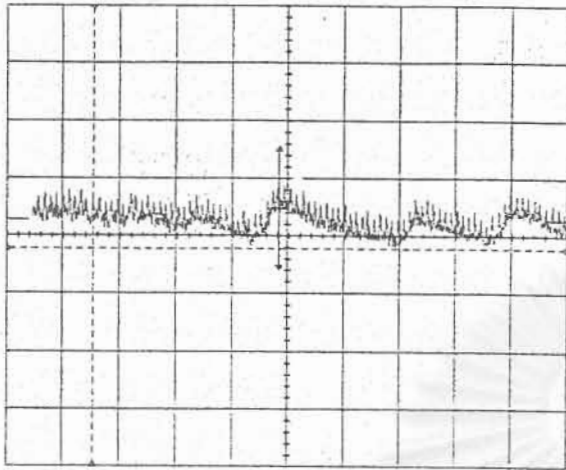
4.1.4 ตรวจสอบขนาดของศักยาระลอกคลื่น (ripple voltage)



รูปที่ 4.4 แผนภาพการจับคู่อุปกรณ์เพื่อตรวจวัดศักยาระลอกคลื่น

การตรวจวัดทำได้โดยการจับคู่อุปกรณ์ทดสอบดังรูปที่ 4.4 ปรับศักย์ไฟฟ้าทางออก
ขณะไม่มีหลอด 2000 โวลต์ อ่านค่าศักยาระลอกคลื่นได้ดังในรูปที่ 4.5 ก. จากนั้นใส่หลอดตัวด้าน
ทางขนาด 20 M Ω อ่านค่าศักยาระลอกคลื่นได้ดังในรูปที่ 4.5 ข. ดังนั้นถ้าแหล่งจ่ายศักย์ไฟฟ้า
จ่ายกระแสไฟฟ้าน้อยกว่าความสามารถสูงสุดที่จ่ายได้จะมีขนาดระลอกคลื่นต่ำกว่านี้

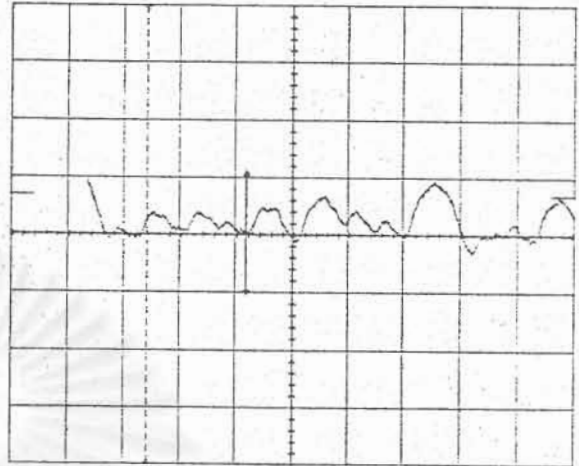
PLOTTED: TR1A:2mV :500µs :



TR1A:
1.38mV 1.650ms

ก. ขณะไม่มีโหลด

PLOTTED: TR1A: 50mV :500µs



TR1A:
33.3mV 880.0µs

ข. ขณะมีโหลด

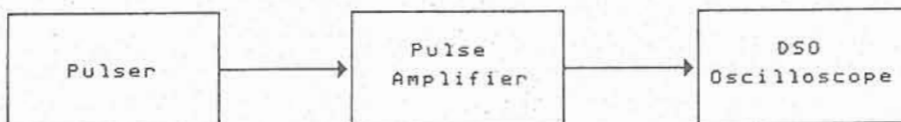
รูปที่ 4.5 ขนาดของศักดาระลอกคลื่น

4.2 ทดสอบการทำงานของอุปกรณ์ขยายสัญญาณพัลส์

4.2.1 เครื่องมือและอุปกรณ์

1. เครื่องกำเนิดสัญญาณเลียนแบบหัววัดรังสี (Pulser) ของ Canberra รุ่น 807
2. เครื่องอ่านรูปสัญญาณ (DSO) ของ Gould รุ่น DSO 4062
3. อุปกรณ์ขยายสัญญาณพัลส์ที่พัฒนาขึ้น

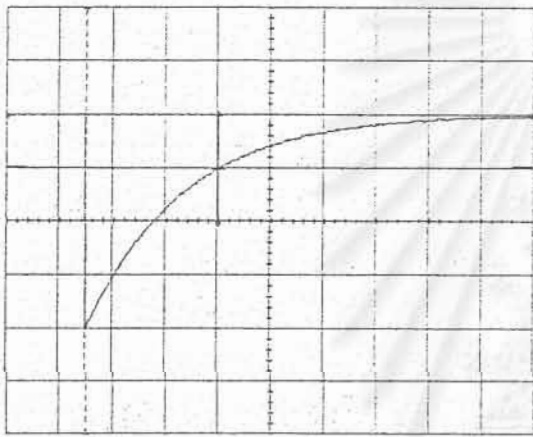
4.2.2 ตรวจสอบวัฏรูปสัญญาณทางออก



รูปที่ 4.6 แผนภาพการจัดอุปกรณ์ตรวจสอบวัฏรูปสัญญาณพัลส์

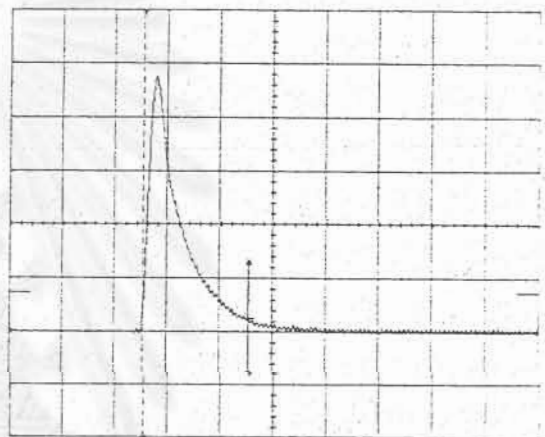
ตรวจวัดโดยป้อนสัญญาณพัลส์ขนาด 400 มิลลิโวลต์ ดังในรูปที่ 4.7 ก. 1 ที่
กับอุปกรณ์ขยายสัญญาณพัลส์ ซึ่งตั้งสเกลอัตราขยายที่ 0.15 ย่านรูปสัญญาณจากอุปกรณ์ขยายสัญญาณ
หลังการปรับ pole zero cancellation และ base line restorer สมบูรณ์แล้ว จะได้
สัญญาณ ดังรูปที่ 4.6 ข.

PLOTTED: TR1A:100mV :20µs



T TRIA:
-103mV 50.02µs

PLOTTED: TR1A:1V :2µs



T TRIA:
233mV 4.022µs

ก. สัญญาณทางเข้า

ข. สัญญาณทางออก

รูปที่ 4.7 รูปสัญญาณพัลส์ทางเข้าและทางออกของอุปกรณ์ขยายสัญญาณพัลส์

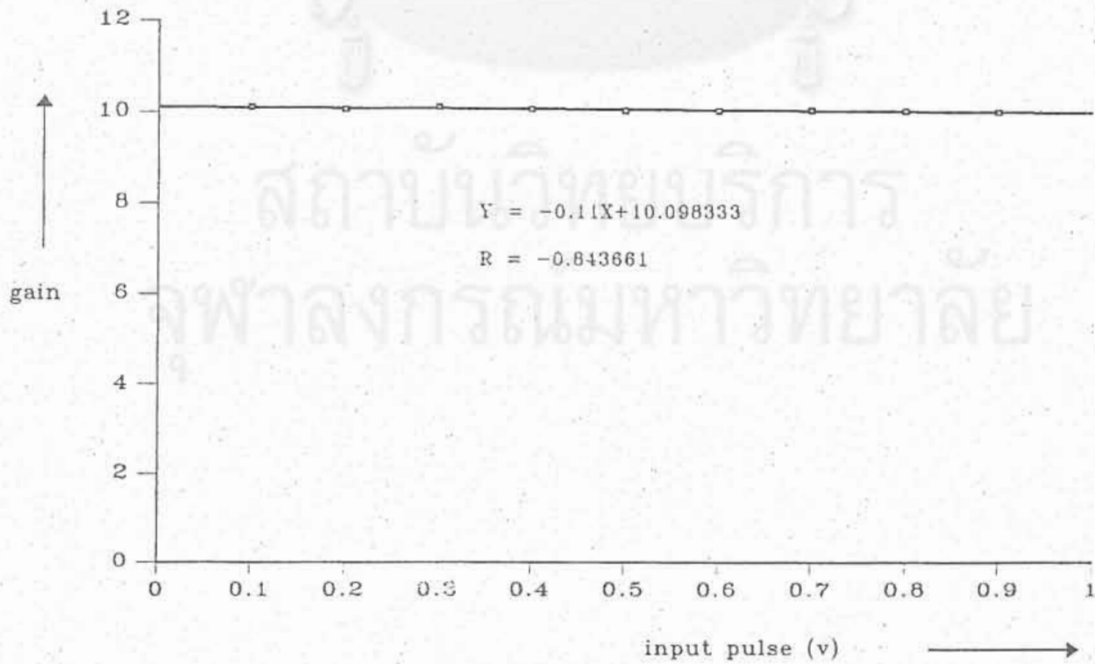
4.2.3 ทดสอบความเป็นเชิงเส้นของอัตราขยายแบบดิฟเฟอเรนเชียล

(differential non-linearity)

ทดสอบวัดตั้งอัตราขยายคงที่และแปรเปลี่ยนขนาดความสูงของสัญญาณพัลส์ทางเข้า
จากอุปกรณ์กำเนิดสัญญาณเลียนแบบหัววัดรังสี ผลการทดสอบเป็นไปตามตารางที่ 4.3 และเส้น
กราฟรูปที่ 4.8

ตารางที่ 4.3 ความเป็นเชิงเส้นของอัตราขยายแบบดิฟเฟอเรนเชียล

สัญญาณพัลส์ ทางเข้า (V)	สัญญาณพัลส์ ทางออก (V)	อัตราขยาย
0.10	1.01	10.10
0.20	2.01	10.05
0.30	3.03	10.10
0.40	4.02	10.05
0.50	5.01	10.02
0.60	6.01	10.02
0.70	7.02	10.03
0.80	8.02	10.02
0.90	9.06	10.00



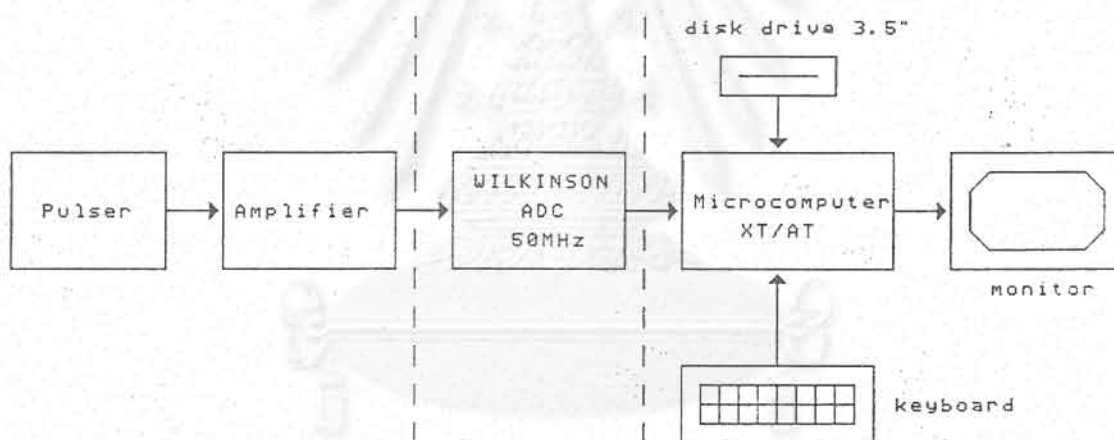
รูปที่ 4.8 ความเป็นเชิงเส้นของอัตราขยายซึ่งทดสอบแบบดิฟเฟอเรนเชียล

4.3 ทดสอบการทำงานของระบบแปลงสัญญาณพัลส์เป็นสัญญาณเชิงตัวเลข

4.3.1 เครื่องมือและอุปกรณ์

1. เครื่องกำเนิดสัญญาณเลียนแบบหัววัดรังสีของ Canberra รุ่น 807
2. เครื่องอ่านรูปสัญญาณ (Real time Oscilloscope) ของ Tektronix รุ่น 465
3. ชุดวิเคราะห์แบบหลายช่องที่พัฒนาขึ้นพร้อมโปรแกรมควบคุมการทำงานของระบบ

4.3.2 ทดสอบความเป็นเชิงเส้นในการแปลงสัญญาณพัลส์

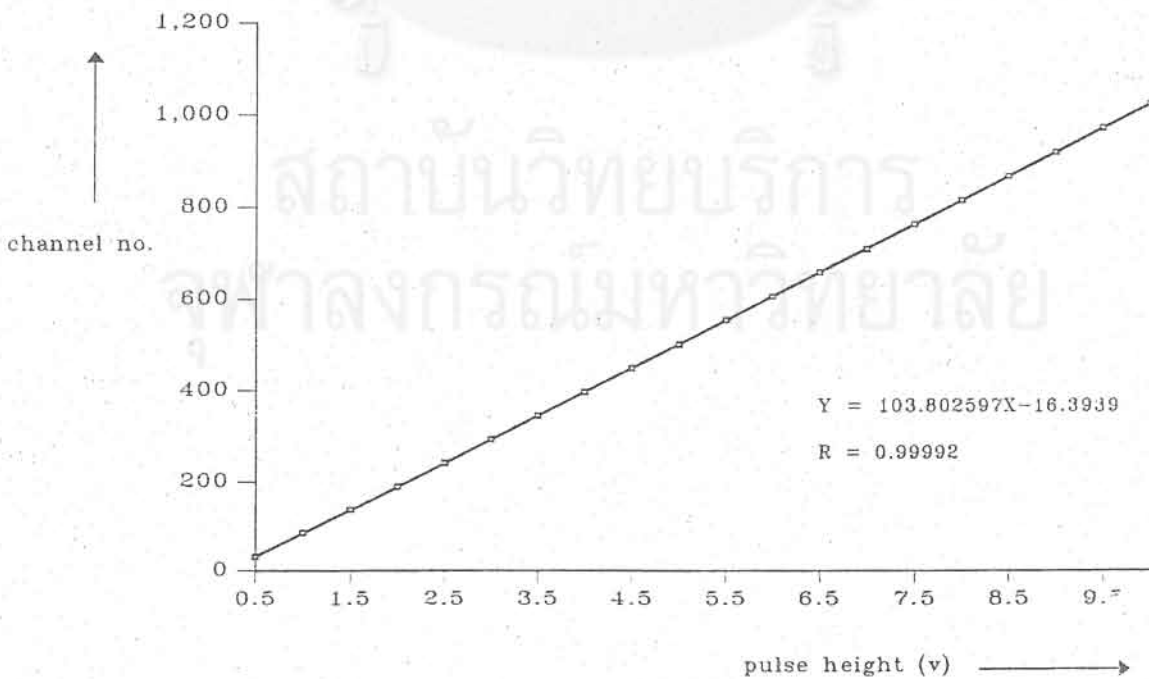


รูปที่ 4.9 แผนภาพการจับคู่อุปกรณ์เพื่อทดสอบการทำงานของระบบแปลงสัญญาณ

จับคู่อุปกรณ์เพื่อทดสอบดังรูปที่ 4.9 ใช้โปรแกรมควบคุมการวิเคราะห์ความสูงของพัลส์ แปรเปลี่ยนความสูงของพัลส์และบันทึกตำแหน่งช่องวิเคราะห์ตามค่าต่างๆ ผลการทดสอบเป็นไปตามตารางที่ 4.4 และเส้นกราฟรูปที่ 4.10

ตารางที่ 4.4 ความสัมพันธ์ระหว่างความสูงของพัลส์และตำแหน่งช่องวิเคราะห์

ความสูงของพัลส์ (V)	ช่องวิเคราะห์ พลังงาน	ความสูงของพัลส์ (V)	ช่องวิเคราะห์ พลังงาน
0.5	32	5.5	554
1.0	85	6.0	606
1.5	137	6.5	658
2.0	189	7.0	709
2.5	241	7.5	763
3.0	293	8.0	815
3.5	345	8.5	867
4.0	397	9.0	919
4.5	449	9.5	972
5.0	501	10.0	1023



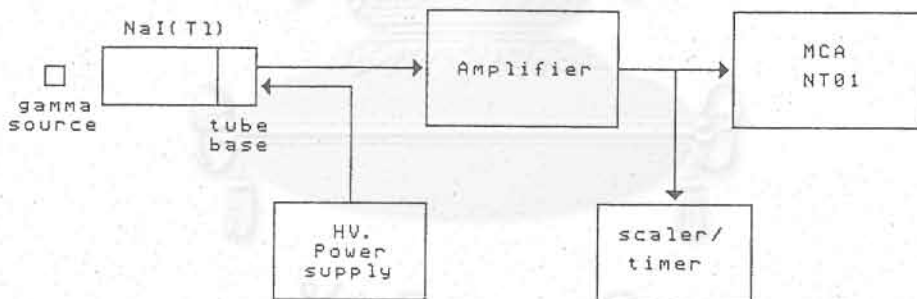
รูปที่ 4.10 ความสัมพันธ์เชิงเส้นระหว่างความสูงของพัลส์และตำแหน่งช่องวิเคราะห์

4.4 ทดสอบความสามารถในการทำงานของระบบวิเคราะห์

4.4.1 เครื่องมือและอุปกรณ์

1. หัววัดรังสีโซเดียมไอโอไดด์ (ทึลเลียม) ขนาด 2x2 นิ้ว พร้อมฐานหลอดทวิ
คู่อิเล็กตรอนของ Ortec รุ่น 905-3/266
2. ชุดอุปกรณ์วิเคราะห์แบบหลายช่องที่พัฒนาขึ้นพร้อมโปรแกรมควบคุมการทำงาน
ของระบบ
3. อุปกรณ์วิเคราะห์ช่องเดียว (SCA) ของ Canberra รุ่น 2030
4. อุปกรณ์นับรังสีและตั้งเวลานับ (scaler/timer) ของ Canberra รุ่น
1772
5. ต้นกำเนิดรังสีแกมมา Cs-137 ความแรง 10 μ Ci

4.4.2 ทดสอบความสามารถในการทำงานของระบบวิเคราะห์

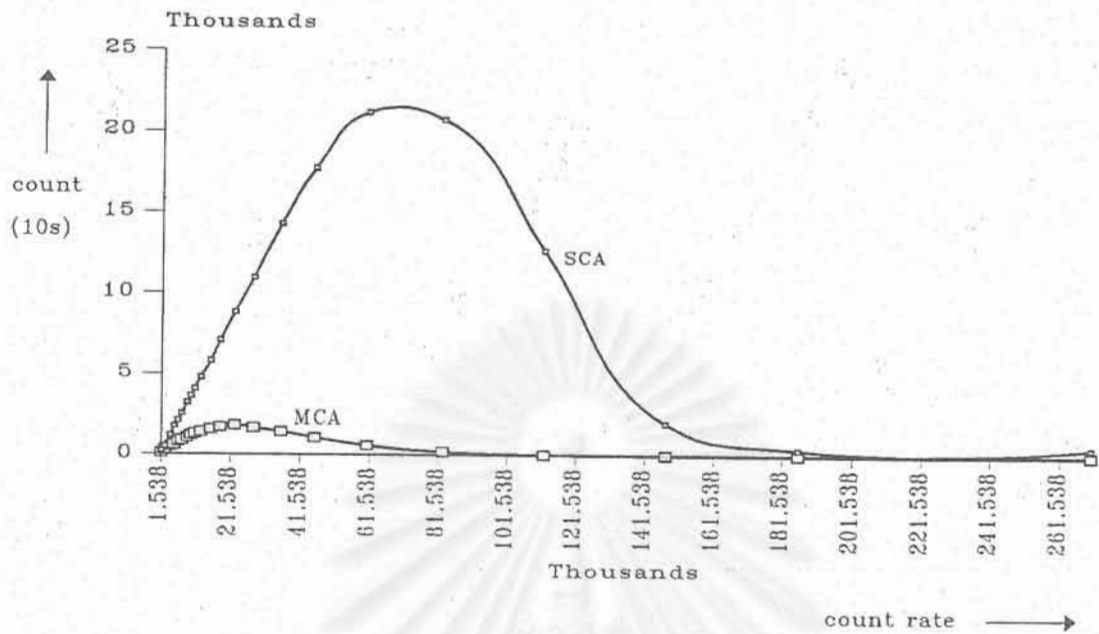


รูปที่ 4.11 แผนภาพการจัดอุปกรณ์เพื่อทดสอบความสามารถในการทำงานของระบบวิเคราะห์

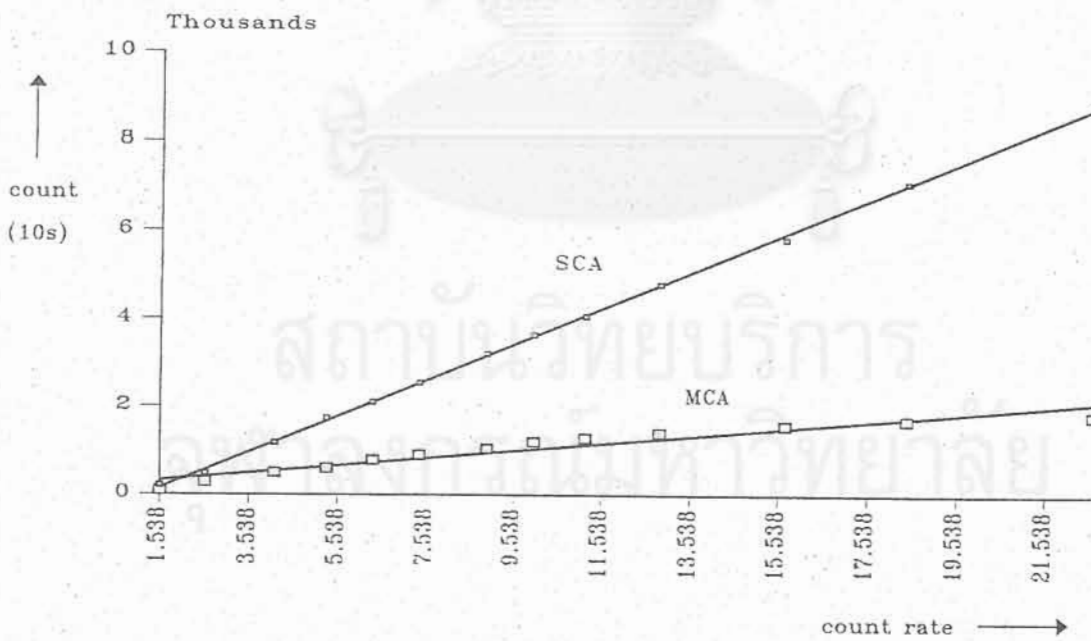
จัดอุปกรณ์ทดสอบการทำงานของระบบวิเคราะห์ความสูงของพัลส์ โดยแปรเปลี่ยน
อัตรานับรังสีด้วยการเลื่อนระยะต้นกำเนิดรังสี และอ่านค่าผลรวมปริมาณนับรังสีที่พื้นที่ได้ทีหลัง
งานของ Cs-137 ที่เวลานับ 10 วินาที เปรียบเทียบระหว่าง SCA ที่ผลิตจากต่างประเทศกับ
อุปกรณ์วิเคราะห์แบบหลายช่องที่พัฒนาขึ้น ผลการทดสอบเป็นไปตามตารางที่ 4.5

ตารางที่ 4.5 ผลทดสอบความสามารถในการทำงานของระบบวิเคราะห์

ปริมาณนับรังสีรวม แบบนับรวม (intergral) count/10 sec	ผลรวมปริมาณ นับรังสีพื้นที่ที่ตัดพิก ศพลังงานจาก SCA	ผลรวมปริมาณ นับรังสีพื้นที่ที่ พิกศพลังงานจาก MCA (NT-01)
270,476	484	0
186,080	363	1
147,509	1,973	2
112,275	12,647	25
82,656	20,702	186
60,712	21,157	565
45,547	17,728	1,046
35,861	14,290	1,416
28,022	10,962	1,662
22,614	8,817	1,817
18,420	7,082	1,707
15,692	5,810	1,582
12,850	4,795	1,417
11,175	4,070	1,294
9,995	3,637	1,209
8,922	3,206	1,045
7,373	2,545	899
6,319	2,110	786
5,275	1,746	601
4,110	1,182	502
2,541	487	249
1,538	210	90



ก. เปรียบเทียบความสามารถในการวิเคราะห์ระหว่าง SCA และ MCA (NT-01)



ข. เส้นกราฟแสดงอัตรานับสูงสุดที่ MCA NT-01 สามารถวิเคราะห์ได้

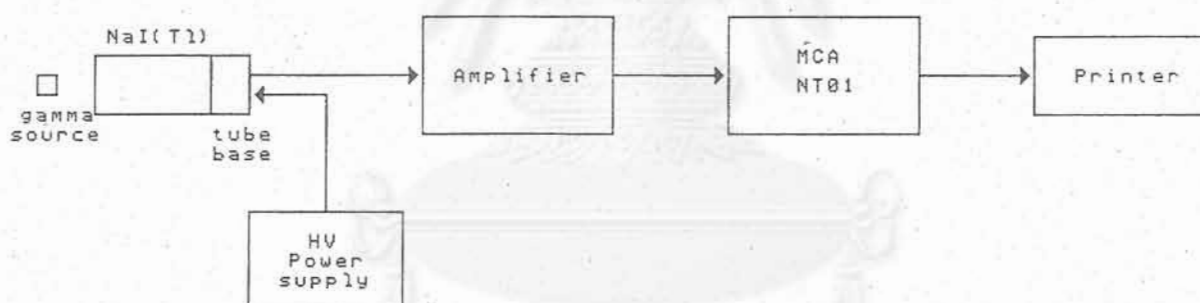
รูปที่ 4.12 เส้นกราฟเปรียบเทียบความสามารถในการวิเคราะห์ของ MCA (NT-01)

4.5 การวิเคราะห์สเปกตรัมนิวเคลียร์

4.5.1 เครื่องมือและอุปกรณ์

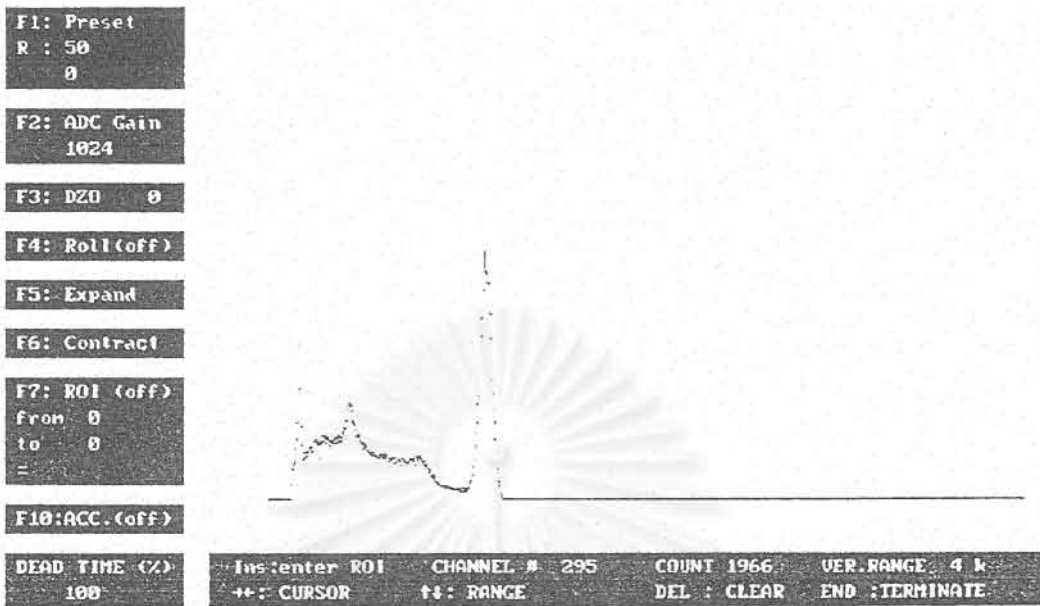
1. หัววัดรังสีชนิดผลึกเดี่ยวไอโอดีน (ทาลเลียม) ขนาด 2"x2" พร้อมฐานหลอดทวิอุทกอิเล็กทรอนิกส์ของ Ortec รุ่น 905-3/266
2. ชุดอุปกรณ์วิเคราะห์แบบหลายช่องที่พัฒนาขึ้นพร้อมโปรแกรมควบคุมการทำงาน ของระบบ
3. เครื่องพิมพ์ผลวิเคราะห์
4. ต้นกำเนิดรังสีแกมมา Cs-137 และ Co-60 ความแรง 1 μCi

4.5.2 ทดสอบการวิเคราะห์สเปกตรัมนิวเคลียร์



รูปที่ 4.13 แผนภาพการจัดระบบวิเคราะห์พลังงานของรังสีแกมมา

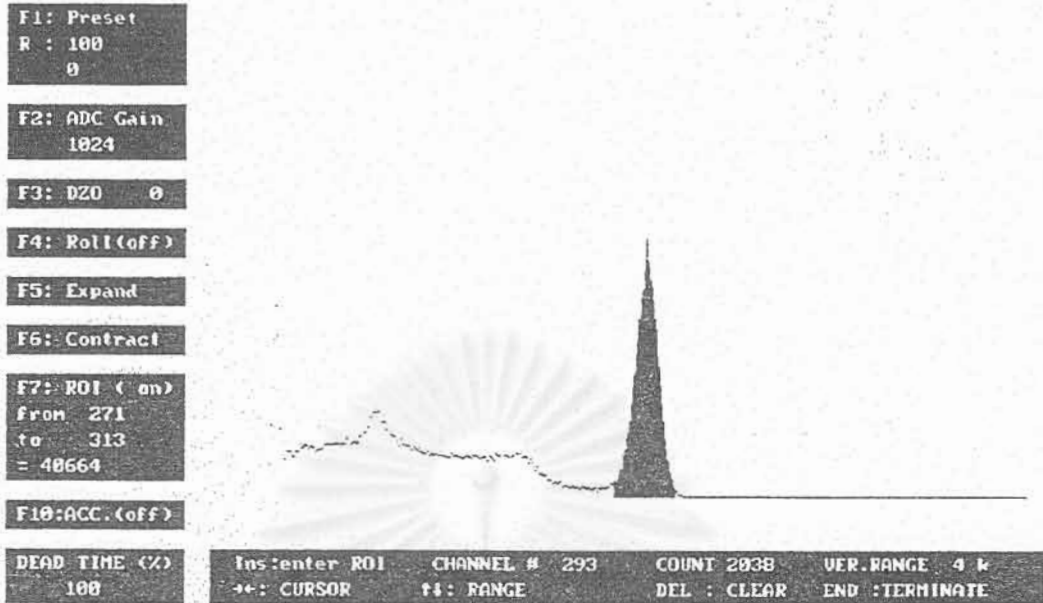
จัดอุปกรณ์ทดสอบการวิเคราะห์สเปกตรัมดังรูปที่ 4.13 ปรับศักดาไฟฟ้าสูงและอัตราขยายให้พอเหมาะกับการวิเคราะห์พลังงานในช่วง 0 ถึง 2 MeV วิเคราะห์พลังงานของรังสีแกมมาจากต้นกำเนิดรังสี Cs-137 และ Co-60 ได้ผลวิเคราะห์ดังรูปที่ 4.14 และ 4.15 จากนั้นทดสอบการใช้ฟังก์ชันการรวมปริมาณนับรังสีในพื้นที่พลังงานโดยใช้ฟังก์ชันคีย์ INS และ F7 ได้ผลดังรูปที่ 4.16 สามารถจะใช้ฟังก์ชันคีย์ F5 และ F6 ในการขยายและเลื่อนสเปกตรัมที่วิเคราะห์ได้ดังรูปที่ 4.17



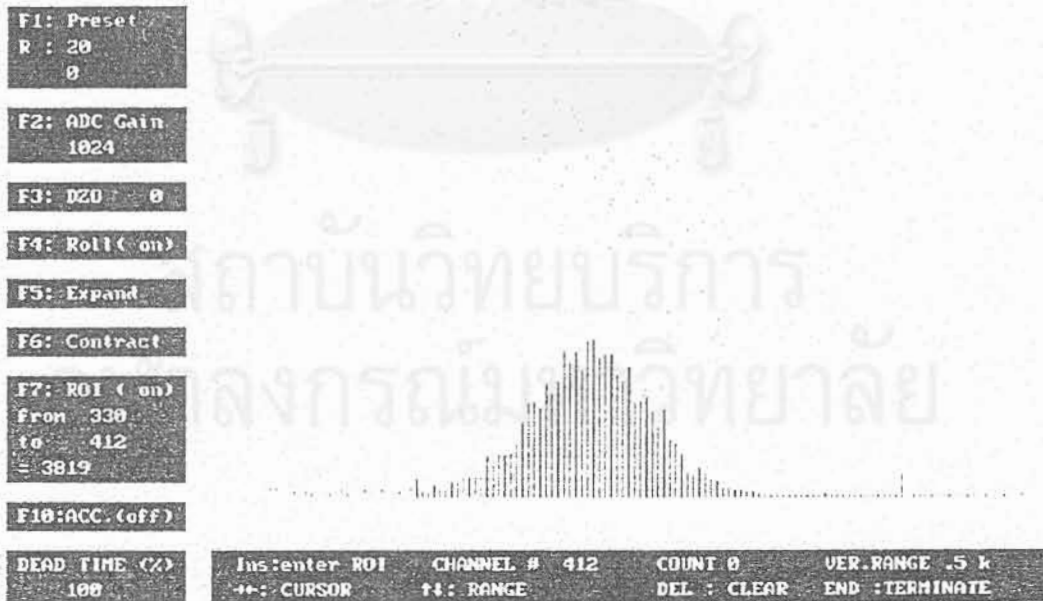
รูปที่ 4.14 ผลวิเคราะห์สเปกตรัมของรังสีแกมมาจาก Cs-137



รูปที่ 4.15 ผลวิเคราะห์สเปกตรัมของรังสีแกมมาจาก Co-60



รูปที่ 4.16 ผลการรวมปริมาณนับรังสีได้พื้นที่ผลพลังงานของ Cs-137 โดยใช้ Integral function



รูปที่ 4.17 ผลการใช้ฟังก์ชันการขยายและเลื่อนสเปกตรัมด้วย ฟังก์ชัน expand และ roll up

บทที่ 5

สรุปผลการวิจัยและข้อเสนอแนะ

5.1 สรุปผลการวิจัย

จากการพัฒนาสิ่งประดิษฐ์อุปกรณ์วิเคราะห์แบบหลายช่องประเภท stand alone ใน 2 ลักษณะ คือ การวิเคราะห์อิเล็กทรอนิกส์เฉพาะส่วน และปรับเปลี่ยนมาเป็นการใช้ไมโครคอมพิวเตอร์ช่วยควบคุมการทำงานของระบบ จนกระทั่งได้ผลการทำงานของอุปกรณ์วิเคราะห์แบบหลายช่องเป็นไปตามที่คิดที่วางขอบเขตไว้ มีข้อสรุปจากการวิจัยดังต่อไปนี้

1. ระยะแรกที่เริ่มพัฒนาในแนวทางของการวิเคราะห์อิเล็กทรอนิกส์เฉพาะส่วนนั้น การพัฒนาเป็นไปได้ยาก เนื่องจากปัญหาในการจัดหาชิ้นส่วนอิเล็กทรอนิกส์เฉพาะส่วน และชิ้นส่วนขนาดเล็ก ซึ่งไม่สามารถหาได้ในประเทศ การทำแผ่นพิมพ์วงจรสองหน้าชนิดพลดทรูโฮล (plated through-holes) ขนาดใหญ่ ในขณะที่นั้นยังไม่มีเทคนิคเพียงพอและแนวโน้มของเทคโนโลยีก้าวหน้าการผลิตวงจรมิโครได้เปลี่ยนแปลงไปทางการผลิตวงจรมิโครที่มีขนาดเล็กหนาแน่นมาก (VLSI) ทำให้มีการเลิกผลิตวงจรมิโครในสเกลเล็กที่ใช้เฉพาะงาน เป็นผลทำให้การพัฒนาอุปกรณ์วิเคราะห์แบบหลายช่องมีช่องมีอุปสรรคมากขึ้น

2. จากแนวโน้มของการเปลี่ยนแปลงทางเทคโนโลยีด้านการผลิตวงจรมิโครและความก้าวหน้าทางเทคโนโลยีคอมพิวเตอร์ จึงได้ปรับเปลี่ยนแนวทางการพัฒนาเป็นการใช้ไมโครคอมพิวเตอร์ช่วยควบคุมการทำงานของระบบ ทำให้มีการใช้วงจรอิเล็กทรอนิกส์ที่ซับซ้อนน้อยลง เพิ่มการใช้โปรแกรมควบคุมการทำงาน ทำให้มีความยืดหยุ่นในการออกแบบและสามารถปรับเปลี่ยนระบบการควบคุมได้ง่าย มีแนวโน้มของค่าใช้จ่ายในส่วนของฮาร์ดแวร์ (hardware) ต่ำกว่าการพัฒนาที่ใช้ชิ้นส่วนอิเล็กทรอนิกส์เฉพาะส่วน ด้วยเหตุผลดังนี้

- 2.1 การพัฒนาแบบใช้ชิ้นส่วนอิเล็กทรอนิกส์เฉพาะส่วน จะต้องสร้างแผ่นพิมพ์วงจรขนาดใหญ่และใช้วงจรอิเล็กทรอนิกส์ที่ซับซ้อนจำนวนมาก รวมทั้งต้องมีระบบแสดงผลบนจอภาพเพิ่มขึ้นอีกส่วนหนึ่ง จึงมีค่าใช้จ่ายสูง

2.2 การใช้งานโรครคอมพิวเตอร์ช่วยควบคุมทาทาให้ลดความซับซ้อนของวงจรอิเล็กทรอนิกส์และมีส่วนแสดงผลในตัว ซึ่งปัจจุบันไมโครคอมพิวเตอร์มีราคาประหยัดขึ้นเหมาะแก่การใช้งานมาก

3. การออกแบบอุปกรณ์วิเคราะห์แบบหลายช่อง โดยมีระบบวัดครึ่งสี่ส่วนหน้าในตัวทาทาให้สะดวกในการจัดระบบวัด โดยเฉพาะการออกแบบระบบวัดในลักษณะโมดูลแยกส่วนตามขนาดมาตรฐาน Eurocard สอดคล้องกับการเปลี่ยนแปลงขนาดมาตรฐานของระบบวัดนิวเคลียร์สากล ซึ่งเริ่มลดขนาดโมดูลลงมาใช้มาตรฐาน Eurocard ดังปรากฏในรายงานของ IAEA-TECDOC 530⁽⁴⁾ ในส่วนนี้ผู้วิจัยได้ขยายผลการวิจัยในด้านของอุปกรณ์วัดนิวเคลียร์แบบโมดูลแยกส่วน โดยใช้โครงบรรจุโมดูลและขนาดโมดูลตามมาตรฐาน Eurocard เรียกชื่อระบบวัดว่า "Mini-Bin Nuclear Instrument" และได้เสนอผลงานวิจัยในการประชุมวิชาการวิทยาศาสตร์และเทคโนโลยีนิวเคลียร์ ครั้งที่ 4 ตุลาคม 2535 ไปแล้ว

4. ผลทดสอบการทำงานของเครื่องต้นแบบ ได้ผลสรุปดังนี้

4.1 แหล่งจ่ายไฟฟ้าสติกคาสูงปรับค่าได้ 0-2000 โวลต์ สามารถจ่ายกระแสได้สูงสุด 100 μ A ความเป็นเชิงเส้นของค่าที่อ่านบนสเกลและสติกคาไฟฟ้าทางออกมีค่า $Y = 188.99x + 35.39$ และมีค่าสหสัมพันธ์เท่ากับ 0.999 มีขนาดของสติกคาละลอกคลื่นขณะจ่ายกระแสเต็มที่น้อยกว่า 50 mV ซึ่งมีคุณภาพเพียงพอที่จะใช้กับหัววัดครึ่งสี่พรอพอร์ชันแนล และหัววัดเรืองรังสีชนิดโรเซียมไอโอไดด์ (ทลเลียม)

4.2 อุปกรณ์ขยายสัญญาณพัลส์ สามารถปรับอัตราขยายได้ 20:1 โดยให้รูปสัญญาณแบบยูนิโพลที่ความกว้างของพัลส์ 4 μ S ความสูงของพัลส์มีความเป็นเชิงเส้นในช่วง 0 ถึง 10 โวลต์ และจากการทดสอบความเป็นเชิงเส้นแบบดิฟเฟอเรนเชียลเป็นไปตามสมการ $Y = -0.11x + 10.98$ มีค่าสหสัมพันธ์เท่ากับ -0.844

4.3 ระบบแปลงสัญญาณพัลส์อนาลอกเป็นสัญญาณเชิงตัวเลขขนาด 10 บิต ใช้ฐานความถี่ขนาด 50 MHz ความเป็นเชิงเส้นในการแปลงสัญญาณ มีค่าสหสัมพันธ์เท่ากับ 0.999

4.4 ระบบวิเคราะห์มีความสามารถในการวิเคราะห์ความสูงของพัลส์ที่พลังงาน 662 keV ของ Cs-137 ในอัตรานับน้อยกว่า 2,000 ครั้งต่อวินาที (120,000 CPM)

5. อุปกรณ์วิเคราะห์แบบหลายช่องควบคุมการทำงานด้วยไมโครคอมพิวเตอร์ที่พัฒนาขึ้นสามารถใช้งานในด้านการศึกษาการสอนและงานวิจัยขั้นพื้นฐานด้านเทคโนโลยีนิวเคลียร์และฟิสิกส์นิวเคลียร์ได้เพียงพอ โดยสามารถพัฒนาขึ้นด้วยตนเองภายในประเทศ ส่วนของระบบที่ประกอบด้วยภาคคือ ส่วนของวงจรแปลงสัญญาณแบบวอลคินสัน ซึ่งในอนาคตสามารถพัฒนาระบบแปลงสัญญาณที่มีความซับซ้อนของวงจรมีลดลง ในรูปแบบของ constant fraction ADC ตามหัวข้อ 2.2.2 ในบทที่ 2

5.2 พิกัดการทำงานของอุปกรณ์วิเคราะห์แบบหลายช่อง

5.2.1 พิกัดของระบบวิเคราะห์ทางฮาร์ดแวร์

แหล่งจ่ายไฟฟ้าเสถียรสูง

สามารถปรับค่าได้จาก 0-2000 โวลต์ จ่ายกระแสไฟได้สูงสุด 100 μ A อ่านค่าเสถียรจากสเกลปรับ 10 รอบ

อุปกรณ์ขยายสัญญาณพัลส์

ภาคขยายส่วนหน้าแบบไวต่อประจุไฟฟ้า ภาคขยายหลักปรับอัตราขยายได้ 20:1 ให้สัญญาณทางออกแบบยูนิโพลาร์ ซึ่งมีขนาดความกว้างพัลส์ 4 μ S สามารถปรับความคลาดเคลื่อนของเส้นฐานสัญญาณด้วย P/Z และ BLR

ระบบแปลงสัญญาณพัลส์อนาล็อก

เป็นแบบวอลคินสัน ขนาด 10 บิต ใช้ความถี่ฐานเวลา 50 MHz สามารถปรับค่า CG ได้เป็นขั้นจาก 512, 1024 และ 2048 และเลือกค่า DZO ได้เป็นขั้นจาก 0, 256, 512, 768, 1024, 1280, 1536 และ 1792

ระบบเชื่อมโยงสัญญาณ

ทำงานแบบ Interrupt service routine controlled I/O รับข้อมูล 10 บิต จาก ADC อ่านข้อมูลเวลาและส่งผ่านสัญญาณควบคุม

ไมโครคอมพิวเตอร์

ใช้ main board รุ่น SUH 286
ความถี่ฐานเวลา 7 MHz หรือ 12
MHz มีหน่วยความจำสำรอง 1 MB
แสดงผลทางจอภาพผ่านแผ่น Hercules
มี Floppy drive ขนาด 1.44 MB,
3.5 นิ้ว 2 ชุด สำหรับอ่านโปรแกรม
และบันทึกข้อมูล

5.2.2 พิกัดของโปรแกรม (Software)

โปรแกรม MCA-NT01

สำหรับควบคุมการทำงานของระบบอิเล็กทรอนิกส์ การอ่านข้อมูลจากระบบแปลงสัญญาณ การแสดงผลของสเปกตรัมและค่าปริมาณ ตลอดจนการจัดการเก็บข้อมูลวิเคราะห์ ได้แก่

- การอ่านปริมาณนับรังสี
- การอ่านผลรวมปริมาณนับรังสี
อัตโนมัติหลังงาน
- การพิมพ์ผลการวิเคราะห์

โปรแกรม MCA-NT01 มีขนาดความจำ 26773 กิโลไบต์ ต้องการใช้ขนาดของหน่วยความจำสำรองอย่างน้อย 640 กิโลไบต์ แสดงผลทางจอภาพไมโครคอมพิวเตอร์

5.3 ปัญหาและอุปสรรค

1. การออกแบบในลักษณะใช้วงจรอิเล็กทรอนิกส์เฉพาะล้วน เมื่อไม่สามารถจัดหาอุปกรณ์ในประเทศได้ เช่น วงจรไมโครเฉพาะงาน จอภาพ CRT สวิตช์โยก (toggle) ขนาดเล็ก สวิตช์เลือก (selector) ขนาดเล็ก จำเป็นต้องสั่งซื้อจากต่างประเทศ ใช้เวลาไม่ต่ำกว่า 1 เดือน หรือมากกว่านั้น

2. การออกแบบแผ่นพิมพ์วงจรขนาดใหญ่ แม้จะใช้โปรแกรมช่วยออกแบบ เช่น Or-Cad Protel ก็ตามจะต้องมีความชำนาญ มิฉะนั้นจะใช้เวลามากและต้องเดินสายภายนอกเพิ่มเติม

มาก นอกจากนั้นการทำแผ่นพิมพ์วงจร (printed circuit board) ระบบเฟลตทริโวลขนาด 1 นิ้วมีราคาแพง และยังไม่มีความสูงพอที่จะใช้กับวงจรอิเล็กทรอนิกส์ที่ซับซ้อนได้

3. ข้อจำกัดในการออกแบบโปรแกรมการติดต่อระหว่างไมโครคอมพิวเตอร์และวงจรภายนอกที่จะทำให้อายุการใช้งานน้อยที่สุดและใช้เทคนิคขั้นสูง ต้องอาศัยการศึกษาและทดลอง จึงทำให้มีข้อจำกัดด้านขีดความสามารถในการอ่านข้อมูลของเครื่องต้นแบบที่พัฒนาขึ้น

4. ความล่าช้าของงานพัฒนาสิ่งประดิษฐ์นี้เกิดจากข้อจำกัดด้านเวลาของผู้วิจัย และความไม่ต่อเนื่องในการทำงาน การดำเนินงานจึงไม่เป็นไปตามแผนที่กำหนดไว้

5.4 ข้อเสนอแนะ

1. การพัฒนาอุปกรณ์วิเคราะห์แบบหลายช่องในขั้นต่อไป เพื่อให้ได้ความไวในการเก็บข้อมูลสัญญาณเชิงตัวเลขจากระบบแปลงสัญญาณ จะต้องแยกไมโครโปรเซสเซอร์เก็บข้อมูลหน่วยความจำเป็นลักษณะการทำงานแบบ DMA (direct memory access) (8) แล้วจึงโอนถ่ายข้อมูลให้ไมโครคอมพิวเตอร์ในช่วงเวลาที่ว่างเว้นจากการประมวลผลข้อมูลในรูปแบบใหม่จริง (time sharing)

2. การพัฒนาโปรแกรมให้แสดงผลบนจอภาพ จะช่วยย่นระยะเวลาการแสดงผลวิเคราะห์ที่มีศักยภาพในการทำงานนอกข้อมูลรายละเอียดต่างๆ ทั้งในส่วนของบริษัทสเปกตรัมและค่าปริมาณ

3. ระบบควบคุมการเลือกฟังก์ชันหรือย่านวิเคราะห์ความสูงของพัลส์ ซึ่งปรับด้วยสวิตช์นั้น ในสภาพแวดล้อมที่มีความชื้นและฝุ่นละอองมาก จะทำให้เกิดความสกปรกบนหน้าสัมผัส และมีความคลาดเคลื่อนในการทำงาน การใช้โปรแกรมควบคุมสวิตช์อิเล็กทรอนิกส์แทนสวิตช์ทางกล จะช่วยแก้ปัญหาได้เป็นอย่างดี และเป็นเทคนิคที่ใช้กับเครื่องมือวิทยาศาสตร์รุ่นใหม่

4. การออกแบบ ADC และระบบเก็บข้อมูลอิสระที่ทำงานแบบ DMA ให้มีขนาดเล็ก จะสามารถขยายผลการวิจัยจากการพัฒนาอุปกรณ์วิเคราะห์แบบหลายช่องประเภท stand alone ไปสู่อุปกรณ์วิเคราะห์แบบแผ่นการ์ด (MCA Card) เสียลงในช่องขยายการทำงานของไมโครคอมพิวเตอร์ซึ่งนิยมใช้กันมาปัจจุบัน

5. แนวทางการพัฒนาสิ่งประดิษฐ์ยังช่วยให้สามารถนำแผ่นวงจรแปลงสัญญาณ (ADC) ในเครื่องวิเคราะห์แบบหลายช่องรุ่นเก่าที่เป็นแบบอิเล็กทรอนิกส์เฉพาะล้วน ซึ่งอาจจะขาดชิ้นส่วนอื่น และไม่สามารถซ่อมบำรุงได้ มาใช้ประโยชน์ได้ต่อไปอีก

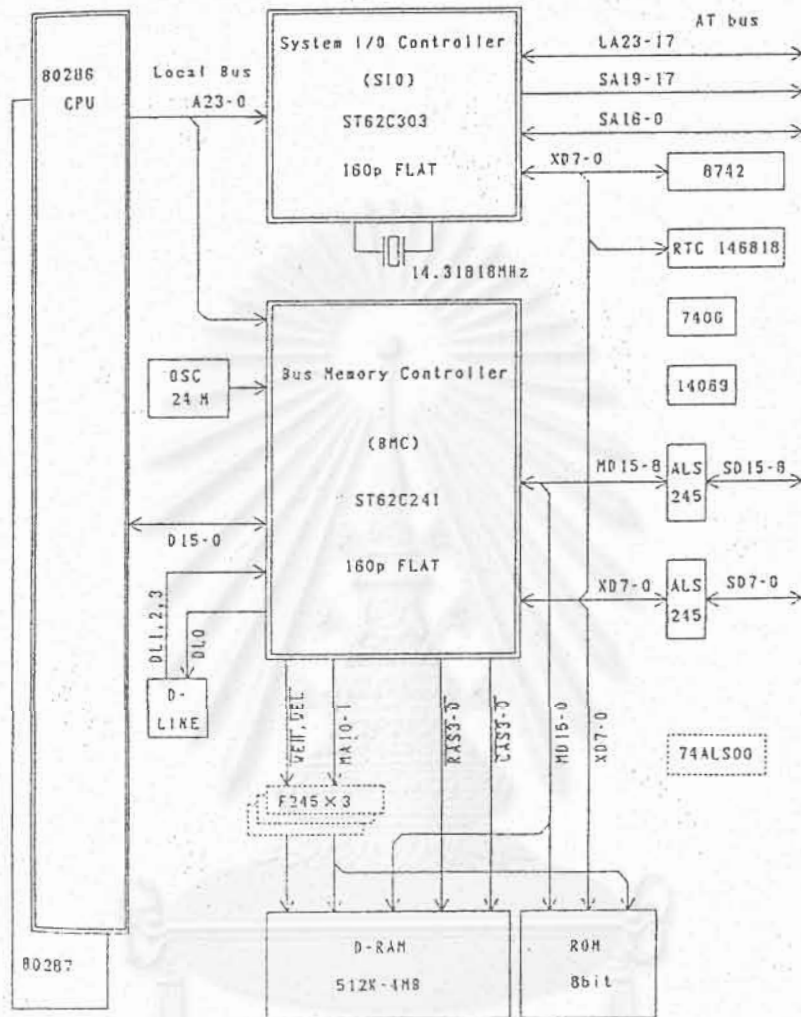
เอกสารอ้างอิง

1. Knoll G.F.. Radiation Detection and Measurement. 2nd ed John Wiley & Sons, Inc., 1979.
2. TN-1705 and TN-1706 Pulse Height Analyzer Technical Manual. Tracor Northern, Inc., ND.
3. Nicholson P.W.. Nuclear Electronics. John Wiley & Sons, Inc., 1974.
4. Nuclear Electronics Laboratory Manual. IAEA-TECDOC-530, 1989.
5. IBM Technical Reference. International Business Machines Corporation, 1981.
6. J.T. Willis and G.W. John. Interfacing Sensors to the IBM PC. Prentice-Hall International, Inc., 1991.
7. IT-5200 Instruction Manual; Ino-Tech, Inc., ND.
8. Protopapas D.A.. Microcomputer Hardware Design. Prentice-Hall International, Inc., 1988.



ภาคผนวก ก.

รายละเอียดของแผนผังจรหลักของไมโครคอมพิวเตอร์

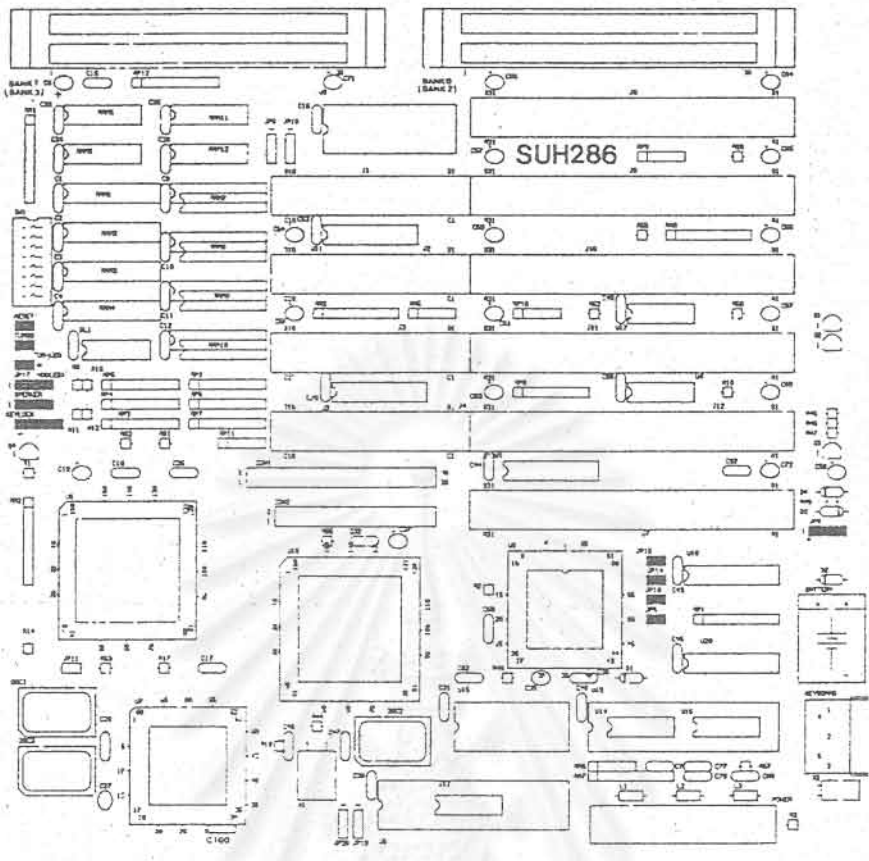


รูปที่ ก.1 แผนภาพของ main board SUH 286

Pin	Description
1	Power Good
2	+ 5 V
3	+ 12 V
4	- 12 V
5	Ground
6	Ground
7	Ground
8	Ground
9	- 5 V
10	+ 5 V
11	+ 5 V
12	+ 5 V

Power Supply Connector
(POWER)

รูปที่ ก.2 ตำแหน่งขาของแหล่งจ่ายไฟฟ้า



รูปที่ ก.3 ตำแหน่งของอุปกรณ์ต่างๆ บน main board SUH 286

I/O SIGNAL	B SIDE	A SIDE	SIGNAL	I/O
- GND	B1	A1	/IOCHCK	I
0 RSTDRV	B2	A2	SD7	I/O
- +5V	B3	A3	SD6	I/O
I IRQ9	B4	A4	SD5	I/O
- -5V	B5	A5	SD4	I/O
I DRQ2	B6	A6	SD3	I/O
- -12V	B7	A7	SD2	I/O
I /OWS	B8	A8	SD1	I/O
- +12V	B9	A9	SD0	I/O
- GND	B10	A10	IOCHRDY	I/O
0 /SMEMW	B11	A11	AEN	O
0 /SMEMR	B12	A12	SA19	I/O
0 /IOW	B13	A13	SA18	I/O
0 /IOR	B14	A14	SA17	I/O
0 /DACK 3	B15	A15	SA16	I/O
I DRQ 3	B16	A16	SA15	I/O
0 /DACK 1	B17	A17	SA14	I/O
I DRQ 1	B18	A18	SA13	I/O
I/O/MEMREF	B19	A19	SA12	I/O
0 SYSCLK	B20	A20	SA11	I/O
I IRQ7	B21	A21	SA10	I/O
I IRQ6	B22	A22	SA9	I/O
I IRQ5	B23	A23	SA8	I/O
I IRQ4	B24	A24	SA7	I/O
I IRQ3	B25	A25	SA6	I/O
0 /DACK 2	B26	A26	SA5	I/O
0 TC	B27	A27	SA4	I/O
0 BUSALE	B28	A28	SA3	I/O
- +5V	B29	A29	SA2	I/O
0 OSC	B30	A30	SA1	I/O
- GND	B31	A31	SA0	I/O

I/O channel pin assignments

รูปที่ ก.4 ตำแหน่งขาของช่องขยายสัญญาณ XT

ภาคผนวก ข.

โปรแกรมสำหรับใช้กับอุปกรณ์วิเคราะห์แบบหลายช่องควบคุมการทำงานไมโครคอมพิวเตอร์

```

.PHA.EXE
;CREATED BY N.HUDSALEAK
;19-9-1991
STACK
SEGMENT STACK
DB 2000H DUP(7)
ENDS
DATA
SEGMENT
DW 4096 DUP(0000H)
DB 4096 DUP(00H)
DW 1024
DW 0000
DW 0000
DW 10
DW 0000
DW 0000
DW 0000
DW 1024
DW 0000
DW 0000
DB 04
DB 040H
DW 0001
DW 0001
DW 0001
DW 0000
DW 0000
DW 08000H
DW 0000
DB 4 DUP(00H)
DB 4 DUP(00H)
DB 10 DUP(00H),00H,00H
DB 20H,20H,20H
DB 07H,08H,09H,07H
DB 00H,00H,00H,00H,00H
DB "NUCLEAR TECHNOLOGY DEPT.:00H
CHULALONGKORN UNIVERSITY",00H
"00",00H
"0",00H
"0",00H,"1",00H,"2",00H,"4",00H,"8",00H
"16",00H,"32",00H,"64",00H
"R ",00H
"1",00H
" ",00H
"F1 Preset",00H,"
"R 100",00H,"
"F2 ADC Gain",00H
"1024 ",00H
"F3 Q20 0",00H
"F4 Roll",00H
"F5 Expand",00H,"
"F6 Contract",00H
"FT ROI",00H
"Item 0",00H,"
"to 0",00H,"
" ",00H,"
"FI DAC",00H
"DEAD TIME",00H
"0 ",00H,"
"the enter ROI",00H
"CHANNEL # 0",00H,"
"COUNT",00H,"
"YER RANGE 5 K",00H
"01AH 018H",00H,"
"018H 019H",00H,"
"DEL CLEAR",00H DB "END TERMINATE",00H
BYTAB DW 336,261,241,215,189,163,137,89,43,43
BHTAB DW 44,33,15,15,15,15,30,16,30,30
BXTAB DW 0,0,0,0,0,0,0,17
YTAB DW 15,15,15,15,15,15,15,17
331,317,277,263,237,211,185,159,133,119,105,91,65,39,25
39,39,39,39,25,25,25,25
XTAB DW 0,0,0,0,0,0,0,0,0,0,0,0,144,280,432,576,144,280
432,576
348 DUP(0000H)
348 DUP(0000H)
DW 0000H
DW 0000H
DW 2000H
DW 0000H
DB "100,4 DUP(20H),00H,00H
"XXX",4 DUP(20H),00H,00H
D710H
230H
20H
20H
A.COMMAND.COM,00H
ENDS
SEGMENT
PROC FAR
ASSUME CS CODE
PUSH DS
SUB AX,AX
PUSH AX
MOV AX,DATA
MOV DS,AX
ASSUME DS DATA
MOV AX,STACK
MOV SS,AX
ASSUME SS STACK
MOV AX,350AH
INT 21H
POP ES
PUSH AX
MOV DS:[SG_OLD],AX
MOV DS:[CF_OLD],BX
PUSH DS
PUSH CS
POP DS
MOV AX,250AH
MOV DX,OFFSET COLCT
INT 21H
POP DS
MOV DX,21H
IN AL,DX
AND AL,0FBH
OUT DX,AL
MOV DX,715H
IN AL,DX
INC DX
OUT DX,AL
MOV AX,05AH
MOV CX,057H
MOV BX,0000H
LEA DI,ROW_TAB
CALL MKTAB
MOV AX,05AH
MOV CX,045H
MOV BX,16H
LEA DI,MCA_TAB
CALL MKTAB
CALL CMOD
CALL MAKEBOX
PUSH SP

```

```

CALL SHOW
POP BP
MOV DX,714H ;OFF CLOCK/ACC. MOV AL,00H
OUT DX,AL
INC DX
COLGT: OUT DX,AL ;START ADC0803 JMP PTEMP
      CL
      PUSH AX
      PUSH DX
      PUSH SI
      PUSH DS
      PUSHF
      MOV AX,DATA
      MOV DS,AX
      MOV DX,0714H
      IN AL,DX
      MOV AH,AL
      INC DX
      IN AL,DX
      MOV SI,AX
      SHL SI,1
      MOV AX,DS:MCA_BUF[SI]
      INC AX
      MOV DS:MCA_BUF[SI],AX
      PUSH DX
      MOV DX,020H
      MOV AL,020H
      OUT DX,AL
      POP DX
      INC DX
      OUT DX,AL
      POPF
      POP DS
      POP SI
      POP DX
      POP AX
      STI
      IRET
MAIN:  MOV AX,DS:[SUB_COUNT]
CHK_WN: MOV DS:[PLT_BUF],AX
        MOV BX,DS:[BEG_WN]
        CMP AX,BX
        JB MID_WAY
        MOV BX,DS:[END_WN]
        CMP AX,BX
        JA MID_WAY
        MOV BL,DS:[STATUS]
        TEST BL,02H
        JZ MAX_PLT
        JMP MAX_PLT
MID_WAY: JMP NOT_PLT
MAX_PLT: MOV SI,AX
        SHL SI,1
        MOV SI,DS:MCA_BUF[SI]
        MOV DI,DS:[RNG_MSK]
        TEST SI,DI
        JNZ RUB
        JMP NOT_PLT
RUB:   MOV SI,AX
        XOR DH,DH
        MOV DL,DS:VDD_BUF[SI]
        MOV SI,DX
        MOV BX,AX
        PUSH BX
        MOV DX,DS:[BEG_WN]
        SUB BX,DX
        MOV CL,DS:[STATUS]
        MOV CX,DS:[WIN_FAC]
        TEST CL,04H
        JZ ZOOM_IN
        SHR BX,CL
        JMP RUB_1
ZOOM_IN: SHL BX,CL
RUB_1:  MOV DI,DS:[BEG_ROI]
        CMP AX,DI
        JB CHK_CUR
        MOV DX,DS:[END_ROI]
        CMP AX,DX
        JA CHK_CUR
        CMP DX,DI
        JE CHK_CUR
        MOV CL,DS:[PHN_POS]
        MOV DS:[PHN_POS],AX
        CALL WPHN
        MOV DS:[PHN_POS],DI
        JMP ONY_VWR
        MOV DX,DS:[CUR_POS]
        CMP DX,AX
        JNZ ONY_RUB
        CALL RCUR
        CALL RDOT
        POP SI
        MOV CX,DS:[RNG_FAC]
        SHL SI,1
        MOV SI,DS:MCA_BUF[SI]
        SHR SI,CL
        CMP SI,0FFH
        JBE PLT
        SUB SI,0FFH
        JMP CLIP
CLIP:  PUSH BX
        MOV BX,AX
        MOV DX,SI
        MOV CS:VDD_BUF[BX],DL
        MOV AX,DS:[CUR_POS]
        CMP BX,AX
        JNZ NOT_MAT
        CALL WCUR
        CALL WCNT
        POP BX
        CALL WOOT
        MOV AX,DS:[SUB_COUNT]
        DEC AX
        CMP AX,DS:[BEG_WN]
        JNZ DUK
        CALL DROI
        CALL REAL
        CALL DEAD
        MOV AX,DS:[TIME]
        CMP AX,00H
        JA TRD
        MOV DX,714H
        OUT DX,AL
        JMP FID_4
TRD:  MOV AX,DS:[END_WN]
DUK:  MOV DS:[SUB_COUNT],AX
        MOV AX,DS:[SEQ]
        DEC AX
        JZ KEY_PRES
        MOV DS:[SEQ],AX
        JMP MAIN
KEY_PRES: MOV AX,DS:[TIME]
        CMP AX,00H
        JA TDK
        MOV AL,DS:[TIME_SEL]

```



สถาบันวิทยบริการ
 ภาควิชาวิศวกรรมคอมพิวเตอร์
 วิทยาลัยเทคโนโลยีพระจอมเกล้าธนบุรี

```
AND AL,07FH
MOV DX,714H
OUT DX,AL
JMP F10_4
MOV AX,10
MOV DS:[SEQ]AX
XOR AL,AL
MOV AH,01H
INT 16H
JNZ TEMP
PRE_MPL:
JMP MAIN
PTEMP:
MOV AH,00H
INT 16H
TEMP:
CMP AH,04BH ;UP
JNZ T_1
CALL UP
CALL WRNG
JMP RK
T_1:
CMP AH,050H ;DOWN
JNZ T_2
CALL DOWN
CALL WRNG
JMP RK
T_2:
CMP AH,04DH ;RIGHT ARROW
JNZ T_3
MOV AL,DS:[STATUS]
TEST AL,10H
JZ RA_2
PUSH AX
CALL MRPH
POP AX
RA_2:
TEST AL,08H
JZ RA_1
CALL RROLL
JMP RK
RA_1:
CALL MR
JMP RK
T_3:
CMP AH,04BH ;LEFT ARROW
JNZ T_4
MOV AL,DS:[STATUS]
TEST AL,10H
JZ LA_2
PUSH AX
CALL MLPH
POP AX
LA_2:
TEST AL,08H
JZ LA_1
CALL LROLL
JMP RK
LA_1:
CALL ML
JMP RK
T_4:
CMP AH,03FH ;F5 ZOOM IN
JNZ T_5
CALL F5
JMP RK
T_5:
CMP AH,040H ;F6 ZOOM OUT
JNZ T_6
CALL F6
JMP RK
T_6:
CMP AH,03EH ;F4 ROLL
JNZ T_7
MOV AL,DS:[STATUS]
TEST AL,06H
JNZ F4_1
OR AL,08H
LEA DI,RSG_2
JMP F4_3
F4_1:
AND AL,07FH
LEA DI,RSG_1
MOV DS:[STATUS]AL
MOV BX,72
MOV SI,211
CALL RWSTR
JMP RK
T_7:
CMP AH,041H ;F7 ROL
JNZ T_8
MOV AL,DS:[STATUS]
TEST AL,02H
JNZ F7_1
OR AL,04H
LEA DI,RSG_2
JMP F7_2
F7_1:
AND AL,0FDH
LEA DI,RSG_1
MOV DS:[STATUS]AL
MOV BX,72
MOV SI,133
CALL RWSTR
JMP RK
T_8:
CMP AH,052H ;INS enter col
JNZ T_9
MOV AL,DS:[STATUS]
TEST AL,10H
JNZ INS_1
OR AL,10H
MOV BX,DS:[CUR_POS]
MOV DS:[PHN_POS],BX
MOV DS:[BEG_ROI],BX
PUSH AX
CALL WPHN
MOV AX,DS:[PHN_POS]
MOV BX,56
MOV SI,119
CALL WDEC
POP AX
JMP INS_2
INS_1:
AND AL,0EFH
MOV BX,DS:[PHN_POS]
MOV DS:[END_ROI],BX
CALL FSTOI
INS_2:
MOV DS:[STATUS]AL
JMP RK
INS_E:
T_9:
CMP AH,38H ;F1 PRESET REAL TIME
JNZ T_10
MOV BX,8
MOV SI,317
LEA DI,RSG_4
CALL RSSTR
MOV AX,0710H
MOV DS:[TIME_PRT]AX
MOV AL,030H
MOV DS:[TIME_CRL]AL
MOV AL,00H
MOV DS:[TIME_LAT]AL
MOV AL,00H
MOV DS:[TIME_SELL]AL
PUSH DS
POP ES
CLD
MOV CX,6
LEA DI,TIME_TEM
MOV AL,20H
REP STOSB
CALL KEYSR
CALL INSTT
```



```
MOV BX,40
MOV SI,303
LEA DI,BLANK
CALL RSSTR
MOV BX,40
MOV SI,303
MOV AX,DS[TIME]
CALL WDEC
JMP RK
T_10: CMP AH,04FH ;F10 ACCUMULATOR ONOFF
      JNZ T_11
F10_4: MOV DS,[STATUS]
      TEST BL,01H
      JZ F10_1
      AND BL,0FEH
      MOV AL,DS[TIME_SEL]
      AND AL,07FH
      LEA DI,RSQ_1
      JMP F10_2
F10_1: OR BL,01H
      PUSH BX
      CALL RSSTR
      POP BX
      MOV AL,DS[TIME_SEL]
      OR AL,80H
F10_2: LEA DI,RSQ_2
      MOV DS,[STATUS],BL
      MOV DX,714H
      OUT DX,AL
      MOV BX,72
      MOV SI,65
      CALL RSSTR
      JMP RK
T_11:  CMP AH,84 ;SHIFT F1 PREESET DEAD TIME
      JNZ T_12
      MOV BX,8
      MOV SI,317
      LEA DI,REQ_5
      CALL RSSTR
      MOV AX,0711H
      MOV DS,[TIME_PRT],AX
      MOV AL,070H
      MOV DS,[TIME_CR],AL
      MOV AL,040H
      MOV DS,[TIME_LAT],AL
      MOV AL,01H
      MOV DS,[TIME_SEL],AL
      JMP F1_1
T_12:  CMP AH,83 ;DEL CLEAR MEMORY
      JNZ T_13
      PUSH DS
      POP ES
      CLI
      LEA DI,MCA_BUF
      XOR AX,AX
      MOV CX,2048
      REP STOSW
      STI
      CALL CLR
      CALL UOT_SCR
      JMP RK
T_13:  CMP AH,03CH ;F2 ADC GAIN
      JNZ T_14
      CALL DDC
      JMP RK
T_14:  CMP AH,03DH ;F3 DIGITAL ZERO OFFSET
      JNZ T_15
      CALL DZO
      JMP RK
T_15:  CMP AH,04FH ;END TERMINATE PROGRAM
      JZ BYE
RK:    MOV AH,01H
      INT 16H
      JZ RKE
      MOV AH,00
      INT 16H
RKE:   MOV AL,DS[STATUS]
      TEST AL,01H
      JZ RK_1
      JMP PRE_MN
      JMP PTEMP
      MOV AH,00H ;SCREEN TEXT WDEC
      INT 01H
      MOV DX,714H
      XOR AX,AX
      OUT DX,AL
      PUSH DS
      MOV DX,DS[OFF_OLD]
      MOV AX,CS[SIG_OLD]
      PUSH AX
      POP DS
      MOV AX,250AH
      INT 21H
      POP DS
      CLI
      MOV DX,21H
      IN AL,DX
      OR AL,04H
      OUT DX,AL
      STI
      MOV AX,0C12H
      INT 21H
      MOV AH,00
      MOV AL,C2
      INT 10H
      INT 019H
      MOV AH,4CH ;BACK TO DOS
      MOV AL,00
      INT 021H
      PROC NEAR ;INPUT PREESET TIME
      LEA SI,TIME_TEM
      LEA DI,TIME_TEM
      PUSH SI
      PUSH DI
      MOV BX,32
      MOV SI,317
      CALL RSSTR
      MOV AX,0C12H
      INT 21H
      POP DI
      POP SI
      MOV AX,00H
      INT 16H
      CMP AH,0EH ;BLACK SPACE JNZ KESE_2
      CMP DI,SI
      JZ KESE_1
      MOV AL,20H
      MOV DS,[SI],AL
      DEC SI
      JMP KESE_1
      MOV AX,01H ;ESC
      JNZ KESE_3
      LEA DI,TIME_BUF
      MOV BX,32
      KESE_2:
      KESE_3:
```

```
MOV SI,317
CALL RSSTR
JMP KESE
KESE_3:  CMP AH,1CH ;ENTER
        JNZ KESE_5
        MOV CX,5
        LEA DI,TIME_BUF
        LEA SI,TIME_TEM
        MOV AL,DS:[SI]
        MOV DS:[DI],AL
        INC DI
        INC SI
        LOOP KESE_4
KESE_5:  JMP KESE
        CMP AL,30H ;FILTER NUMERRIC
        JB KESE_1
        CMP AL,39H
        JA KESE_1
        MOV BX,DI
        ADD BX,5
        CMP SI,BX
        JBE KESE_5
        JMP KESE_1
KESE_6:  INC SI
        MOV DS:[SI],AL
        JMP KESE_1
KESE:  KEYSER
MRPH:  PROC NEAR ;MOVE PHANTOM RIGHT
        MOV AX,DS:[PHN_POS]
        INC AX
        MOV DS:[PHN_POS],AX
        MOV DS:[END_ROI],AX
        CALL WPHN
        CALL WTO
        RET
MRPH:  MLPH
        PROC NEAR
        CALL RPHN
        MOV AX,DS:[PHN_POS]
        DEC AX
        MOV DS:[PHN_POS],AX
        MOV DS:[END_ROI],AX
        CALL WTO
        RET
MLPH:  WTO
        PROC NEAR
        MOV AX,DS:[PHN_POS]
        MOV BX,58
        MOV SI,105
        CALL WDEC
        RET
WTO:  MAKRCI
        PROC NEAR ;MAKE ROI
        PUSH AX
        PUSHF
        CLC
        LEA SI,INT_ROI
        MOV BX,DS:[SI]
        MOV AX,DS:[SI+2]
        INC AX
        ADC BX,00H
        MOV DS:[SI+2],AX
        MOV DS:[SI],BX
        XCHG AH,AL
        MOV DS:[SI+2],AX
        XCHG BH,BL
        MOV DS:[SI],BX
        CALL V89DI
        POPF
        POP AX
        RET
MAKRCI:  LROLL
        PROC NEAR ;LEFT ROLL
        MOV AX,DS:[BEG_WN]
        DEC AX
        CMP AX,00H
        JGE LROLL_1
        MOV AX,00H
        MOV DS:[BEG_WN],AX
        JMP LROLL_2
        MOV DS:[END_WN],AX
        MOV AX,DS:[END_WN]
        DEC AX
        MOV DS:[END_WN],AX
        MOV AX,DS:[CUR_POS]
        DEC AX
        CMP AX,00H
        JGE LROLL_3
        MOV AX,00H
        MOV DS:[CUR_POS],AX
        CALL CLR
        CALL UDT_SCR
        RET
LROLL:  RROLL
        PROC NEAR ;RIGHT ROLL
        MOV AX,DS:[END_WN]
        INC AX
        CMP AX,2048
        JBE RROLL_1
        MOV AX,2048
        MOV DS:[END_WN],AX
        JMP RROLL_2
        MOV DS:[END_WN],AX
        MOV AX,DS:[BEG_WN]
        INC AX
        MOV DS:[BEG_WN],AX
        MOV AX,DS:[CUR_POS]
        INC AX
        CMP AX,2048
        JBE RROLL_3
        MOV AX,2048
        MOV DS:[CUR_POS],AX
        CALL CLR
        CALL UDT_SCR
        RET
RROLL:  DOWN
        PROC NEAR ;DECR RANGE
        PUSH BX
        MOV AX,DS:[RNG_FAC]
        DEC AX
        JNZ DOWN_1
        MOV AX,31H
        JMP DOWN_2
        MOV BX,DS:[RNG_MSK]
        SHR BX,1
        MOV DS:[RNG_MSK],BX
        MOV DS:[RNG_FAC],AX
        CALL CLR
        CALL RCUR
        CALL UDT_SCR
        POP BX
        RET
DOWN:  UP
        PROC NEAR ;INCR RANGE
```



สถาบันวิทยบริการ
จุฬาลงกรณ์มหาวิทยาลัย

```

MOV AX,DS[RNG_FAC]
INC AX
CMP AX,0BH
JBE UP_1
MOV AX,0BH
MOV DS:[RNG_FAC],AX
PUSHF
MOV CX,AX
XOR AX,AX
STC
RCL AX,1
LOOP UP_2
POPF
MOV DS:[RNG_MSK],AX
CALL CLR
CALL RCUR
CALL UDT_SCR
RET
ENDP
PROC NEAR MAKE_MASK
XOR AX,AX
PUSHF
MOV CX,DS[RNG_FAC]
STC
RCL AX,1
LOOP MSK_1
POPF
MOV DS:[RNG_MSK],AX
RET
ENDP
PROC NEAR ZOOM_IN
MOV AL,DS[STATUS]
TEST AL,04H
JNZ FS_1
MOV AX,DS[WIN_FAC]
INC AX
MOV DS:[WIN_FAC],AX
JMP DRAW_1
DEC AX
CMP AX,20H
JGE FS_3
MOV AL,DS[STATUS]
AND AL,0FBH
MOV DS:[STATUS],AL
MOV AX,01H
MOV DS:[WIN_FAC],AX
JMP DRAW_1
CALL MAKWIN
CALL CLR
CALL UDT_SCR
RET
ENDP
PROC NEAR ZOOM_OUT
MOV AL,DS[STATUS]
TEST AL,04H
JZ FS_1
MOV AX,DS[WIN_FAC]
INC AX
MOV DS:[WIN_FAC],AX
JMP DRAW_2
MOV AX,DS[WIN_FAC]
DEC AX
CMP AX,00H
JGE FS_3
MOV AL,DS[STATUS]
OR AL,04H
MOV DS:[STATUS],AL
MOV AX,01H
MOV DS:[WIN_FAC],AX
JMP DRAW_2
CALL MAKWIN
CALL CLR
CALL UDT_SCR
RET
ENDP
PROC NEAR MAKE_BEG_END_WNDOW
MOV AL,DS[STATUS]
TEST AL,04H
JNZ BEW_1
MOV CX,DS[WIN_FAC]
MOV AX,256
SHR AX,CL
MOV DX,DS[CUR_POS]
SUB DX,AX
CAL BEG_WN
CMP DX,00H
JGE BEW_2
MOV DX,00H
MOV DS:[BEG_WN],DX
SHL AX,1
ADD DX,AX
MOV DS:[END_WN],DX
JMP BEW_6
MOV DS:[BEG_WN],DX
SHL AX,1
ADD DX,AX
CAL END_WN BEW_6
CMP DX,2048
JBE BEW_3
MOV DX,2048
MOV DS:[END_WN],DX
SHL AX,1
MOV DX,2048
SUB DX,AX
MOV DS:[BEG_WN],DX
JMP BEW_E
MOV DS:[END_WN],DX
JMP BEW_5
MOV CX,DS[WIN_FAC]
CMP CX,02H
JBE BEW_5
MOV CX,02H
MOV DS:[WIN_FAC],CX
MOV AX,256
SHL AX,CL
JMP BEW_4
RET
ENDP
PROC NEAR MOVE_CURSOR_LEFT
PUSH AX
CALL RCUR
MOV AX,DS[CUR_POS]
INC AX
MOV DX,DS:[END_WN]
CMP AX,DX
JBE MR_1
MOV AX,DS:[BEG_WN]
MOV DS:[CUR_POS],AX
CALL WCUR
CALL WCNT
CALL WCHN
POP AX
RET
ENDP
PROC NEAR MOVE_CURSOR_RIGHT
PUSH AX

```



สถาบันวิทยบริการ
 วิทยาลัยเทคโนโลยีพระจอมเกล้าธนบุรี

```

CALL RCUR
MOV AX,DS[CUR_POS]
DEC AX
MOV DX,DS[BEG_WN]
CMP AX,DX
JGE ML_1
ML_1:
MOV AX,DS[END_WN]
MOV DS[CUR_POS]AX
CALL WCUR
CALL WCNT
CALL WCHN
POP AX
RET
ENDP

ML
GMOD
PROC NEAR
MOV DX,03BFH
MOV AL,03H
OUT DX,AL
MOV AX,0000H
MOV ES,AX
MOV AL,02H
LEA SI,GTAB
MOV CX,0000H
MOV BX,0000H
PUSHF
PUSH BX
PUSH CX
MOV DX,0288H
OUT DX,AL
MOV DX,C3B4H
MOV CX,000EH
XOR AH,AH
CLD
CLI
MOV AL,AH
OUT DX,AL
INC DX
LODSB
OUT DX,AL
INC AH
DEC DX
LOOP GPARA
POP CX
XOR DI,DI
POP AX
REPZ STOSW
POPF
MOV AL,06
ADD AL,02
PUSH AX
MOV DX,03BAH
IN AL,DX
SHL AL,1
JNB VOFF
VON:
IN AL,DX
SHL AL,1
JB VON
PCP AX
MOV DX,0358H
OUT DX,AL
RET
ENDP
GMOD
MKTAB
PROC NEAR
PUSH DS
POP ES
MOV SI,06000H
PUSH AX
PUSH SI
MOV CX,SI
ADD AX,BX
ADD SI,AX
INC DI
INC DI
POP SI
SUB SI,02000H
PUSH SI
ADD SI,AX
INC DI
INC DI
POP SI
SUB SI,02000H
ADD SI,AX
INC DI
INC DI
POP SI
POP AX
DEC CX
JNZ LP1
RET
ENDP
MKTAB
WOOT
PROC NEAR
PUSH SI
PUSH BX
PUSH ES
PUSH DI
PUSH CX
PUSH AX
MOV AX,DS[ACT_PAG]
MOV ES,AX
MOV CX,BX
SHL SI,1
MOV SI,DS[MCA_TAB][SI]
SHR BX,1
SHR BX,1
ADD SI,BX
AND CL,07H
MOV BL,080H
ROR BL,CL
MOV DI,SI
OR ES:[DI],BL
POP AX
POP CX
POP DI
POP ES
POP BX
POP SI
RET
ENDP
WOOT
RDOT
PROC NEAR
PUSH SI
PUSH BX
PUSH ES
PUSH DI
PUSH CX
PUSH AX

```



สถาบันวิทยบริการ
จุฬาลงกรณ์มหาวิทยาลัย

```
MOV AX,DS[ACT_PAG]
MOV ES,AX
MOV CX,BX
SHL SI,1
MOV SI,DS[MCA_TAB(SI)]
SHR BX,1
SHR BX,1
ADD SI,BX
AND CL,07H
MOV BL,000H
ROR BL,CL
MOV DL,SI
NOT BL
AND ES:[DI],BL
POP AX
POP CX
POP DI
POP ES
POP BX
POP SI
RET
ENDP
PROC NEAR
CLR:
PUSH CX
PUSH DI
PUSH AX
PUSH ES
PUSH SI
PUSHF
MOV AX,DS[ACT_PAG]
MOV ES,AX
MOV CX,C21H
MOV SI,267
SHL SI,1
XOR AX,AX
CCL:
MOV DI,DS[MCA_TAB(SI)]
REP STOSW
DEC SI
DEC SI
MOV CX,C21H
JNZ CCL
MOV SI,00H
MOV DI,DS[MCA_TAB(SI)]
MOV CX,C21H
REP STOSW
POPF
POP SI
POP ES
POP AX
POP DI
POP CX
RET
ENDP
CLR:
WCHR:
PROC NEAR
PUSH ES
PUSH DI
PUSH BP
PUSH CX
MOV CX,BX
SHR BX,1
SHR BX,1
SHR BX,1
MOV BP,000BH
AND CL,07H
XOR DH,DH
PUSHF
CLC
SHL DX,1
SHL DX,1
SHL DX,1
POPF
SHL SI,1
PUSH SI
PUSH BX
MOV SI,ROW_TAB(SI)
ADD SI,BX
MOV AX,0F00H
MOV ES,AX
MOV DI,0FABEH
ADD DI,DX
MOV AH,ES:[DI]
XOR AL,AL
ROR AX,CL
XCHG AH,AL
MOV BX,0B000H
MOV ES,BX
MOV DI,SI
MOV ES:[DI],AX
INC DX
POP BX
POP SI
DEC SI
DEC SI
DEC BP
JNZ MC1
POP CX
POP BP
POP DI
POP ES
RET
ENDP
WCHR:
WSTR:
SSTR:
PROC NEAR
MOV DL,DS:[DI]
CMP DL,00H
JZ ESTR
PUSH BX
PUSH SI
PUSH DI
CALL WCHR
POP DI
POP SI
POP BX
ADD BX,0BH
INC DI
JMP SSTR
RET
ENDP
ESTR:
WSTR:
WCUR:
PROC NEAR
PUSH AX
PUSH BX
PUSH CX
PUSH DI
PUSH ES
PUSH SI
PUSHF
MOV AX,0B000H
MOV ES,AX
MOV BX,DS[CUR_POS]
MOV AX,DS[BEG_VMN]
SUB BX,AX
MOV CX,DS[VMN_FAC]
MOV AL,DS[STATUS]
TEST AL,04H
```

00: JZ #
SHR BX,CL
JMP OO
SHL BX,CL
MOV SI,DS:[CUR_POS]
MOV AL,DS:[VDO_BUF][SI]
XOR AH,AH
MOV SI,AX
INC SI
SHL SI,1
MOV CX,BX
SHR BX,1
SHR BX,1
SHR BX,1
AND CL,07H
MOV AL,080H
ROR AL,CL
MOV CX,0AH
CCUR: PUSH SI
MOV SI,DS:MCA_TAB[SI]
ADD SI,BX
MOV DI,SI
OR ES,[DI],AL
POP SI
INC SI
INC SI
LOOP CCUR
POPF
POP SI
POP ES
POP DI
POP CX
POP BX
POP AX
RET
WCUR: ENDP
RCUR: PROC NEAR
PUSH AX
PUSH BX
PUSH CX
PUSH DI
PUSH ES
PUSH SI
PUSHF
MOV AX,08000H
MOV ES,AX
MOV BX,DS:[CUR_POS]
MOV AX,DS:[BEG_WN]
SUB BX,AX
MOV CX,DS:[WN_FAC]
MOV AL,DS:[STATUS]
TEST AL,04H
JZ TT
SHR BX,CL
TT: JMP OO
SHL BX,CL
MOV SI,DS:[CUR_POS]
MOV AL,DS:[VDO_BUF][SI]
XOR AH,AH
MOV SI,AX
INC SI
INC SI
SHL SI,1
MOV CX,BX
SHR BX,1
SHR BX,1
SHR BX,1
AND CL,07H
MOV AL,080H
ROR AL,CL
NOT AL
MOV CX,0AH
ECCR: PUSH SI
MOV SI,DS:MCA_TAB[SI]
ADD SI,BX
MOV DI,SI
AND ES,[DI],AL
POP SI
INC SI
INC SI
LOOP ECCR
POPF
POP SI
POP ES
POP DI
POP CX
POP BX
POP AX
RET
RCUR: ENDP
UDT_SCR: PROC NEAR
PUSH AX
PUSH BX
PUSH CX
PUSH DX
PUSH SI
PUSH DI
PUSH ES
PUSHF
MOV DX,DS:[ENO_WN]
MOV AX,DS:[BEG_WN]
SUB DX,AX
INC DX
MOV BX,DS:[BEG_WN]
MOV AL,DS:[STATUS]
TEST AL,04H
JZ ZIN
ZDUT: MOV SI,BX
SHL SI,1
MOV SI,DS:MCA_BUF[SI]
CALL SCALE
MOV AX,SI
MOV DS:[VDO_BUF][BX],AL
PUSH BX
MOV AX,DS:[BEG_WN]
SUB BX,AX
MOV CX,DS:[WN_FAC]
SHR BX,CL
CALL WDOT
POP BX
INC BX
DEC DX
JNZ ZCUT
JMP NN
ZIN: MOV SI,BX
SHL SI,1
MOV SI,DS:MCA_BUF[SI]
CALL SCALE
MOV AX,SI
MOV DS:[VDO_BUF][BX],AL
PUSH BX
MOV AX,DS:[BEG_WN]
SUB BX,AX
MOV CX,DS:[WN_FAC]



งานวิทยบริการ
กองกรรมมหาวิทยาลัย

```

SHL BX,CL
CALL WOOT
POP BX
INC BX
DEC DX
JNC ZIN
NN: CALL WCUR
CALL WCNT
CALL WCHN
MOV BX,DS:[END_WN]
MOV AX,DS:[BEG_ROI]
CMP AX,BX
JA UDTE
MOV BX,DS:[BEG_WN]
MOV AX,DS:[END_ROI]
CMP AX,BX
JB UDTE
MOV AX,DS:[BEG_ROI]
MOV CX,DS:[END_ROI]
CMP AX,CX
JAE UDTE
MOV DX,DS:[PHN_POS]
PUSH DX
MOV BX,DS:[BEG_WN]
CMP AX,BX
JAE KT_1
MOV AX,DS:[BEG_ROI]
MOV BX,DS:[BEG_WN]
CMP AX,BX
JAE KT_1
MOV AX,DS:[END_WN]
MOV BX,DS:[END_WN]
CMP CX,BX
JBE KT_2
KT_1: MOV CX,DS:[END_WN]
KT_2: SUB CX,AX
ROI_L: INC CX
PUSH AX
MOV DS:[PHN_POS],AX
CALL WPHN
POP AX
INC AX
LOOP ROI_L
POP DX
UDTE: MOV DS:[PHN_POS],DX
POPF
POP ES
POP DI
POP SI
POP DX
POP CX
POP BX
POP AX
RET
UOT_SCR: ENDP
SCALE: PROC NEAR
MOV CX,DS:[RING_FAC]
SHR SI,CL
CMP SI,OFFH
JBE BCK
SUB SI,OFFH
JMP E_1
BCK: SCALE: RET
WDEC: ENDP
PROC NEAR ;WRITE DECIMAL
PUSH AX ;AX VALUE TO WRITE
PUSH DX ;SI = Y
CMP AX,02710H
JGE N_1
CMP AX,03E8H
JGE N_2
CMP AX,054H
JGE N_3
CMP AX,0AH
JGE N_4
CMP AX,0
JGE N_5
MOV CX,02710H
CALL DGIT
N_1: MOV CX,03E8H
CALL DGIT
N_2: MOV CX,054H
CALL DGIT
N_3: MOV CX,0AH
CALL DGIT
N_4: MOV CX,01H
CALL DGIT
POP DX
POP CX
POP AX
RET
WDEC: ENDP
PROC NEAR
PUSH DI
PUSH SI
PUSH BX
MOV DI,AX
XOR DX,DX
DIV CX
MOV DI,DX
MOV DI,AL
ADD DL,030H
CALL RE_WCHR
MOV AX,DI
POP BX
ADD BX,08H
POP SI
POP DI
RET
DGIT: ENDP
PROC NEAR
PUSH CX
PUSH DI
PUSH AX
PUSH ES
PUSH SI
PUSHF
MOV AX,DS:[ACT_PAG]
MOV ES,AX
MOV AX,OFFFPH
CLD
PUSH CX
PUSH SI
SHL SI,1
MOV DI,DS-ROW_TAB[SI]
ADD DI,BX
REP STOSB
POP SI
DEC SI
POP CX
DEC DX
JNZ BOX_1
POPF
POP SI
POP ES

```



สถาบันวิทยบริการ
 ภาควิชาคอมพิวเตอร์ มหาวิทยาลัย

```
POP AX
POP DI
POP CX
RET
ENDP
PROC NEAR
RE_WCHR:
  PUSH ES
  PUSH DI
  PUSH BP
  PUSH CX
  MOV CX,BX
  SHR BX,1
  SHR BX,1
  MOV BP,000BH
  AND CL,07H
  XOR DI,DI
  PUSHF
  CLC
  SHL DX,1
  SHL DX,1
  SHL DX,1
  POPF
  SHL SI,1
  PUSH SI
  PUSH BX
  MOV SI,RCW_TAB[SI]
  ADD SI,BX
  MOV AX,DF00H
  MOV ES,AX
  MOV DI,DFABEH
  ADD DI,DI
  MOV AH,ES[DI]
  XOR AL,AL
  ROR AX,CL
  XCHG AH,AL
  NOT AX
  MOV BX,0B00H
  MOV ES,BX
  MOV DI,SI
  MOV ES[DI],AX
  INC DX
  POP BX
  POP SI
  DEC SI
  DEC SI
  DEC BP
  JNZ RMC1
  POP CX
  POP BP
  POP DI
  POP ES
  RET
ENDP
PROC NEAR
RE_WCHR:
RWSTR:
  MOV DL,DS[DI]
  CMP DL,DDH
  JZ RESTR
  PUSH BX
  PUSH SI
  PUSH DI
  CALL RE_WCHR
  POP DI
  POP SI
  POP BX
  ADD BX,0BH
  INC DI
  JMP RWSTR
  RET
ENDP
PROC NEAR
RESTR:
RWSTR:
SHOW:
  LEA DI,SQ_3
  XOR BP,BP
  MOV BX,DS:XTAB[BP]
  MOV SI,DS:YTAB[BP]
  PUSH BP
  PUSH DI
  CALL RWSTR
  POP DI
  POP BP
  ADD DI,15
  ADD BP,2
  CMP BP,4B
  JNZ SHW_1
  RET
ENDP
PROC NEAR
SHOW:
MAKBOX:
MK8_1:
  XOR DI,DI
  PUSH DI
  MOV SI,DS:BYTAB[DI]
  MOV DI,DS:BHTAB[DI]
  MOV BX,DS:BTAB[DI]
  MOV CX,DS:BWYTAB[DI]
  CALL BOX
  POP DI
  ADD DI,C2
  CMP DI,20
  JNZ MK8_1
  RET
ENDP
PROC NEAR
MAKBOX:
WPHN:
  PUSH AX
  PUSH BX
  PUSH CX
  PUSH DI
  PUSH ES
  PUSH SI
  PUSHF
  MOV AX,0B00H
  MOV ES,AX
  MOV BX,DS:PHN_POS
  MOV AX,DS:BEG_WPN
  SUB BX,AX
  MOV CX,DS:WPN_FAC
  MOV AL,DS:STATUS
  TEST AL,04H
  JZ WPN_1
  SHR BX,CL
  JMP WPN_2
  SHL BX,CL
  MOV CX,BX
  SHR BX,1
  SHR BX,1
  SHR BX,1
  AND CL,07H
  MOV AL,00H
  ROR AL,CL
  MOV SI,DS:PHN_POS
  MOV CL,DS:VDO_BUF[SI]
  XOR CH,CH
  XOR SI,SI
  CMP CX,00H
  JZ WPN_4
  PUSH SI
  MOV SI,DS:MCA_TAB[SI]
```



```
ADD SI,BX
MOV D,SI
OR ES:[DI],AL
POP SI
INC SI
INC SI
LOOP WPN_3
WPN_4:
POPF
POP SI
POP ES
POP DI
POP CX
POP BX
POP AX
RET
ENDP
PROC NEAR
RPHN:
RPHN:
PUSH AX
PUSH BX
PUSH CX
PUSH DI
PUSH ES
PUSH SI
PUSHF
MOV AX,0B000H
MOV ES,AX
MOV BX,DS:[PHN_POS]
MOV AX,DS:[BEG_WN]
SUB BX,AX
MOV CX,DS:[WN_FAC]
MOV AL,DS:[STATUS]
TEST AL,0AH
JZ RPN_1
SHR BX,CL
JMP RPN_2
RPN_1:
RPN_2:
SHL BX,CL
MOV CX,BX
SHR BX,1
SHR BX,1
SHR BX,1
AND CL,0FH
MOV AL,060H
ROR AL,CL
NOT AL
MOV SI,DS:[PHN_POS]
MOV CL,DS:[VDO_BUF][SI]
XOR CH,CH
XOR SI,SI
CMP CX,00H
JZ RPN_4
RPN_3:
PUSH SI
MOV SI,DS:[MCA_TAR][SI]
ADD SI,BX
MOV D,SI
AND ES:[DI],AL
POP SI
INC SI
INC SI
LOOP RPN_3
RPN_4:
POPF
POP SI
POP ES
POP DI
POP CX
POP BX
POP AX
RET
ENDP
PROC NEAR ,WRITE RANGE
WRNG:
WRNG:
PUSH AX
PUSH BX
PUSH CX
PUSH DX
MOV CX,DS:[RNG_FAC]
DEC CX
MOV AX,3
MUL CX
LEA DI,RSQ_3
ADD DI,AX
MOV BX,632
MOV SI,38
CALL WNSTR
POP DX
POP CX
POP BX
POP AX
RET
ENDP
PROC NEAR ,WRITE COUNT
WRNG:
WRNG:
PUSH AX
PUSH BX
PUSH SI
MOV SI,DS:[CUR_POS]
SHL SI,1
MOV AX,DS:[MCA_BUF][SI]
MOV BX,488
MOV SI,38
CALL WDEC
POP SI
POP BX
POP AX
RET
ENDP
PROC NEAR ,WRITE CHANNEL
WRNG:
WRNG:
PUSH AX
PUSH BX
PUSH SI
MOV AX,DS:[CUR_POS]
MOV BX,376
MOV SI,38
CALL WDEC
POP SI
POP BX
POP AX
RET
ENDP
PROC NEAR ,FIRST MAKE ROI
WRNG:
WRNG:
PUSH AX
PUSH BX
PUSH CX
PUSH DX
PUSH SI
PUSHF
CLC
MOV CX,DS:[END_ROI]
MOV AX,DS:[BEG_ROI]
XOR BX,BX
SUB CX,AX
INC CX
MOV SI,AX
SHL SI,1
XOR AX,AX
MOV DX,DS:[MCA_BUF][SI]
ADD AX,DX
ADC BX,00H
```

```

INC SI
INC SI
LOOP FSR_1
LEA SI,INT_ROI
MOV DS:[SI+2],AX
MOV DS:[SI],BX
LEA SI,INT_BIN
XCHG AH,AL
MOV DS:[SI+2],AX
XCHG BH,BL
MOV DS:[SI],BX
POPF
POP SI
POP DX
POP CX
POP BX
POP AX
RET
ENDP
FSTR0I
WROI
PROC NEAR ,WRITE INT
PUSH AX
PUSH BX
PUSH CX
PUSH DX
PUSHF
CALL FSTR0I
LEA SI,INT_STR
MOV CX,10
XOR AL,AL
EMP:
MOV DS:[SI],AL
INC SI
LOOP EMP
CLC
MOV DX,20H
LEA SI,INT_BIN + 03
WRI_3:
MOV CX,04
WRI_1:
MOV AL,DS:[SI]
RCL AL,1
MOV DS:[SI],AL
DEC SI
LOOP WRI_1
LEA SI,INT_STR + 09
WRI_2:
MOV AL,DS:[SI]
ADC AL,AL
AAA
MOV DS:[SI],AL
DEC SI
LOOP WRI_2
DEC DX
JNZ WRI_3
LEA SI,INT_STR
WRI_4:
MOV CX,10
MOV AL,DS:[SI]
ADD AL,30H
MOV DS:[SI],AL
INC SI
LOOP WRI_4
INC SI
MOV AL,00H
MOV DS:[SI],AL
LEA SI,INT_STR
WRI_6:
MOV AL,DS:[SI]
CMP AL,30H
JNE WRI_5
INC SI
JMP WRI_5
DEC SI
MOV AL,30H
WRI_5:
MOV DS:[SI],AL
MOV DI,SI
MOV BX,24
MOV SI,31
CALL RWSTR
POPF
POP DX
POP CX
POP BX
POP AX
RET
ENDP
WROI
DROI
PROC NEAR ,DISPLAY INT VALUE
MOV DS:[PRT_BUF],
MOV DL,DS:[STATUS]
TEST DL,02H
JZ EDROI
MOV BX,DS(BEG_ROI)
CMP AX,BX
JB EDROI
MOV BX,DS(END_ROI)
CMP AX,BX
JA EDROI
CALL WROI
RET
ENDP
EDROI
DROI
INSTT
PROC NEAR ,SET TIMER
LEA SI,TIME_BUF+1
INSTT_1:
MOV AL,DS:[SI]
CMP AL,20H
JZ INSTT_2
INC SI
JMP INSTT_1
MOV CX,10H
XOR BX,BX
INSTT_2:
DEC SI
XOR DX,DX
MOV AL,DS:[SI]
CMP AL,20H
JZ INSTT_E
AND AX,00FH
MUL CX
ADD BX,AX
MOV AX,CX
MOV CX,10
MUL CX
MOV CX,AX
INSTT_3:
JMP INSTT_3
MOV DS:[TIME_SEL],
MOV AL,DS:[TIME_SEL]
AND AL,07FH
MOV DX,714H
OUT DX,AL
DEC DX
MOV AL,DS[TIME_CR],
OUT DX,AL
MOV DX,DS[TIME_PRT]
MOV AX,BX
OUT DX,AX
XCHG AH,AL
OUT DX,AL
MOV DX,714H
MOV AL,DS[TIME_SEL]
OR AL,30H
OUT DX,AL
INSTT_4:
MOV DX,713H

```



สถาบันวิทยบริการ
จุฬาลงกรณ์มหาวิทยาลัย



```

MOV AL,DS[TIME_LAT]
OUT DX,AL
MOV DX,DS[TIME_PRT]
IN AL,DX
MOV BL,AL
IN AL,DX
MOV BH,AL
MOV AX,DS[TIME]
CMP AX,BX
JZ INSTT_4
MOV DX,716H
MOV AL,DS[TIME_SEL]
AND AL,07FH
OUT DX,AL
RET
ENDP
PROC NEAR ,DISPLAY_REAL_TIME
MOV DX,713H
MOV AL,DS[TIME_LAT]
OUT DX,AL
MOV DX,DS[TIME_PRT]
IN AL,DX
MOV AH,AL
IN AL,DX
XCHG AH,AL
MOV BX,DS[TIME]
CMP AX,BX
JZ REAL_E
MOV DS[TIME]AX
MOV BX,40
MOV SI,303
CALL WDEC
RET
ENDP
PROC NEAR ,DISPLAY_DEAD_TIME
XOR AH,AH
MOV DX,0716H
IN AL,DX
CMP AL,00
JNZ DEAD_1
MOV AX,0000
JMP DEAD_2
MOV CX,100
MUL CX
MOV CX,OFFH
DIV CX
MOV BX,40
MOV SI,25
CALL WDEC
RET
ENDP
PROC NEAR ,SET_ADC_GAIN
PUSH AX
PUSH BX
PUSH DX
PUSH SI
PUSHF
MOV AL,DS[PORT717]
AND AL,0FH
CLC
SHL AL,1
CMP AL,000H
JNZ DGZ_1
MOV AL,10H
MOV BL,DS[PORT717]
AND BL,0FH
PUSH AX
OR AL,BL
MOV DS[PORT717],AL
MOV DX,0717H
OUT DX,AL
POP AX
XOR AH,AH
SHL AX,1
SHL AX,1
SHL AX,1
SHL AX,1
PUSH AX
MOV BX,40
MOV SI,263
LEA DI,BLANK
CALL RSSTR
POP AX
MOV BX,40
MOV SI,263
CALL WDEC
POPF
POP SI
POP DX
POP BX
POP AX
RET
ENDP
PROC NEAR
PUSH AX
PUSH BX
PUSH DX
PUSH SI
PUSHF
MOV AL,DS[PORT717]
AND AL,0FH
INC AL
CMP AL,08H
JNZ DZO_1
MOV AL,00H
MOV BL,DS[PORT717]
AND BL,0FH
PUSH AX
OR AL,BL
MOV DS[PORT717],AL
MOV DX,0717H
OUT DX,AL
POP AX
XOR AH,AH
XCHG AH,AL
PUSH AX
MOV BX,80
MOV SI,237
LEA DI,BLANK
CALL RSSTR
POP AX
MOV BX,80
MOV SI,237
CALL WDEC
POPF
POP SI
POP DX
POP BX
POP AX
RET
ENDP
TOP
CODE
END START

```



สถาบันวิทยบริการ
 ภาลงกรณ์มหาวิทยาลัย